



รายงานวิจัยฉบับสมบูรณ์

เครื่องให้ความร้อนแบบเหนี่ยวนำความร้อนสำหรับงานชุบแข็งที่มีการควบคุมกำลังโดยการควบคุมความหนาแน่นของพัลส์

**A High frequency Induction Heater by using Pulse density
Modulation for surface hardening application**

คณะผู้วิจัย

นายวิเชียร หทัยรัตน์ศิริ

นายสายชล ชุดเจ้อจีน

นายสรรพสิล คุ้มทรัพย์

มีนาคม 2555

รหัสโครงการ 2554A16662006

รายงานวิจัยฉบับสมบูรณ์

โครงการเครื่องให้ความร้อนแบบเห็นได้ทางสายตาเพื่อการร้อนสำหรับงานชุบแข็ง
ที่มีการควบคุมกำลังโดยการควบคุมความหนาแน่นของพัลส์

นายวิเชียร หทัยรัตน์ศิริ

นายสายชล ชุดเจือจีน

นายสรรถพล คุ้มทรัพย์

สังกัด มหาวิทยาลัยเทคโนโลยีราชมงคลกรุงเทพ

สนับสนุนโดย สำนักบริหารโครงการวิจัยในอุดมศึกษา

และพัฒนามหาวิทยาลัยวิจัยแห่งชาติ

สำนักคณะกรรมการอุดมศึกษา

กิตติกรรมประกาศ

งานวิจัยได้รับทุนสนับสนุนการวิจัยจากสำนักบริหารโครงการวิจัยในอุดมศึกษาและพัฒนามหาวิทยาลัยวิจัยแห่งชาติ สำนักคณะกรรมการการอุดมศึกษา ขอขอบคุณมหาวิทยาลัยเทคโนโลยีราชมงคลกรุงเทพที่ให้ความอนุเคราะห์เครื่องมือที่ใช้ในการทดลองตลอดจนห้องปฏิบัติการ

นักวิจัย



บทคัดย่อ

งานวิจัยนี้นำเสนอการออกแบบและสร้างเครื่องให้ความร้อนแบบเหนี่ยวนำสำหรับงานชุบแม็งโลหะโดยใช้อินเวอร์เตอร์แหล่งจ่ายแรงดันครึ่งบริดจ์ที่ใช้อิจีบีทีขานกับไดโอดเป็นตัวสวิตซ์การควบคุมแบ่งเป็น 2 ส่วนคือ การควบคุมการทำงานของอินเวอร์เตอร์ให้มีความถี่สูงกว่าเรโซแนนซ์เล็กน้อยคงที่ตลอดการทำงาน และ การควบคุมกำลังโดยการปรับค่าความหนาแน่นของพัลส์ที่ความถี่ต่ำ เมื่อมีการเปลี่ยนแปลงพารามิเตอร์ของชิ้นงาน ขนาดของกระแสที่โหลดจะถูกจำกัดเพื่อป้องกันกระแสสูงเกิน เครื่องต้นแบบที่สร้างขึ้นสามารถให้ความร้อนแก่ท่อนเหล็กขนาดเส้นผ่านศูนย์กลาง 75 มม. สูง 74 มม. จากอุณหภูมิห้องถึง 900°C ได้ภายในเวลา 15 นาที โดยทำงานในช่วงความถี่ประมาณ 22–29 kHz กำลังไฟฟ้าด้านเข้า 1.75 kW-2.52 kW มีตัวประกอบกำลังขาเข้าอยู่ระหว่าง 0.90-0.97

คำสำคัญ : เครื่องให้ความร้อนแบบเหนี่ยวนำ / งานชุบแม็งโลหะ / อินเวอร์เตอร์เรโซแนนซ์แหล่งจ่ายแรงดัน

Abstract

This thesis presents a design and development of an induction hardening process using a half-bridge Voltage-Fed Inverter. The inverter was implemented using IGBT in anti-parallel with diodes as switching devices. There are two controllers in this system. The first controller controls the operating frequency of the inverter at a frequency slightly over the resonant frequency throughout the heating cycle. Another controller controls the pulse density modulation in order to adjust the output power at a level suitable for any change in the parameter of workpieces. The load current is controlled by an over current protection circuit to protect the switches. The prototypes were tested with steel workpieces 75 mm in diameter and 74 mm in length. The temperature of the sample was increased from room temperature to 900°C within 15 minutes. The system has been operated at a switching frequency varies between 22 kHz-29 kHz with 4 kW input power and 0.94 leading power factor on the input side.

Keywords : Induction Heater / Hardening / Voltage-fed Resonant Inverter

สารบัญ

หน้า

บทคัดย่อ	๑
กิตติกรรมประกาศ	๒
สารบัญ	๓
สารบัญตาราง	๔
สารบัญภาพ	๕
บทที่ 1 บทนำ	
1.1 ความเป็นมาและความสำคัญของโครงการ	1
1.2 วัตถุประสงค์ของโครงการ	2
1.3 ขอบเขตโครงการ	2
1.4 ขั้นตอนการดำเนินงาน	2
1.5 ประโยชน์ที่คาดว่าจะได้รับ	3
บทที่ 2 หลักการและทฤษฎีที่เกี่ยวข้อง	
2.1 หลักการพื้นฐานของการให้ความร้อนแบบเหนี่ยวนำ	4
2.2 แหล่งจ่ายกำลังไฟฟ้าของชุดเหนี่ยวนำ	6
2.3 ผลทางอุณหภูมิที่มีต่อกุณสมบัติของชิ้นงาน	8
2.4 อินเวอร์เตอร์เรโซแนนซ์แบบแหล่งจ่ายแรงดันแบบครึ่งบริดจ์	10
2.5 การทำงานของอินเวอร์เตอร์	13
2.6 เพสเล็อคลูป	15
2.7 หม้อแปลงไฟฟ้า	21
2.8 การถ่ายโอนอิมพีเดนซ์	23
บทที่ 3 การออกแบบและสร้างเครื่องเหนี่ยวน้ำความร้อนเพื่องานชุบแข็งผิว	
3.1 โครงสร้างเครื่องเหนี่ยวน้ำความร้อนเพื่อชุบแข็งผิว	26
3.2 การออกแบบชุดโหลดเรโซแนนซ์	27
3.3 การออกแบบหม้อแปลงความถี่สูง	29

สารบัญ(ต่อ)

	หน้า
3.4 การออกแบบอินเวอร์เตอร์	29
3.5 การออกแบบให้มุ่งเฟสคงที่	32
3.6 การออกแบบการควบคุมกำลัง	34
3.7 การออกแบบวงจรรียิ่งกระแส	35
3.8 Current Transformer (CT) สำหรับวัดกระแส	36
3.9 จำลองการทำงาน	37
 บทที่ 4 ผลการทดสอบเครื่องเหนี่ยวนำความร้อนเพื่องานชุบแข็งผิว	
4.1 การทดสอบภาคควบคุมการทำงานของอินเวอร์เตอร์	41
4.2 การทดสอบภาคควบคุมกำลัง	42
4.3 การทดสอบการควบคุมกระแสไฟฟ้า	44
4.4 การทดสอบกำลังไฟฟ้าและหาค่าประสิทธิภาพ	46
4.5 ทดสอบความร้อนของชิ้นงาน	50
 บทที่ 5 สรุปผลการทดสอบ	
5.1 สรุปผลการทดสอบโครงงาน	52
5.2 ข้อเสนอแนะ	53
 บทที่ 6 สรุปและเสนอแนะเกี่ยวกับการวิจัยขั้นต่อไป	54
 บรรณานุกรม	55
 ภาคผนวก	
ภาคผนวก ก ภาพส่วนต่างๆ ของต้นแบบเครื่องเหนี่ยวนำความร้อน เพื่องานชุบแข็งผิวและเครื่องมือวัดที่ใช้ในการทดสอบ	60
ภาคผนวก ข ข้อมูลอุปกรณ์	68

ภาคผนวก ค ตารางเที่ยบรายละเอียดการซุบແเขျိงของเหล็ก	73
ภาคผนวก ง ระบบหั้งหมุดของเครื่องเหင်္သနမာနာမာနာဖော်ซုပ္ပါး	82
ภาคผนวก ဂ กิจกรรมที่เกี่ยวข้องกับการนำผลงานวิจัยไปใช้ประโยชน์	84
ภาคผนวก ဇ รายงานการเงิน	86
ประวัติผู้เขียน	88



สารบัญตาราง

ตารางที่	หน้า
2.1 แสดงค่าความจริงของการคุณ	18
2.2 แสดงค่าความจริงของເອັກຊີ້ຄູລື້ຟ-ອອງເກທ	18
4.1 ผลการทดสอบวัดค่าต่างๆในการควบคุมกระแสไฟฟ้า	46
4.2 แสดงค่ากำลังไฟฟ้าขาเข้าและขาออกจากอินเวอร์เตอร์	50

สารบัญภาพ

ภาพที่	หน้า
2.1 วงจรอย่างง่ายของหม้อแปลงทั่วไป	4
2.1 วงจรอย่างง่ายของชุดลวดเหนี่ยวนำกับชิ้นงาน	4
2.2 โครงสร้างอย่างง่ายของการให้ความร้อนแบบเหนี่ยวนำ	5
2.3 กราฟแสดงถึงช่วงความถี่และกำลังของการใช้งานเครื่องให้ความร้อนแบบเหนี่ยวนำ	7
2.4 ความจุความร้อนของโลหะชนิดต่างๆ ที่อุณหภูมิเริ่มต้น 20°C	8
2.5 การเปลี่ยนแปลงค่าความต้านทานจำเพาะกับอุณหภูมิ	9
2.6 วงจรอินเวอร์เตอร์เรโซแนนซ์แบบแหล่งจ่ายแรงดันคงที่บริจิต์	10
2.7 วงจรสมมูลที่ใช้ในการวิเคราะห์วงจร	10
2.8 รูปคลื่นสัญญาณกระแสและแรงดันที่โหลด	11
2.9 หมวดการทำงานของอินเวอร์เตอร์แบบบริจิต์	12
2.10 กระบวนการทำงานของชุดอินเวอร์เตอร์เรโซแนนซ์แบบบริจิต์	13
2.11 แรงดันและกระแสที่โหลดและที่อุปกรณ์สวิตช์ที่ความถี่ต่ำกว่าความถี่เรโซแนนซ์	14
2.12 แรงดันและกระแสที่โหลดและที่อุปกรณ์สวิตช์ที่ความถี่สูงกว่าความถี่เรโซแนนซ์	15
2.13 แสดงการทำงานเบื้องต้นของเฟสล็อกคูป	15
2.14 แบบจำลองทางคณิตศาสตร์ของเฟสล็อกคูป	16
2.15 สัญลักษณ์อีกซ์คูลซีฟ-ออร์เกทที่ใช้เป็นวงจรเปรียบเทียบเฟส	17
2.16 รูปสัญญาณที่มีค่าความคลาดเคลื่อนเฟสเท่ากับศูนย์และมากกว่าศูนย์	19
2.17 กราฟแสดงคุณสมบัติของวงจรตรวจจับเฟสแบบอีกซ์คูลซีฟ-ออร์เกท	20
2.18 วงจรโลร์พาร์สฟิลเตอร์อันดับ 1	21
2.19 หลักการเบื้องต้นของหม้อแปลง	21
2.20 วงจรของหม้อแปลง	23
2.21 วงจรของหม้อแปลงที่ย้ายค่าจากชุดลวดทุติยภูมิมาอยู่ชุดลวดปฐมภูมิ	24
3.1 บล็อกไดอะแกรมของเครื่องเหนี่ยวนำความร้อนเพื่อชูบแข็งผิว	26
3.2 โครงสร้างของเครื่องเหนี่ยวนำความร้อนเพื่อชูบแข็งผิวโลดเรโซแนนซ์แบบอนุกรม	27
3.3 ชุดลวดเหนี่ยวนำที่ได้ออกแบบและสร้าง	28

สารบัญภาพ(ต่อ)

ภาพที่

หน้า

3.4 บล็อกไoids ออกแบบในการควบคุมการทำงานของอินเวอร์เตอร์	30
3.5 วงจรภายในไอซีเบอร์ TLP250	31
3.6 รูปแสดงวงจรขับเกตที่ใช้งานจริง	31
3.7 บล็อกไoids ออกแบบของวงจรเฟสล็อคลูป	33
3.8 รูปการเปรียบเทียบความต่างเฟส	33
3.9 รูปการตรวจจับเฟสกระแส	34
3.10 บล็อกไoids ออกแบบการควบคุมกำลัง	34
3.11 รูปการตรวจจับขนาดกระแสโหลด	35
3.12 รูปการลิมิตเฟส	35
3.13 Current Transformer	37
3.14 วงจรจำลองการทำงาน	37
3.15 รูปคลื่นแรงดัน (v_{out}) ด้านออกของอินเวอร์เตอร์ และกระแส (i_{out}) ด้านออกของอินเวอร์เตอร์	38
3.16 รูปคลื่นแรงดัน (v_{coil}) ที่ขดเหนี่ยวนำและกระแส (i_{coil}) ที่ขดเหนี่ยวนำ	38
3.17 รูปคลื่นแรงดันสวิตช์ (S_1) และสวิตช์ (S_2) ของอินเวอร์เตอร์	38
3.18 วงจรควบคุมจำลองการทำงาน	39
3.19 สัญญาณขับเกตแบบควบคุมความหนาแน่นของพัลส์	39
4.1 โครงสร้างเครื่องเหนี่ยวนำความร้อนเพื่อชุบแข็งผิว	40
4.2 สัญญาณขับไอจีบีที 2 ตัวในอินเวอร์เตอร์แหล่งจ่ายแรงดันคงที่บริจจ์	41
4.3 สัญญาณขับไอจีบีที 2 ตัวและแสดงช่วง Dead Time	41
4.4 รูปคลื่นกระแสและแรงดันเอาต์พุตที่กำลังไฟฟ้าเข้า 4 kW	42
4.5 รูปคลื่นกระแสและแรงดันหลังหม้อแปลงความถี่สูงที่กำลังไฟฟ้าเข้า 4 kW	42
4.6 รูปคลื่นกระแสและแรงดันที่ขดลวดเหนี่ยวนำที่กำลังไฟฟ้าเข้า 4 kW	43
4.7 รูปคลื่นกระแสกับแรงดันที่โหลด ที่อุณหภูมิ 200°C	43
4.8 รูปคลื่นกระแสกับแรงดันที่โหลด ที่อุณหภูมิ 400°C	43
4.9 รูปคลื่นกระแสกับแรงดันที่โหลด ที่อุณหภูมิ 600°C	44
4.10 รูปคลื่นกระแสกับแรงดันที่โหลด ที่อุณหภูมิ 800°C	44

สารบัญภาพ(ต่อ)

ภาพที่	หน้า
4.11 รูปคลื่นกระแสกับแรงดันที่โหลด ที่อุณหภูมิ 900°C	45
4.12 กำลังไฟฟ้าเข้าด้วยเครื่องวัดเพาเวอร์คาวอลิตี้ อนาไลซ์เซอร์ของฟลัครุ่น 434 ครั้งที่ 1	45
4.13 รูปคลื่นกำลังไฟฟ้าข้ออก P_{out} ด้านออกของอินเวอร์เตอร์ครั้งที่ 1	46
4.14 กำลังไฟฟ้าเข้าด้วยเครื่องวัดเพาเวอร์คาวอลิตี้ อนาไลซ์เซอร์ของฟลัครุ่น 434 ครั้งที่ 2	47
4.15 รูปคลื่นกำลังไฟฟ้าข้ออก P_{out} ด้านออกของอินเวอร์เตอร์ครั้งที่ 2	47
4.16 กำลังไฟฟ้าเข้าด้วยเครื่องวัดเพาเวอร์คาวอลิตี้ อนาไลซ์เซอร์ของฟลัครุ่น 434 ครั้งที่ 3	48
4.17 รูปคลื่นกำลังไฟฟ้าข้ออก P_{out} ด้านออกของอินเวอร์เตอร์ครั้งที่ 3	48
4.18 กำลังไฟฟ้าเข้าด้วยเครื่องวัดเพาเวอร์คาวอลิตี้ อนาไลซ์เซอร์ของฟลัครุ่น 434 ครั้งที่ 3	49
4.19 รูปคลื่นกำลังไฟฟ้าข้ออก P_{out} ด้านออกของอินเวอร์เตอร์ครั้งที่ 3	49
4.20 วัดความร้อนด้วยเครื่อง Fluke Ti25 Thermal Imager	50
4.21 วัดความร้อนก่อนทำการเหนี่ยวนำความร้อนด้วยเครื่องวัดอุณหภูมิอินฟารेड	51
4.22 วัดความร้อนหลังการเหนี่ยวนำความร้อนด้วยเครื่องวัดอุณหภูมิอินฟารेड	51
6.1 แสดงการต่อโมดูลอินเวอร์เตอร์แบบทบระดับสำหรับเพิ่มกำลังความถี่	54
ภาพภาคผนวกที่	
ก.1 ภาพถ่ายโดยรวมของเครื่องต้นแบบ	61
ก.2 ภาพถ่ายชุดกำลังของเครื่องเหนี่ยวนำความร้อนเพื่องานชุบแข็งผิว	62
ก.3 ภาพถ่ายชุดควบคุมของเครื่องเหนี่ยวนำความร้อนเพื่องานชุบแข็งผิว	62
ก.4 ชุดเหนี่ยวนำความร้อน	63
ก.5 ชิ้นงาน	63
ก.6 เครื่องวัดค่า LCR ยี่ห้อ Hioki รุ่น 3532-50 LCR HiTester	64
ก.7 CT สำหรับวัดกระแสไฟฟ้าด้านออกจากอินเวอร์เตอร์	64
ก.8 ออสซิลโลสโคป ยี่ห้อ Agilent Technologies รุ่น DSO3062A	65
ก.9 โพรบวัดกระแส ยี่ห้อ FLUKE รุ่น 80i-110s	65

สารบัญภาพ(ต่อ)

ภาพที่

หน้า

3.4 บล็อกไดอะแกรมในการควบคุมการทำงานของอินเวอร์เตอร์	30
3.5 วงจรภายในไอซีเบอร์ TLP250	31
3.6 รูปแสดงวงจรขับเกตที่ใช้งานจริง	31
3.7 บล็อกไดอะแกรมของวงจรเฟสล็อคคูลป์	33
3.8 รูปการเปลี่ยนเทียบความต่างเฟส	33
3.9 รูปการตรวจจับไฟกระแทก	34
3.10 บล็อกไดอะแกรมการควบคุมกำลัง	34
3.11 รูปการตรวจจับขนาดกระแสโหลด	35
3.12 รูปการลิมิตเฟส	35
3.13 Current Transformer	37
3.14 วงจรจำลองการทำงาน	37
3.15 รูปคลื่นแรงดัน (v_{out}) ด้านออกของอินเวอร์เตอร์ และกระแส (i_{out}) ด้านออกของอินเวอร์เตอร์	38
3.16 รูปคลื่นแรงดัน (v_{coil}) ที่ขดเหนี่ยวนำและกระแส (i_{coil}) ที่ขดเหนี่ยวนำ	38
3.17 รูปคลื่นแรงดันสวิตช์ (S_1) และสวิตช์ (S_2) ของอินเวอร์เตอร์	38
3.18 วงจรควบคุมจำลองการทำงาน	39
3.19 สัญญาณขับเกตแบบควบคุมความหนาแน่นของพัลส์	39
4.1 โครงสร้างเครื่องเหนี่ยวนำความร้อนเพื่อชุบแม่พิว	40
4.2 สัญญาณขับไอจีบีที่ 2 ตัวในอินเวอร์เตอร์แหล่งจ่ายแรงดันครึ่งบริดจ์	41
4.3 สัญญาณขับไอจีบีที่ 2 ตัวและแสดงช่วง Dead Time	41
4.4 รูปคลื่นกระแสและแรงดันเอาต์พุตที่กำลังไฟฟ้าเข้า 4 kW	42
4.5 รูปคลื่นกระแสและแรงดันหลังหม้อแปลงความถี่สูงที่กำลังไฟฟ้าเข้า 4 kW	42
4.6 รูปคลื่นกระแสและแรงดันที่ขดลดเหนี่ยวนำที่กำลังไฟฟ้าเข้า 4 kW	43
4.7 รูปคลื่นกระแสกับแรงดันที่โหลด ที่อุณหภูมิ 200 °C	43
4.8 รูปคลื่นกระแสกับแรงดันที่โหลด ที่อุณหภูมิ 400 °C	43
4.9 รูปคลื่นกระแสกับแรงดันที่โหลด ที่อุณหภูมิ 600 °C	44
4.10 รูปคลื่นกระแสกับแรงดันที่โหลด ที่อุณหภูมิ 800 °C	44

รายการสัญลักษณ์

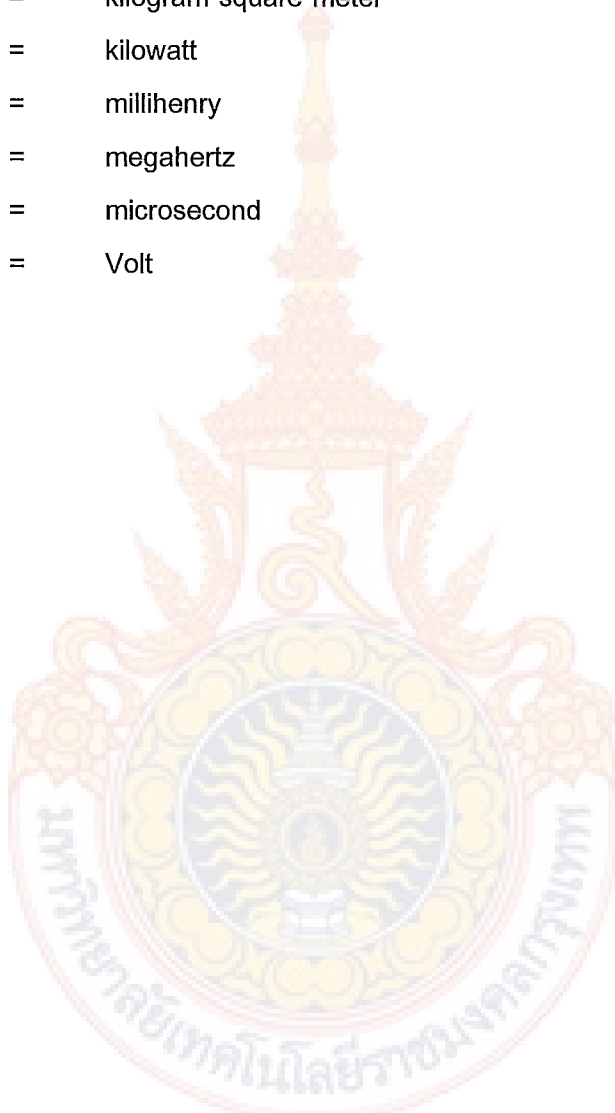
A_g	=	พื้นที่หน้าตัดของช่องว่างอากาศ
A_w	=	พื้นที่หน้าตัดของชิ้นงาน
C_p	=	ค่าตัวเก็บประจุในวงจรเรโซแนร์ชัน
d_c	=	เส้นผ่านศูนย์กลางภายในของขดลวดเหนี่ยววน้ำ
E_c	=	แรงตันไฟฟ้าที่ขดลวดเหนี่ยววน้ำ
H_{Rm}	=	ค่าสูงสุดของความเข้มสนามแม่เหล็กที่ผิวชิ้นงาน
H_{0m}	=	ค่าสูงสุดของความเข้มสนามแม่เหล็กที่ระยะ $y = 0$ เมื่อคลื่นชิ้นงานให้เป็นแผ่นเรียบ
I_1	=	องค์ประกอบ harmonic อนิกซ์พื้นฐานของกระแส
I_{dc}	=	กระแสไฟตรงจากวงจรเรียงกระแส
I_n	=	องค์ประกอบ harmonic อนิกซ์ที่ n ของกระแส
k_r	=	Coil Correction Factor
L_p	=	ค่าอินดักแตนซ์ในวงจรเรโซแนร์ชัน
I_w	=	ความยาวของชิ้นงาน
P_c	=	กำลังที่ขดลวดเหนี่ยววน้ำ
P_{dc}	=	กำลังไฟฟ้าจากส่วนจ่ายไฟตรง
P_w	=	กำลังที่เกิดขึ้นที่ชิ้นงาน
R_c	=	ความต้านทานจากขดลวดเหนี่ยววน้ำ
R_p	=	ความต้านทานในวงจรเรโซแนร์ชัน
R_s	=	ความต้านทานรวม
R_w	=	ความต้านทานจากชิ้นงาน
U_1	=	องค์ประกอบ harmonic อนิกซ์พื้นฐานของแรงดัน
U_{dc}	=	แรงดันไฟตรงจากวงจรเรียงกระแส
X_c	=	รีแอคเตนซ์ของขดลวดเหนี่ยววน้ำ
X_g	=	รีแอคเตนซ์ของช่องว่างอากาศ
X_s	=	รีแอคเตนซ์รวม
X_w	=	รีแอคเตนซ์ของชิ้นงาน
α	=	สมประสิทธิ์การห่วง
δ	=	ความลึกผิว (Skin Depth)
ρ_c	=	ความต้านทานจำเพาะของขดลวดเหนี่ยววน้ำ
ρ_w	=	ความต้านทานจำเพาะของชิ้นงาน
μ	=	ความซึมซาบต่อฟลักก์แม่เหล็กของวัสดุ

ϕ_0	=	ฟลักซ์แม่เหล็กรวม (ค่า Rms.)
ϕ_c	=	ฟลักซ์แม่เหล็กที่คล้องชด漉ดเหนี่ยวนำ (ค่า Rms.)
ϕ_g	=	ฟลักซ์แม่เหล็กที่คล้องผ่านช่องว่างอากาศ (ค่า Rms.)
ϕ_w	=	ฟลักซ์แม่เหล็กที่คล้องชิ้นงาน (ค่า Rms.)
ω_0	=	ความเร็วเชิงมุ่งที่ความถี่ธรรมชาติ
ζ	=	แฟกเตอร์การหน่วง
φ_1	=	ความแตกต่างเฟสระหว่างอาร์มอนิกส์พื้นฐานของกระแสกับแรงดัน



ประมวลศัพท์และคำย่อ

A	=	Ampere
H	=	henry
Hz	=	hertz
kΩ	=	kilohm
kg.m ²	=	kilogram square meter
kW	=	kilowatt
mH	=	millihenry
MHz	=	megahertz
μs	=	microsecond
V	=	Volt



บทที่ 1

บทนำ

S. Chudjuarjeen และคณะ (2009) ได้ทำการสร้างเครื่องให้ความร้อนแบบเหนี่ยวหนาโดยใช้ฟลูบบริดจ์อินเวอร์เตอร์ชนิดแหล่งจ่ายแรงดันที่มีโหลดต่อแบบอนุกรมและขนาด มีการสวิตซ์ที่แรงดันเป็นศูนย์ การควบคุมกำลังแบบ PWM ที่อสมมาตรกัน ระบบมีการควบคุมให้ทำงานที่ความถี่สูงกว่าเรโซแนนซ์แบบอัตโนมัติลดเวลาในย่าน 52.63 ถึง 53.8 kHz มีขนาดกำลัง 1.25 kW นกดล และคณะ (2540) ได้ทำการสร้างอินเวอทเตอร์แบบปรับความถี่อัตโนมัติสำหรับงานทุบขึ้นรูปโลหะ โดยใช้วงจรกึ่งบริดจ์อินเวอทเตอร์เรโซแนนซ์แบบอนุกรมขนาด 6 เค维โอ มีตัวประกอบกำลังด้านเข้าอยู่ระหว่าง 0.63-0.67 มีการควบคุมด้านเข้าโดยจำกัดกระแสโหลดของวงจรอินเวอทเตอร์ Khan และคณะ (1998) ได้ทำการสร้างเตาหลอมโดยใช้ฟลูบบริดจ์อินเวอทเตอร์เรโซแนนซ์แบบขนาด มีการควบคุมแบบวงเบิด จากการวิจัยดังกล่าวจะเห็นได้ว่าเครื่องที่สร้างขึ้นมีตัวประกอบกำลังด้านเข้าค่อนข้างต่ำประสิทธิภาพการทำงานจึงลดต่ำลงไปด้วย ซึ่งเกิดจากไม่มีการควบคุมให้เครื่องทำงานที่จุดเรโซแนนซ์และการปรับกระแส เพื่อบรับกำลังด้านเข้าทำให้ไม่สามารถควบคุมกำลังด้านออกได้ เพราะกระแสที่ด้านออกจะไม่เป็นรูปคลื่นชานย์

1.1 ความเป็นมาและความสำคัญของปัญหา

ปัจจุบันโรงงานอุตสาหกรรมส่วนใหญ่ได้นำหลักการเหนี่ยวหนา (Induction Heating) มาใช้ในกระบวนการผลิตเป็นจำนวนมาก โดยเฉพาะในงานชุบแข็งผิวซึ่งมีวัตถุประสงค์เพื่อปรับปรุงผิวชั้นงานให้มีความแข็ง ทนต่อการสึกหรอ การเสียดสี และความร้อน รวมไปถึงป้องกันการกัดกร่อน วิธีการชุบแข็งผิวได้นำมาใช้ในการผลิตในอุตสาหกรรมหลายชนิดอาทิ อะไหล่รถยนต์ แม่พิมพ์ เป็นต้น ซึ่งในอดีตการชุบแข็งผิวทำโดยใช้เปลวไฟ จะก่อให้เกิดเชม่าของควันไฟ และไม่สามารถควบคุมอุณหภูมิให้สม่ำเสมอได้ จึงได้มีการพัฒนาโดยนำหลักการหลักการเหนี่ยวหนาเข้ามาใช้ในกระบวนการชุบแข็งผิวซึ่งวิธีดังกล่าวมีข้อดีคือไม่ต้องใช้กันอย่างแพร่หลาย เนื่องจากเป็นการให้ความร้อนที่ไม่จำเป็นต้องใช้เชื้อเพลิง จึงไม่มีเชม่าควันไฟจากการเผาไหม้ และสามารถยั่งระยะเวลาในการผลิตได้

การชุบแข็งด้วยวิธีนี้จะอาศัยหลักการของกระแสไฟฟ้าสลับ เมื่อกระแสไฟฟ้าไหลผ่านขดลวด จะทำให้เกิดสนามแม่เหล็กขึ้นรอบๆ ขดลวด และแม่เหล็กนี้จะกลับข้ามตามจำนวนความถี่ของกระแสไฟฟ้าสลับ เมื่อนำเหล็กไปใส่ไว้ในขดลวด สนามแม่เหล็กจะตัดผ่านเนื้อเหล็กในลักษณะกลับข้ามไปมา จะทำให้เกิดกระแสไฟฟ้าขึ้นในเนื้อเหล็ก เรียกว่า กระแสไฟลวน ซึ่งการเกิดกระแสไฟลวนในเนื้อเหล็กนั้นจะไม่สม่ำเสมอตลอดพื้นที่หน้าตัดของแท่งเหล็ก แต่จะเกิดมากบริเวณผิวของเหล็ก ยิ่งความถี่ของกระแสไฟฟ้าสูง กระแสไฟลวนจะเข้มข้นมาก

ตามบริเวณผิว เรียกว่าปราภูมิการณ์พื้นผิว (Skin Effect) ก่อให้เกิดความร้อนสำหรับใช้ในงานชุบแข็งโดยให้เหล็กมีอุณหภูมิวิกฤต ประมาณ $780 - 950^{\circ}\text{C}$ และทำให้เย็นตัวลงอย่างรวดเร็ว เกินอัตราการเย็นของวิกฤตของเหล็ก ด้วยน้ำหรือน้ำมันเพื่อทำให้เกิดการเปลี่ยนแปลงโครงสร้างของเหล็ก

การเห็นได้ชัดเจนคือความร้อนที่ใช้ในงานชุบแข็งพื้นผิวนั้นจะใช้สารกึ่งตัวนำมาเป็นสวิตซ์จะทำงานอยู่ในรูปของวงจรอินเวอร์เตอร์ ซึ่งสามารถทำได้ทั้งแหล่งจ่ายแรงดันโหลดเป็นเรโซแนนซ์ อนุกรม และแหล่งจ่ายกระแสโหลดเป็นเรโซแนนซ์ขนาด สำหรับงานที่ขนาดกำลังไฟฟ้าไม่สูงมาก เพื่อไม่ให้ขนาดของเครื่องไม่ใหญ่โตมากนักจึงควรเลือกอินเวอร์เตอร์ชนิดแหล่งจ่ายแรงดัน และนำมาประยุกต์ใช้งานในการเห็นได้ชัดเจนคือความร้อนทางไฟฟ้า

ขดลวดเห็นได้ชัดเจนเมื่อได้รับกระแสไฟฟ้าความถี่สูงจะทำให้เกิดสนามแม่เหล็กสลับคล้องผ่านภาชนะทำให้เกิด แรงดันไฟฟ้าเห็นได้ชัดเจน สำหรับงานที่ชิ้นงาน ทำให้เกิดความร้อนขึ้นที่ชิ้นงานได้ โดยกระแสไฟฟ้าความถี่สูงสร้างโดยการแปลงจากไฟฟ้ากระแสสลับเป็นไฟฟ้ากระแสตรง และใช้อินเวอร์เตอร์แปลงจากไฟฟ้ากระแสตรงเป็นไฟฟ้ากระแสสลับความถี่สูง ซึ่งโดยส่วนใหญ่จะมีการควบคุมกำลังเป็นแบบปรับความถี่ ทำให้อินเวอร์เตอร์ไม่สามารถทำงานที่ความถี่สูงเกิน 40 KHz ได้ เนื่องจากเกิดความร้อนที่สวิตซ์มาก วิธีการกำลังแบบการปรับความหนาแน่นของพัลส์ (Pulse Density Modulation) เป็นวิธีการควบคุมสวิตซ์ให้ทำงานที่ความถี่ใกล้เรโซแนนซ์ตลอดเวลา และมีการปรับกำลังโดยการปรับดิจิตี้ไซเดลของสัญญาณที่นำมาอุดตู้เลต (Dpower) แทนจึงสามารถปรับสวิตซ์การทำงานของสวิตซ์ให้สูงขึ้นอีกได้ ซึ่งไฟฟ้ากระแสสลับความถี่สูงจะแปรผันตรงตามความหนาแน่นของพลังงาน จึงทำให้การให้ความร้อนที่ชิ้นงานเร็วขึ้นและเป็นการลดขนาดอุกรณ์ให้เล็กลงและมีราคาต้นทุนที่ถูกลง

ในงานวิจัยนี้จึงจะนำเสนอเครื่องเห็นได้ชัดเจนคือความร้อนเพื่อชุบแข็งผิว โดยใช้อินเวอร์เตอร์แหล่งจ่ายแรงดันแบบครึ่งบริดจ์ที่มีการควบคุมกำลังไฟฟ้าโดยการปรับความหนาแน่นของพัลส์ และควบคุมความถี่ให้ใกล้เคียงเรโซแนนซ์ตลอดการทำงาน มีการควบคุมกระแสไม่ให้เกินที่กำหนดและการควบคุมให้การทำงานในช่วงที่ความถี่สูงกว่าความถี่เรโซแนนซ์ทำงานที่สภาวะแรงดันเป็นศูนย์ (Zero Voltage Switching: ZVS) เพื่อลดค่าสูญเสียที่เกิดจากการทำงานของสวิตซ์

1.2 วัตถุประสงค์

- 1.2.1 ลดการนำเข้าและเพิ่มประสิทธิภาพการใช้พลังงานในภาควัสดุ และเอกสาร
- 1.2.2 เพื่อออกแบบและลดต้นทุนเครื่องให้ความร้อนแบบเห็นได้ชัดเจนความถี่สูงสำหรับงานชุบแข็ง โดยใช้ควบคุมกำลังแบบการปรับความหนาแน่นของพัลส์ (Pulse Density Modulation)

1.3 ขอบเขตงานวิจัย

สามารถออกแบบและสร้างวงจรอินเวอร์เตอร์ที่มีการควบคุมกำลังแบบการปรับความหนาแน่นของพัลส์(Pulse Density Modulation) ในเครื่องให้ความร้อนแบบเหนี่ยวนำสำหรับงานชุบแข็งได้

1.4 วิธีการดำเนินการวิจัย และสถานที่ทำการทดลอง/เก็บข้อมูล

1.4.1 แบบการวิจัย ออกแบบเครื่องให้ความร้อนแบบเหนี่ยวนำสำหรับงานชุบแข็งที่มีความเหมาะสม และศึกษาสภาวะที่เหมาะสมได้

1.4.2 ขั้นตอนและวิธีการในการเก็บข้อมูล ศึกษาคุณลักษณะของสัญญาณไฟฟ้าที่จุดต่างๆ พร้อมทั้งปรับปรุงแก้ไขให้เหมาะสม

1.4.3 ขั้นตอนและวิธีการในการวิเคราะห์ข้อมูล วิเคราะห์การทำงานของเครื่องให้ความร้อนแบบเหนี่ยวนำสำหรับงานชุบแข็งเปรียบเทียบกับแบบจำลองระบบในคอมพิวเตอร์

สถานที่ทำการทดลอง/เก็บข้อมูล สาขาวิชาวิศวกรรมไฟฟ้า คณะวิศวกรรมศาสตร์ มหาวิทยาลัยเทคโนโลยีราชมงคลกรุงเทพ เลขที่ 2 ถนนนางลิ้นจี่แขวงทุ่งมหาเมฆ เขตสาทร กรุงเทพฯ 10120

1.5 ประโยชน์ที่คาดว่าจะได้รับ

1.5.1 คาดว่าเมื่องานวิจัยสำเร็จแล้วจะสามารถใช้เป็นเครื่องต้นแบบในการวิจัยพัฒนา หรือ การนำไปใช้งานในภาคอุตสาหกรรมของประเทศไทยในอนาคตต่อไป

1.5.2 สามารถนำผลงานที่สำเร็จไปดีพิมพ์เป็นวารสารงานวิจัยในระดับประเทศและต่างประเทศ

1.5.3 สามารถลดการนำเข้าสินค้าจากต่างประเทศได้

1.5.4 สามารถลดพลังงานไฟฟ้าได้

1.5.5 สามารถลดต้นทุนการผลิตเครื่องให้ความร้อนแบบเหนี่ยวนำสำหรับงานชุบแข็งได้

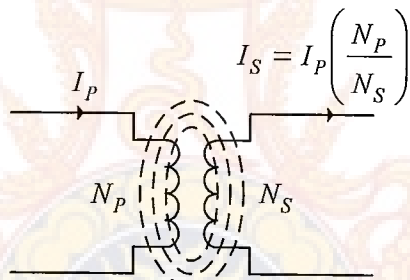
บทที่ 2

ทฤษฎีและหลักการ

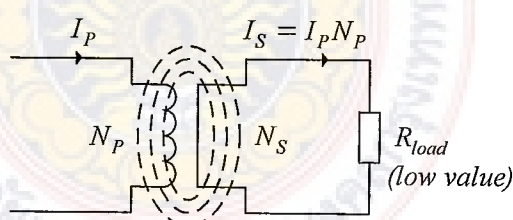
ในบทนี้จะได้กล่าวถึงทฤษฎีที่เกี่ยวข้องได้แก่ หลักการให้ความร้อนแบบเหนี่ยวนำเบื้องต้น ขดเหนี่ยวนำซึ่งเป็นส่วนที่สำคัญสำหรับการให้ความร้อนแบบเหนี่ยวนำอินเวอร์เตอร์เรโซแนนซ์ แหล่งจ่ายแรงดันคริบเบอร์ และหลักการควบคุมการทำงานของอินเวอร์เตอร์

2.1 หลักการให้ความร้อนแบบเหนี่ยวนำเบื้องต้น

หลักการพื้นฐานของการให้ความร้อนแบบเหนี่ยวนำสามารถอธิบายให้เห็นได้ชัดเจนโดย เปรียบเทียบกับหลักการของหม้อแปลงไฟฟ้า ดังภาพที่ 2.1(ก) ซึ่งประกอบไปด้วยขดลวดปฐม ภูมิและขดลวดทุติยภูมิ(Primary and Secondary Winding)โดยขดเหนี่ยวนำเปรียบเสมือนขดลวดปฐมภูมิของหม้อแปลงและชื่นงานกับเปรียบเสมือนขดลวดทุติยภูมิจำนวน 1 รอบที่ลัดวงจรไว้ โดย I_p เป็นกระแสที่จ่ายให้กับขดเหนี่ยวนำ และ I_s เป็นกระแสที่ไหลในชื่นงาน ดังภาพที่ 2.1(ข)



(ก) วงจรสมมูลอย่างง่ายของหม้อแปลง



(ข) วงจรสมมูลของขดลวดเหนี่ยวนำกับชื่นงาน

ภาพที่ 2.1 หลักการพื้นฐานของการให้ความร้อนแบบเหนี่ยวนำ

ดังนั้นกำลังที่ซึ้งงาน

$$P_w = I_s^2 R_w$$

(2.1)

แทนค่า

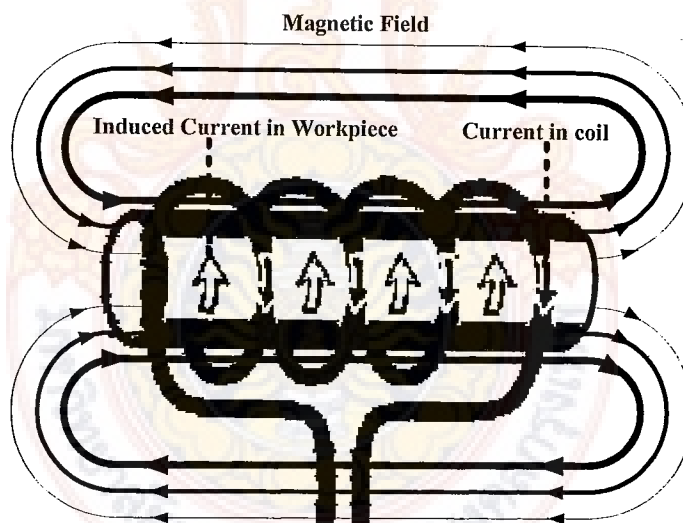
$$I_s = I_p N_p \quad \text{จะได้} \quad P_w = I_p^2 N_p^2 R_w$$

โดย

P_w คือ กำลังที่ซึ้งงาน (W)

R_w คือ ความต้านทานสมมูลของซึ้งงาน (Ω)

ลักษณะโครงสร้างอย่างง่ายของระบบการให้ความร้อนแบบเห็นยาน้ำได้แสดงไว้ดังภาพที่ 2.2 เมื่อขดเห็นยาน้ำได้รับกระแสไฟฟลั่บจะทำให้เกิดพลักช์แม่เหล็กสลับคล้องผ่านซึ้งงานทำให้เกิด แรงเคลื่อนไฟฟ้าเห็นยาน้ำเกิดกระแสไฟลุวนในซึ้งงานทำให้เกิดความร้อนซึ้งที่ซึ้งงานได้ และเนื่องจากกระแสที่ป้อนให้กับขดเห็นยาน้ำมักจะมีปริมาณที่สูงมาก จึงต้องมีระบบระบายความร้อนด้วยน้ำภายในขดเห็นยาน้ำเพื่อลดกำลังสูญเสียที่ขดเห็นยาน้ำ



ภาพที่ 2.2 โครงสร้างอย่างง่ายของการให้ความร้อนแบบเห็นยาน้ำ

ในหลักการดังกล่าวกระแสไฟลุวนจะมีความหนาแน่นมากที่สุดที่บริเวณผิวของซึ้งงาน เนื่องจากผลของการณ์ทางพื้นผิว(Skin Effect)และความหนาแน่นของกระแสลดลงมาเป็นปริมาณ 0.368 เท่าของค่าความหนาแน่นกระแสที่ผิวของซึ้งงานที่ค่าความร้อนลึกผิว(Skin Depth) ซึ่งสามารถคำนวณได้จากสมการ 2.2

$$\text{Skin depth, } \delta = \sqrt{\frac{\rho}{\mu f \pi}} \quad (2.2)$$

โดย

δ คือ ความลึกผิว (m)

ρ คือ ความต้านทานจำเพาะของชิ้นงาน ($\Omega \text{ m}$)

μ คือ ความซึมซาบแม่เหล็กของชิ้นงาน (H/m)

f คือ ความถี่ของแหล่งจ่ายไฟสลับ (Hz)

จากสมการ 2.2 แสดงให้เห็นว่าค่าความลึกผิวขึ้นอยู่กับค่าความถี่ของกระแสไฟสลับที่จ่ายให้ขาดลวดเหนี่ยวนำค่าความซึมซาบแม่เหล็ก (Permeability) และความต้านทานจำเพาะ (Resistivity) ของชิ้นงาน

2.2 แหล่งจ่ายกำลังไฟฟ้าของชุดเหนี่ยวนำ

ในทางปฏิบัติลักษณะงานที่แตกต่างกันก็มีความต้องการค่าความลึกผิวและกำลังไฟฟ้าที่แตกต่างกัน เช่น การซับแข็งที่ผิวชิ้นงานจะต้องการค่าความลึกผิวที่ต่ำจึงต้องใช้ความถี่ที่สูงทำให้มีค่าความหนาแน่นของกำลังไฟฟ้าที่สูง ส่วนในงานประภากการให้ความร้อนสำหรับการหลอมโลหะ จะต้องการค่าความลึกผิวที่ค่อนข้างสูง ความถี่การทำงานจึงต่ำกว่า เป็นต้น

ภาพที่ 2.3 แสดงช่วงความถี่การทำงาน และระดับกำลังออกของเครื่องให้ความร้อนแบบเหนี่ยวนำแต่ละแบบ โดยขึ้นกับแหล่งกำเนิดไฟสลับที่จ่ายให้กับเครื่อง และยังขึ้นกับอุปกรณ์ที่ใช้ในวงจร รวมทั้งแสดงความถี่กับการประยุกต์ใช้งานในแต่ละช่วงด้วยระบบการให้ความร้อนแบบเหนี่ยวนำที่ใช้ในปัจจุบันจำแนกได้ดังนี้

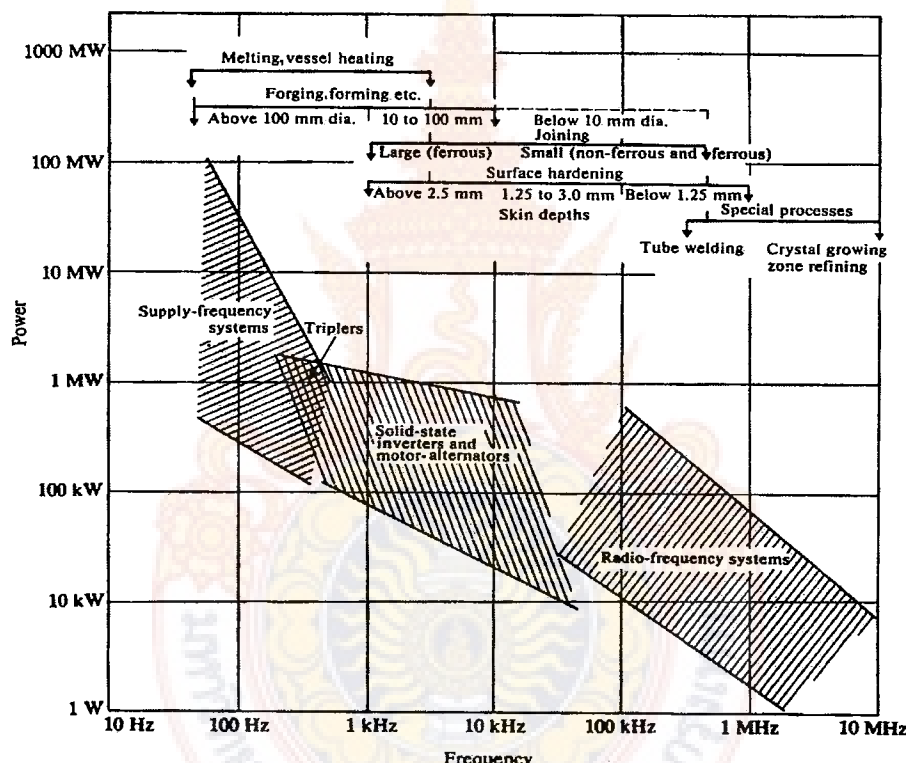
1. แหล่งจ่ายกำลังไฟฟ้าโดยตรง เป็นระบบที่ใช้ความถี่จากสายส่งโดยตรง (50 to 60 Hz) แรงดันไฟฟ้ามีความถี่ค่อนข้างต่ำ จึงทำให้ค่าความลึกผิวในการให้ความร้อนมีค่ามากโดยค่าความลึกผิวจะมีค่าสูงตั้งแต่ 10 ถึง 100 mm เครื่องให้ความร้อนแบบนี้นิยมใช้ในงานหลอมโลหะ มีระดับกำลังที่สูงเป็นหลาย MW

2. แหล่งจ่ายกำลังจากชุดมอเตอร์และเครื่องกำเนิดไฟฟ้า เป็นระบบที่มีการผลิตความถี่จากระบบไฟฟ้าโดยใช้มอเตอร์แบบเหนี่ยวนำไปขับเคลื่อนเครื่องกำเนิดไฟฟ้า ซึ่งสร้างแรงดันไฟฟ้าที่มีความถี่สูงขึ้นได้ โดยสามารถทำความถี่ได้ในช่วง 500 Hz ถึง 10 kHz ทำให้ได้ความลึกผิวตั้งแต่ 1 ถึง 10 mm เครื่องให้ความร้อนชนิดนี้สามารถให้กำลังได้หลายร้อยกิโลวัตต์ ใช้ในงานหลอมโลหะมีระดับกำลังประมาณ 500 kW ต่อเครื่อง

3. แหล่งจ่ายกำลังจากระบบวงจรแปลงผันที่ใช้สิ่งประดิษฐ์สารกึ่งตัวนำ โดยมีการจัดวงจรให้หลักหลายลักษณะ ซึ่งในปัจจุบันนิยมใช้อลตร้าโซนิก, ทรานซิสเตอร์กำลัง, มอเตอร์กำลังและไอลจิบีที เป็นอุปกรณ์สวิตช์ โดยมีย่านความถี่ตั้งแต่ 500 Hz ถึง 50 kHz การใช้งานมีหลาย

ลักษณะ เช่น ที่ความถี่ต่ำกว่าจะเป็นงานหลอมโลหะ ความถี่ปานกลางสำหรับงานทุบขึ้นรูปโลหะ ความถี่สูงสำหรับงานชุบแข็งผิว เป็นต้น

4. แหล่งจ่ายกำลังย่านความถี่วิทยุ (50 kHz ถึง 10 MHz) สำหรับลีนความถี่ไม่เกิน 100 kHz ยังสามารถใช้พวกรอยู่ในการนึ่งสเฟทกำลังได้ แต่ที่ความถี่สูงมากจนนั้น นิยมใช้หลอดสูญญากาศ เพราะสิ่งประดิษฐ์สารกึ่งตัวนำ ยังมีสมรรถนะในการใช้งานที่ความถี่สูงได้ไม่ดีพอก โดยค่าความลึกผิวมีค่า 0.1 mm ถึง 2 mm เครื่องให้ความร้อนแบบหนีบวนนี้ จะให้กำลังค่อนข้างต่ำเนื่องจากทำงานในย่านความถี่สูง นิยมใช้ในงานเชื่อมประสานและการชุบผิวแข็ง



ภาพที่ 2.3 ช่วงความถี่และกำลังของการใช้งานเครื่องให้ความร้อนแบบหนีบวน

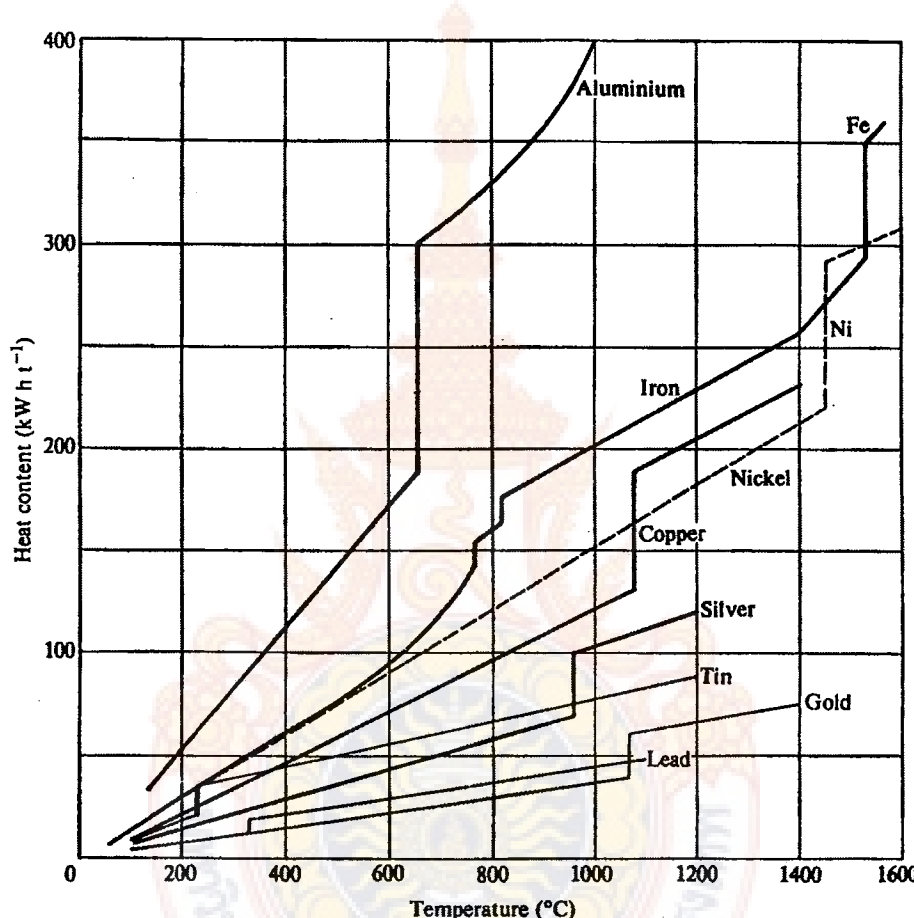
2.3 ผลกระทบอุณหภูมิที่มีต่อคุณสมบัติของชิ้นงาน

อุณหภูมิของชิ้นงานมีผลต่อคุณสมบัติของชิ้นงานที่เกี่ยวข้องกับการให้ความร้อนด้วยการหนีบวนดังนี้

2.3.1 ค่าความจุความร้อนของชิ้นงาน

ในการให้ความร้อนแก่ชิ้นงานจำเป็นต้องมีพลังงานจำนวนหนึ่งเพื่อทำให้ชิ้นงานมีอุณหภูมิตามที่ต้องการโดยพลังงานจำนวนนั้นสามารถคำนวณได้จากค่าความร้อนจำเพาะ (Specific Heat, c) ซึ่งมีหน่วยเป็น watt-second per kilogram per Kelvin และความร้อนแห่ง

(Latent Heat) แต่ในทางปฏิบัตินิยมใช้ค่าความจุความร้อน(Heat Content)ซึ่งมีหน่วยเป็น kilowatt-hour per tonne สำหรับการคำนวณ เมื่อพิจารณาจากค่าความจุความร้อนจะเห็นได้ว่า พลังงานที่ต้องการในการให้ความร้อนให้ได้อุณหภูมิตามที่ต้องการนั้นจะขึ้นอยู่กับน้ำหนักของ ชิ้นงานและชนิดของวัสดุและระยะเวลาที่ต้องการ ค่าความจุความร้อนของวัสดุต่างๆ ได้แสดงไว้ ดังภาพที่ 2.4



ภาพที่ 2.4 ความจุความร้อนของโลหะชนิดต่างๆ ที่อุณหภูมิเริ่มต้น $20^{\circ}C$

2.3.2 การเปลี่ยนแปลงค่าความด้านทานจำเพาะของโลหะตามอุณหภูมิ

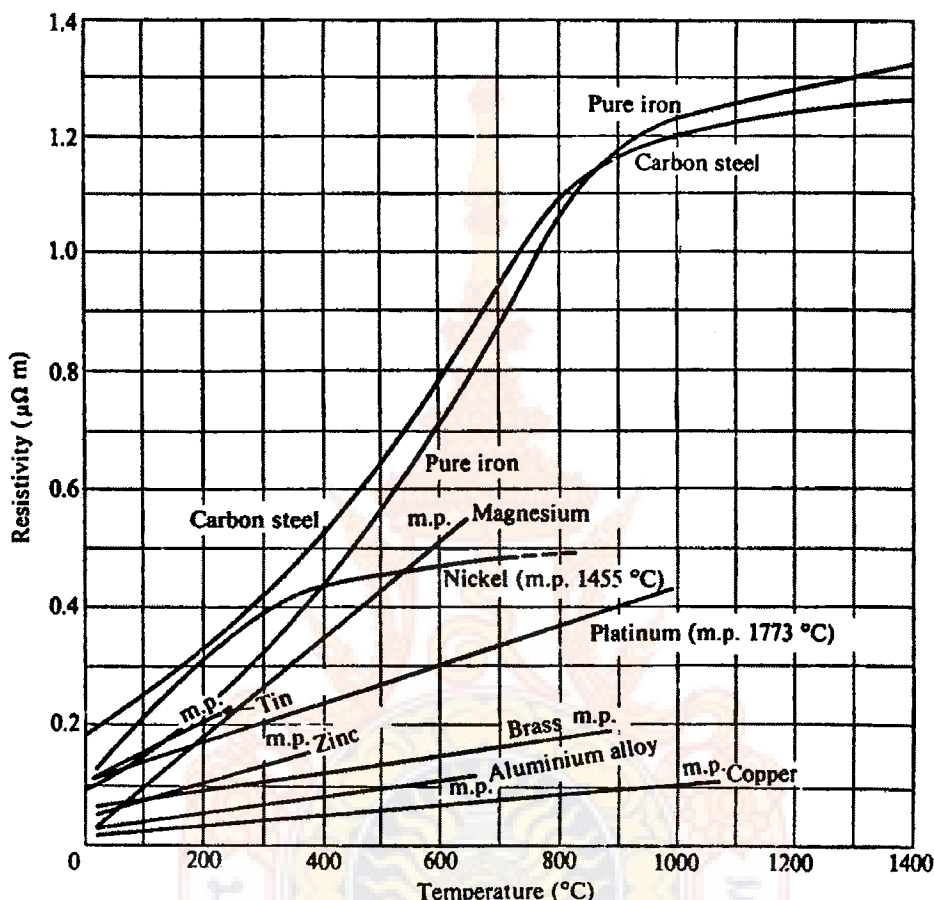
เมื่ออุณหภูมิของโลหะมีค่าสูงขึ้น ค่าความด้านทานจำเพาะจะมีการเปลี่ยนแปลงตาม อุณหภูมิโดยโลหะส่วนใหญ่จะมีการเปลี่ยนแปลงที่เป็นเชิงเส้นในช่วงหนึ่งดังนี้

$$\rho_{\theta} = \rho_1 [1 + \alpha(\theta_i - \theta_1)] \quad (2.3)$$

โดย

ρ_{θ} เป็นค่าความด้านทานจำเพาะที่อุณหภูมิ θ_i ไดๆ (Ωm)

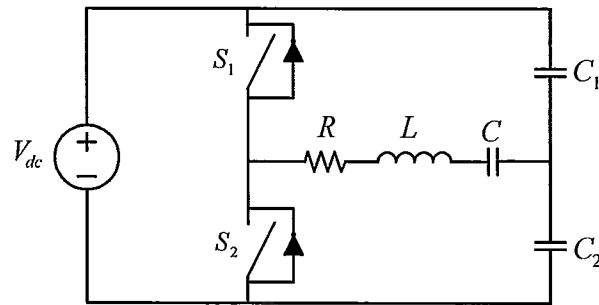
ρ_1 เป็นค่าความต้านทานนำไฟฟ้าที่อุณหภูมิ θ_1 ($\Omega \text{ m}$)
การเปลี่ยนแปลงของค่าความต้านทานนำไฟฟ้าของโลหะต่างๆ เป็นดังภาพที่ 2.5



ภาพที่ 2.5 การเปลี่ยนแปลงค่าความต้านทานนำไฟฟ้ากับอุณหภูมิ

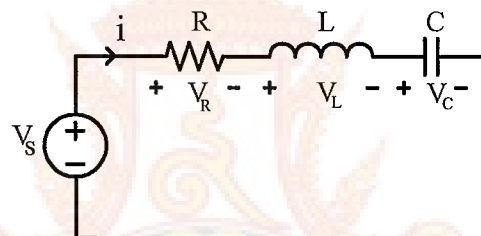
2.4 อินเวอร์เตอร์เรโซแนนซ์แบบแหล่งจ่ายแรงดันแบบครึ่งบริดจ์

อินเวอร์เตอร์เรโซแนนซ์แบบอนุกรมก็คืออินเวอร์เตอร์ที่แปลงกำลังจากไฟฟ้ากระแสตรง เป็นกระแสสลับภาพที่ 2.6 ซึ่งจะเรียกว่าเป็นวงจรเรโซแนนซ์แบบอนุกรม เพราะมีตัวเหนี่ยวนำ และตัวเก็บประจุวางอยู่ร่วมกันกับโหลดความต้านทาน การสวิตช์จะทำให้เกิดแรงดันรูปคลื่น สี่เหลี่ยมโดยที่ตัวเหนี่ยวนำ(L)และตัวเก็บประจุ(C) จะทำให้เกิดความถี่เรโซแนนซ์ซึ่งจะมีค่า เท่ากับความถี่สวิตช์ที่ความถี่เรโซแนนซ์ ค่าอิมพีเดนซ์ของตัวเหนี่ยวนำและตัวเก็บประจุจะ หักล้างกันจึงมองเห็นเป็นโหลดมีค่าเฉลี่ยความต้านทานเท่านั้น และเพื่อให้เกิดแรงดันพัลส์สลับ ที่โหลดการทำงานของสวิตช์จะต้องทำงานในลักษณะสลับกันทำงาน



ภาพที่ 2.6 วงจรอินเวอร์เตอร์เรโซแนนซ์แบบแหล่งจ่ายแรงดันครึ่งบริจจ์

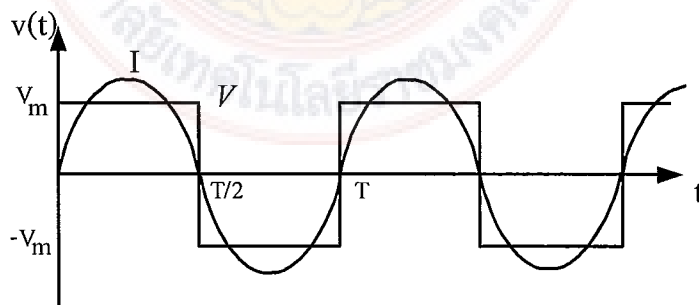
สำหรับกระแสที่โหลดมีลักษณะเกือบจะเป็น Sine wave ในกรณีที่โหลดมีค่า Damping Factor ที่ต่ำและความถี่ในการทำงานใกล้กับความถี่เรโซแนนซ์ เพื่อให้สะดวกในการวิเคราะห์สามารถเขียนเป็นวงจรสมมูลอย่างง่ายดังภาพที่ 2.7



ภาพที่ 2.7 วงจรสมมูลที่ใช้ในการวิเคราะห์วงจร

2.4.1 การวิเคราะห์หากำลังไฟฟ้าที่โหลดเรโซแนนซ์

สัญญาณกระแสของอินเวอร์เตอร์เรโซแนนซ์แบบอนุกรมจะมีลักษณะเป็นรูปคลื่นชายน์ เมื่ออินเวอร์เตอร์ที่ทำงานใกล้กับความถี่เรโซแนนซ์โหลดที่มีค่า Damping Factor ต่ำโดย สัญญาณแรงดันจะมีลักษณะเป็นรูปคลื่นพัลส์สลับดังแสดงในภาพที่ 2.8



ภาพที่ 2.8 รูปคลื่นสัญญาณกระแสและแรงดันที่โหลด

จากรูปที่ 2.8 รูปคลื่นของแรงดันมีลักษณะเป็นพังก์ชันคือประกอบของอนิจลักษณ์ต่างๆ ของแรงดันพลังสี่เหลี่ยมเป็นดังนี้

$$(2.4) \quad v(t) = V_1 \sin \omega t + V_3 \sin 3\omega t + \dots + V_n \sin n\omega t + \dots$$

$$V_1 = \frac{4V_m}{\pi} \quad \text{และ} \quad V_n = \frac{4V_m}{n\pi} \quad n = \text{เลขจำนวนเต็มคี่}$$

(2.5)
ดังนั้น

$$V_{1,rms} = \frac{4V_m}{\pi\sqrt{2}}$$

(2.6)

ส่วนกระแสที่โหลดมีลักษณะเป็นชายน์ดังนั้นจึงสามารถหาได้จาก

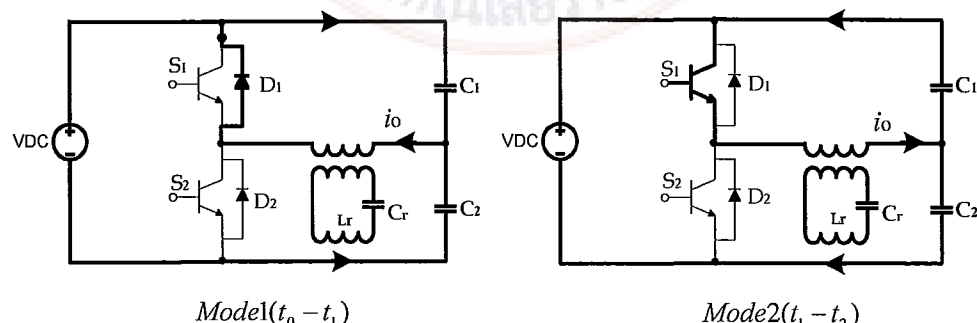
$$(2.7) \quad P_{load} = I_{1,rms} \times V_{1,rms}$$

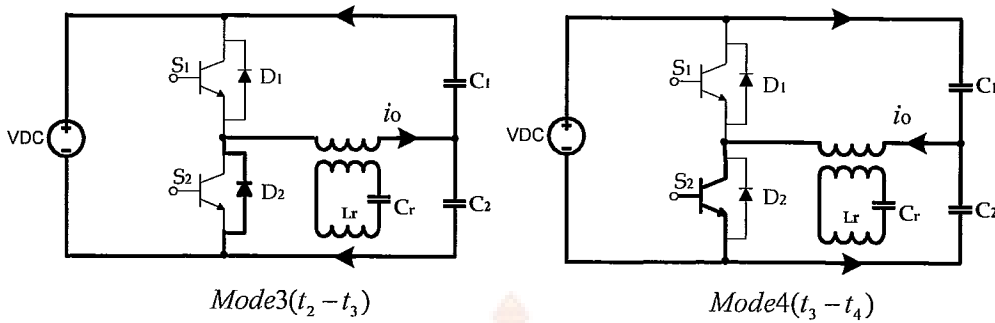
เมื่อแทนค่า $I_{1,rms}$ และ $V_{1,rms}$ จะได้

$$P_{load} = \frac{2I_m V_m}{\pi}$$

(2.8)

2.4.2 โหมดการทำงานของอินเวอร์เตอร์แบบครึ่งบริดจ์





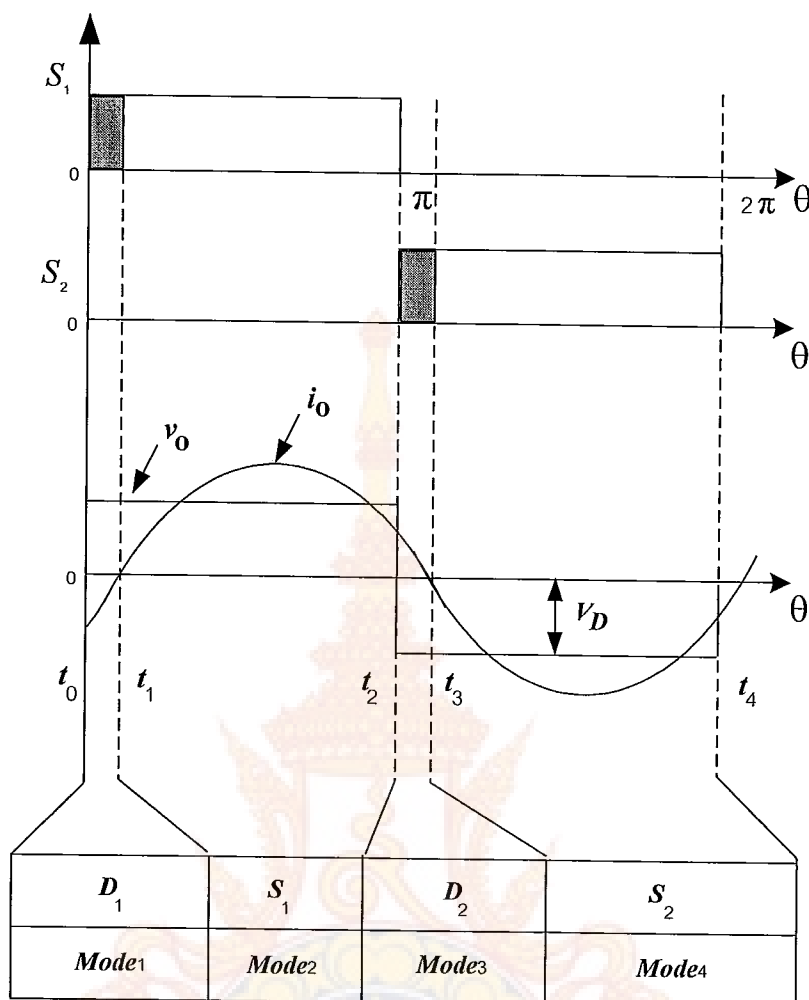
ภาพที่ 2.9 โหมดการทำงานของอินเวอร์เตอร์แบบครึ่งบวidge

โหมดที่ 1 (t_0-t_1) เมื่อสวิตช์ S_2 หยุดทำงานที่ $t = t_0$ ไดโอด D_1 เริ่มนำกระแสโดยกระแสเดียวกันนี้จะด้านข้าออกเป็นกระแสไฟลับ i_o กระแสเดียวกันนี้จะลดลงจากค่าลบไปสู่ค่าศูนย์ ต่อจากนี้จะเป็นสภาวะ ZVS ของ สวิตช์ S_1 ที่ได้รับมา

โหมดที่ 2 (t_1-t_2) ที่ $t = t_1$ ทันทีที่ไดโอด D_1 หยุดทำงาน สวิตช์ S_1 จะเริ่มนำกระแสภายใต้สภาวะ ZVS และทำให้กระแสเดียวกันนี้จะเพิ่มขึ้นจากศูนย์ที่เวลา t_1 จนกระทั่ง สวิตช์ S_1 จะหยุดขณะนำกระแสที่เวลา t_2

โหมดที่ 3 (t_2-t_3) ที่ $t = t_2$ สวิตช์ S_1 หยุดทำงาน และพยายามรักษากระแสเดียวกันนี้จะไปในทิศทางเดียวกับการเห็นว่านำกระแสที่แหล่งผ่านไดโอด D_2 กระแส i_o ลดลงเรื่อยๆ จนเป็นค่าศูนย์ที่เวลา t_3 จากสภาวะ ZVS ของ สวิตช์ S_2 ที่ได้รับมา

โหมดที่ 4 (t_3-t_4) ที่ $t = t_3$ เมื่อไดโอด D_2 หยุดทำงาน สวิตช์ S_2 เริ่มนำกระแสภายใต้สภาวะ ZVS กระแสเดียวกันนี้จะเพิ่มขึ้นจากศูนย์ที่แหล่งเข้าหาค่าลบ แรงดันด้านข้าออกเป็นลบด้วยตัวเอง โหมดที่ 4 จะดำเนินการวนซ้ำต่อไปจากโหมดที่ 1 - 4



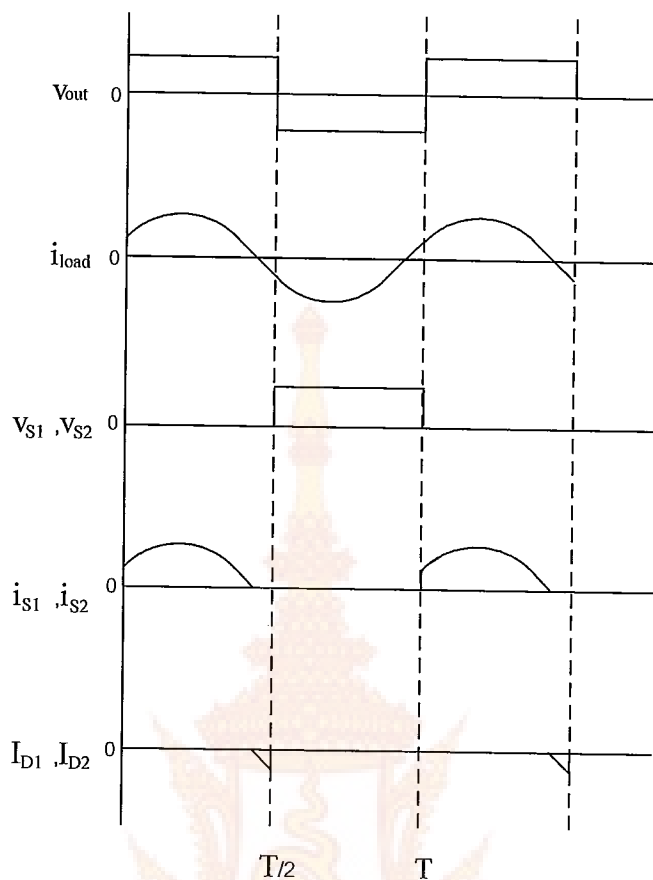
ภาพที่ 2.10 ສภาวะการทำงานของชุดอินเวอร์เตอร์เรโซแนนซ์แบบครึ่งบริดจ์

2.5 การทำงานของอินเวอร์เตอร์

การทำงานของอินเวอร์เตอร์แหล่งจ่ายแรงดันที่สำคัญต่อการนำไปประยุกต์ใช้งานในโครงการนี้สามารถแบ่งได้เป็น 2 แบบ คือ การทำงานที่ความถี่ต่ำกว่าความถี่เรโซแนนซ์และการทำงานที่ความถี่สูงกว่าความถี่เรโซแนนซ์

2.5.1 การทำงานที่ความถี่ต่ำกว่าความถี่เรโซแนนซ์

การทำงานที่ความถี่ต่ำกว่าความถี่เรโซแนนซ์จะทำให้โหลดมีสภาพเป็นคาปิทีฟโหลด โดยมีรูปคลื่นของแรงดันกับกระแสที่โหลดและสวิตช์ของอินเวอร์เตอร์เรโซแนนซ์แบบแหล่งจ่ายแรงดันเด้มบริดจ์เป็นดังภาพที่ 2.11

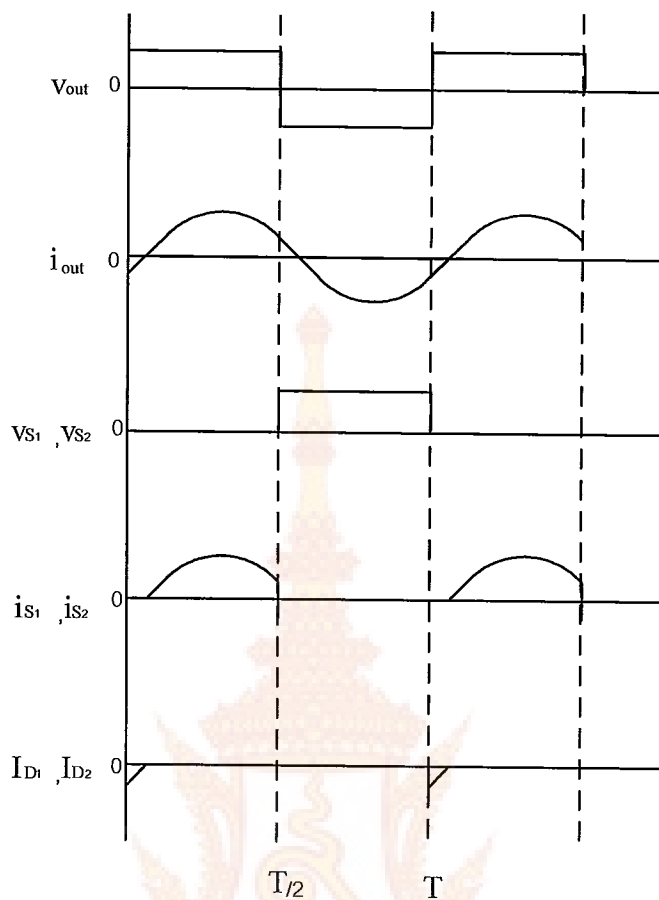


ภาพที่ 2.11 รูปคลื่นของแรงดันและกระแสที่โหลดและที่อุปกรณ์สวิตช์ที่ความถี่ต่ำกว่าความถี่เรโซแนนซ์

2.5.2 การทำงานที่ความถี่สูงกว่าความถี่เรโซแนนซ์

การทำงานที่ความถี่สูงกว่าความถี่เรโซแนนซ์จะทำให้โหลดมีสภาพเป็นอินดักทีฟโหลดโดยมีรูปคลื่นของแรงดันกับกระแสที่โหลดและสวิตช์ของอินเวอร์เตอร์เรโซแนนซ์แบบแหล่งจ่ายแรงดันเดิมบริจจ์เป็นดังภาพที่ 2.12

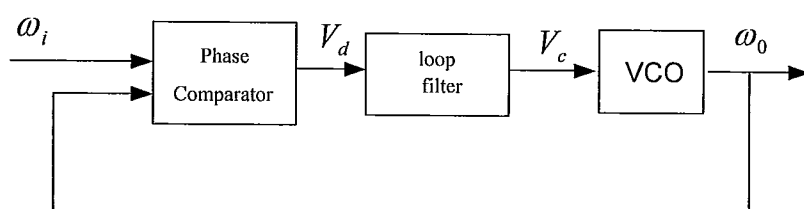
จากการวิเคราะห์เปรียบเทียบการทำงานของอินเวอร์เตอร์ทั้ง 2 แบบ ในการนีการทำงานของอินเวอร์เตอร์ต่ำกว่าความถี่เรโซแนนซ์จะมีการสูญเสียในช่วงการต่อวงจรของไอจีบีที่เนื่องจากเริ่มต่อวงจรในขณะที่มีกระแสและทำให้เกิดกระแสยอดสูงที่สวิตช์ และในการนีการทำงานของอินเวอร์เตอร์สูงกว่าความถี่เรโซแนนซ์จะไม่มีการสูญเสียในขณะที่ไอจีบีที่ต่อวงจรเนื่องจากเริ่มต่อวงจรที่กระแสเป็นศูนย์ เมื่อพิจารณาจากการทำงานที่ความถี่ทั้งสองแบบจึงเลือกให้อินเวอร์เตอร์ทำงานที่ความถี่สูงกว่าความถี่เรโซแนนซ์เล็กน้อยเพื่อให้กำลังผ่านไปที่โหลดมีค่าสูงและไม่ทำให้เกิดความเสียหายกับอุปกรณ์เนื่องจากกระแสยอดสูง



ภาพที่ 2.12 รูปคลื่นของแรงดันและกระแสที่โหลดและที่อุปกรณ์สวิตช์ที่ความถี่สูงกว่าความถี่เรโซแนนซ์

2.6 เฟสล็อกลูป

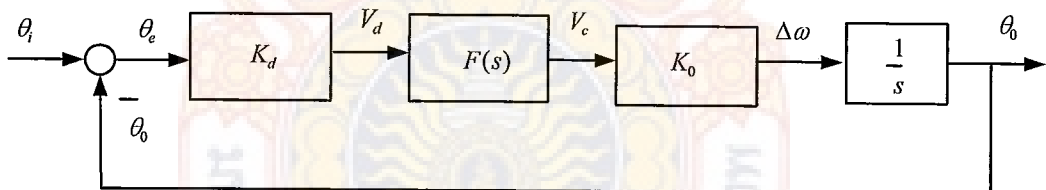
หลักการของเฟสล็อกลูปถูกนำมาใช้ในงานการให้ความร้อนแบบเห็นได้ยานำเพื่อควบคุมมุมเฟสให้คงที่ หรือเป็นตัวกำหนดค่าความถี่ในการทำงาน โดยการนำมาใช้ก็จะขึ้นกับลักษณะของวงจรที่เป็นแบบใด รวมไปถึงสิ่งที่ต้องการควบคุม โครงสร้างของเฟสล็อกลูปเป็นระบบป้อนกลับโดยมีตัว VCO(Voltage Controlled Oscillator) ทำหน้าที่ปรับความถี่ให้เปลี่ยนแปลงไปตามสัญญาณอ้างอิง ส่วนประกอบที่สำคัญของเฟสล็อกลูปแบ่งเป็น 3 ส่วน คือ เฟสคอมพาราเตอร์ ตัวกรองความถี่ และ VCO ดังแสดงในภาพที่ 2.13



ภาพที่ 2.13 แสดงการทำงานเบื้องต้นของเฟสล็อกลูป
โดยที่ ω_i คือ ความถี่เชิงมุมของสัญญาณอ้างอิง

- V_d คือ สัญญาณเอาต์พุตของเฟสคอมพาราเตอร์
 V_c คือ สัญญาณเอาต์พุตลูปฟีลเตอร์
 ω_o คือ ความถี่เชิงมุมของสัญญาณเอาต์พุต

มีการทำงานโดยสังเขปดังนี้เมื่อมีสัญญาณความถี่อ้างอิงจากภายนอกเป็นสัญญาณขาบ (Periodic) ป้อนให้กับเฟสคอมพาราเตอร์ซึ่งทำหน้าที่เปรียบเทียบเฟสระหว่างความถี่อ้างอิง กับความถี่ป้อนกลับจาก VCO สัญญาณที่ได้จากเฟสเดี๋ยวกันจะเป็นสัญญาณแรงดันที่เป็นสัดส่วนระหว่างความต่างเฟสของสัญญาณทั้งสองแรงดันที่ได้นี้จะถูกนำไปผ่านวงจรลูปฟีลเตอร์ โดยจะกำจัดความถี่ที่ไม่ต้องการออกไป ให้ได้แรงดันไฟตรงเข้าไปยังอินพุตของ VCO เพื่อทำการปรับความถี่ให้เหมาะสม ในขณะที่วงจรอยู่ในสภาวะล็อกความถี่เอาต์พุตของ VCO จะเท่ากับความถี่ของสัญญาโนินพุตซึ่งจะมีค่าความต่างเฟสคงที่ในกรณีที่เฟสไม่ตรงกันแรงดันที่ออกจากเฟสคอมพาราเตอร์จะมีค่าสูงขึ้นด้วย เพื่อไปควบคุมการทำงานของ VCO โดยจะปรับความถี่สูงขึ้นจนทำให้ความต่างเฟสระหว่างสัญญาณทั้งสองลดลงจนกว่าจะเข้าสู่สภาวะล็อก สัญญาณเอาต์พุตของ VCO จึงจะมีขนาดคงที่ตลอดเวลาและค่าความถี่จะเปลี่ยนแปลงตามเฟสของสัญญาโนินพุตเสมอแบบจำลองทางคณิตศาสตร์ของเฟสล็อกลูปที่กำหนดให้เอาต์พุตเป็นเฟสเอาต์พุตได้ดังภาพที่ 2.14



ภาพที่ 2.14 แบบจำลองทางคณิตศาสตร์ของเฟสล็อกลูป

- โดยที่
- | | |
|------------|--|
| θ_i | คือ เฟสของสัญญาโนินพุต |
| θ_0 | คือ เฟสของสัญญาณเอาต์พุต |
| θ_e | คือ ความต่างเฟสระหว่างสัญญาโนินพุตและสัญญาณเอาต์พุต |
| K_d | คือ ค่าอัตราขยายของเฟสคอมพาราเตอร์ มีหน่วยเป็น V/rad |
| $F(s)$ | คือ ฟังก์ชันถ่ายโอนของโลร์พาราฟีลเตอร์ |
| K_0 | คือ ค่าอัตราขยายของ VCO มีหน่วยเป็น rad |

สัญญาณเอาต์พุตของโลร์พาสฟีลเตอร์จะควบคุมความถี่เอาต์พุตของ VCO ซึ่งจะทำให้ความถี่ของ VCO มีการเปลี่ยนแปลง ($\Delta\omega$) ไปจากความถี่กลาง

$$\Delta\omega(s) = K_0 \cdot V_c(s) \quad (2.9)$$

$$\text{โดยที่} \quad \omega = \frac{d\theta}{dt} \quad (2.10)$$

สามารถเขียนเป็นสมการใหม่คือ

$$\frac{d\theta_o}{dt} = K_0 \cdot V_c(s) \quad (2.11)$$

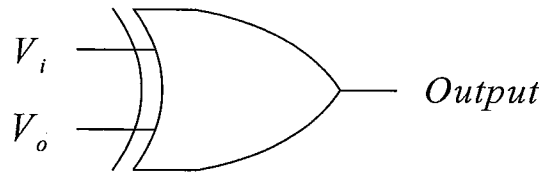
$$\text{ทำให้ได้} \quad \theta_o(s) = \frac{K_0 \cdot V_c(s)}{s} \quad (2.12)$$

ดังนั้นสัญญาณเอาต์พุตของ VCO จะเป็นสัดส่วนกับการอินทิเกรตสัญญาณอินพุตของ VCO จากบล็อกไดอะแกรมและสมการข้างต้นสามารถสร้างเฟอร์ฟังก์ชันของระบบปิดได้ดังนี้

$$\frac{\theta_o(s)}{\theta_i(s)} = \frac{K_d \cdot K_0 \cdot F(s)}{s + K_d \cdot K_0 \cdot F(s)} \quad (2.13)$$

2.6.1 เฟสคอมพาร่าเตอร์

เฟสคอมพาร่าเตอร์ในวงจรเฟสล็อคลูป ทำหน้าที่เปรียบเทียบเฟสระหว่างสัญญาณความถี่อ้างอิงกับสัญญาณความถี่เอาต์พุต สำหรับตัวที่นิยมใช้เป็นวงจรตรวจจับแบบเอิกซ์คูลซีฟ-ออร์เกท ซึ่งมีสัญลักษณ์ดังแสดงในภาพที่ 2.15



ภาพที่ 2.15 สัญลักษณ์อิเก็ซคูลชีฟ-ออร์เกทที่ใช้เป็นวงจรเปรียบเทียบเฟส

ตารางที่ 2.1 แสดงค่าความจริงของการคูณ

V_i	V_o	Output
(-)	(-)	(+)
(-)	(+)	(-)
(+)	(-)	(-)
(+)	(+)	(+)

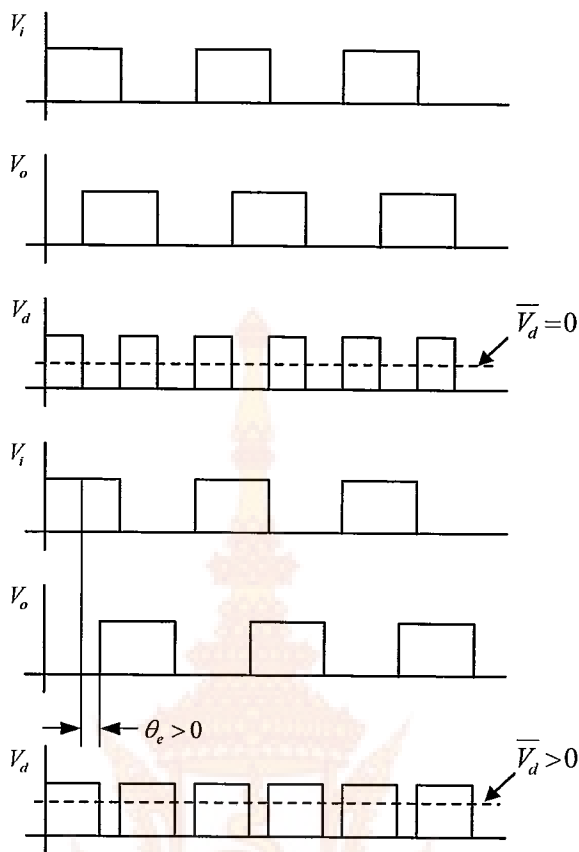
ตารางที่ 2.2 แสดงค่าความจริงของเอิกซ์คูลชีฟ-ออร์เกท

V_i	V_o	Output
V_L	V_L	V_L
V_L	V_H	V_H
V_H	V_L	V_H
V_H	V_H	V_L

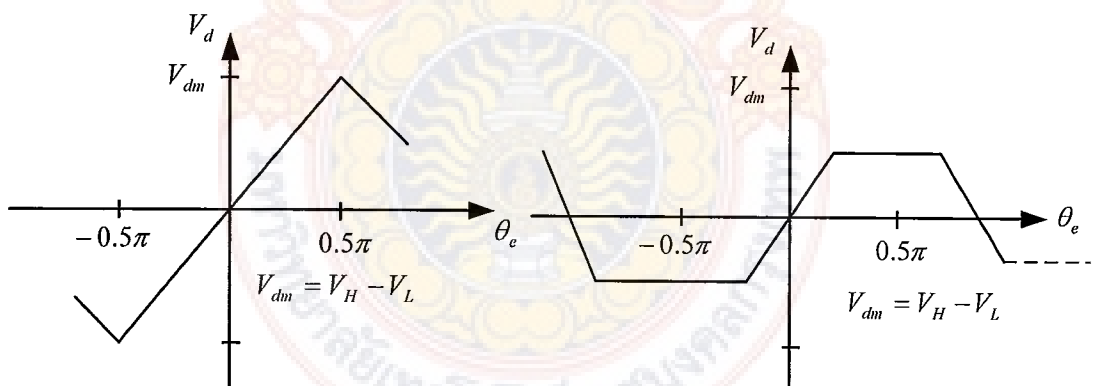
วงจรเอิกซ์คูลชีฟ-ออร์เกทเป็นวงจรตรวจจับเฟสแบบดิจิตอลที่มีการทำงานเหมือนกับตัวคูณสัญญาณด้วยการโอลเออร์ไดร์เรงดันที่เอาต์พุตในขณะที่ประภาระดับของสัญญาณอินพุตเข้ามาและยังให้คูณสมบัติของวงจรเป็นรูปสามเหลี่ยมโดยเอาต์พุตที่ได้จากการคูณจะเป็นค่าอิมตัวของแรงดันบาง ซึ่งสอดคล้องกับค่าของลอจิกสูงหรือเป็นค่าอิมตัวของแรงดันลบที่สอดคล้องกับค่าลอจิกต่ำสำหรับเงื่อนไขการคูณสามารถสรุปได้ดังตารางที่ 2.1 โดยเอาต์พุตถ้าเปรียบเทียบกับ ตารางที่ 2.2 ซึ่งเป็นตารางค่าความจริงของวงจรเอิกซ์คูลชีฟ-ออร์เกท ที่แสดงไว้ในภาพที่ 2.16 โดยแทนระดับแรงดันลอจิกสูง V_H ด้วยเครื่องหมาย (+) และระดับแรงดันลอจิกต่ำ V_L ด้วยเครื่องหมาย (-) จะเห็นว่าเอิกซ์คูลชีฟ-ออร์เกทสามารถนำมาใช้

เป็นวงจรเปรียบเทียบเฟสที่ทำงานเหมือนตัวคุณสมบัติ (ล็อกจิก) ได้ $\theta_e = 0$ เมื่อ V_i และ V_o ที่เข้ามามีความต่างเฟสอยู่ 90 องศา เรียกว่าจุดสงบนิ่ง

ในภาพที่ 2.16 ได้แสดงให้เห็นถึงเอาต์พุตของวงจรเปรียบเทียบแบบເອັກຫຼູບ-ອອຣ່ເກທ ที่มีค่าความคลาดเคลื่อนเฟส (θ_e) ต่างๆ กัน ซึ่งจะแบ่งเป็นสองส่วนคือในกรณีที่มีสัญญาณอินพุต V_i และ V_o ที่เข้ามามีความต่างเฟสอยู่ 90 องศาโดยจะกำหนดให้มีค่าความคลาดเคลื่อนเฟส (θ_e) เท่ากับศูนย์ ซึ่งเรียกว่า จุดสงบนิ่ง(Quiescent-Point)ของวงจรเปรียบเทียบแบบເອັກຫຼູບ-ອອຣ່ເກທ โดยจะทำให้ V_d ที่ได้จะเป็นสัญญาณสี่เหลี่ยมที่มีค่าความถี่เป็นสองเท่าของสัญญาณอินพุตและให้ค่าดิวตี้ไซเคิลเท่ากับ 50 % เนื่องจากความถี่ของสัญญาณเอาต์พุตจะถูกกรองทิ้งไปด้วยวงจรลุปฟิลเตอร์ดังนั้นจึงพิจารณาเพียงค่าเฉลี่ยของสัญญาณเอาต์พุตที่แสดงเป็นเส้นประตามรูป ซึ่งค่าเฉลี่ยที่ได้นี้เป็นค่าที่คำนวนได้จากค่ากลาง(mean)ของระดับลอจิกสูง (V_H) และระดับลอจิกต่ำ (V_L) กล่าวคือถ้าวงจรตรวจจับเฟสแบบເອັກຫຼູບ-ອອຣ່ເກທ ได้รับการจ่ายไฟเฉลี่ย 5 V ค่าเอาต์พุตเฉลี่ยที่ได้จะมีค่าประมาณ 2.5 V ถูกกำหนดให้มีค่าเป็นศูนย์นับจากนี้ไป และในอีกกรณีซึ่งถูกแสดงไว้ในส่วนล่างคือ เมื่อสัญญาณ V_o ถ้าหลังสัญญาณอินพุตอ้างอิง V_i ค่าความคลาดเคลื่อนเฟส (θ_e) จะมีค่าเป็นบวกค่าดิวตี้ไซเคิลของสัญญาณเอาต์พุตที่ได้จะมีค่ามากกว่า 50 % และจึงทำให้ค่าเฉลี่ยเอาต์พุตเป็นบวกมากขึ้นด้วย ในภาพที่ 2.17(ก) แสดงกราฟแสดงคุณสมบัติของวงจรเปรียบเทียบเฟสแบบເອັກຫຼູບ-ອອຣ່ເກທที่ได้จากการพล็อตค่าเฉลี่ยสัญญาณเอาต์พุต เทียบกับค่าของความคลาดเคลื่อนเฟส (θ_e) ซึ่งจะให้ผลเป็นรูปสามเหลี่ยม และอยู่ภายในช่วงที่เป็นเชิงเส้นของ $-0.5\pi < \theta_e < 0.5\pi$ และถ้าในกรณีที่สัญญาณอินพุต V_i และ V_o มีขนาดไม่สมมาตร(มีระดับสัญญาณไม่เท่ากัน) ทำให้ค่าดิวตี้ไซเคิลไม่เท่ากับ 50 เปอร์เซ็นต์ ค่าแรงดันเฉลี่ย (V_{dm}) ที่ได้จะมีค่าลดลง ดังแสดงภาพที่ 2.17(ข)



ภาพที่ 2.16 รูปสัญญาณที่มีค่าความคลาดเคลื่อนไฟฟ์เท่ากับศูนย์และมากกว่าศูนย์



(ก) สัญญาณอินพุต V_i กับ V_o มีขนาดสมมาตร (ข) สัญญาณอินพุต V_i กับ V_o มีขนาดไม่สมมาตร

ภาพที่ 2.17 กราฟแสดงคุณสมบัติของวงจรตรวจจับไฟฟ้าแบบเอ็กซ์คูลซีฟ-ออร์เกท

2.6.2 ลูปฟิลเตอร์

วงจรโลร์พาส ทำหน้าที่กรองเอาเฉพาะสัญญาณความถี่ต่ำมาควบคุมความถี่ของวงจร VCO ลูปฟิลเตอร์จะเป็นตัวกำหนดคุณสมบัติการเปลี่ยนแปลงก่อนเข้าสู่สภาวะล็อกที่เรียกว่า คุณสมบัติชั่วครู่ (Transient) ถ้าเลือกอัตราขยายของลูป (Loop Gain) และค่าคงตัวของลูป

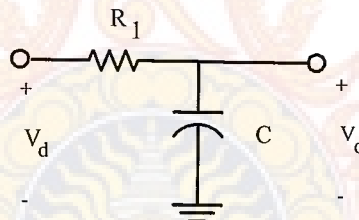
(Loop Time Constant) ไม่เหมาะสมความถี่ของเฟสล็อกลูปจะไม่ทำการล็อกและจะเปลี่ยนแปลงอยู่ตลอดเวลาโดยทั่วไปค่าคงตัวเวลาของลูปฟิลเตอร์จะต้องไม่มากเกินไป เพื่อว่าทุกครั้งที่เปลี่ยนความถี่เฟสล็อกลูปจะล็อกได้เร็วโดยไม่มีการแกว่ง หน้าที่ของโลร์พาสฟิลเตอร์ในเฟสล็อกลูป มีหน้าที่หลัก 2 ประการคือ

- ลดค่าความคลาดเคลื่อนที่เป็นความถี่สูงที่ออกจากเฟสคอมพาราเตอร์โดยใช้คุณสมบัติการกำจัดสัญญาณรบกวนและเป็นตัวทำให้เกิดแรงดันเฉลี่ย (Average dc Voltage) เพื่อนำไปควบคุมวงจร VCO
- ควบคุมการทำงานของลูปชี้ขึ้นอยู่ค่าแรงดันคลาดเคลื่อนของความถี่ระหว่างลูป

2.6.3 วงจรกรองความถี่ต่ำ

เป็นแบบวงจรกรองความถี่ต่ำอันดับ 1 แบบ R-C ดังแสดงในภาพที่ 2.18 โดยที่แรงดัน V_d เป็นแรงดันที่มาจากเฟสคอมพาราเตอร์และ V_o เป็นแรงดันเอาต์พุตที่จะถูกนำไปเปรียบเทียบกับค่าสั่งเฟสที่ต้องการ โดยที่ค่าความถี่คัทออฟของวงจรโลร์พาสฟิลเตอร์(Cut off frequency, ω_{LPF}) สามารถหาได้จาก

$$\omega_{LPF} = \frac{1}{R_1 C} \quad rad/s \quad (2.14)$$



ภาพที่ 2.18 วงจรโลร์พาสฟิลเตอร์อันดับ 1

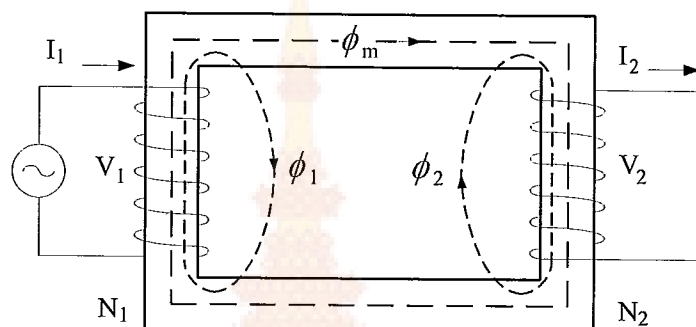
2.6.4 VCO (Voltage Control Oscillator)

โดยทั่วไปแล้วช่วงการใช้งานของความถี่เอาต์พุตจะต้องมีลักษณะที่เป็นเชิงเส้น และในขณะที่ไม่มีสัญญาณเข้ามาที่อินพุตของ VCO ตัวของมันเองจะสามารถสร้างความถี่ขึ้นมาได้หากให้กับเฟสล็อกลูปมีทั้งชนิดที่ให้ความถี่เอาต์พุตเป็นรูปคลื่นสี่เหลี่ยม และรูปคลื่นซายน์คุณสมบัติพึงประสงค์ของ VCO ที่ใช้ในเฟสล็อกลูปมีดังนี้

- คุณสมบัติของการเปลี่ยนแปลงแรงดันเป็นความถี่เป็นเชิงเส้น
- มีช่วงการใช้งานที่กว้างหรือมีค่าอัตราการขยายระหว่างแรงดันกับความถี่ที่สูง
- มีเสถียรภาพทางความถี่ที่ดี
- ตัวความถี่เอาต์พุตเป็นรูปคลื่นซายน์ควรจะเป็นสัญญาณที่คงที่สม่ำเสมอ

2.7 หม้อแปลงไฟฟ้า

เมื่อจ่ายไฟฟ้ากระแสสลับให้ขดลวดปฐมภูมิของหม้อแปลงในอุดมคติดังภาพที่ 2.19 จะเกิดกระแสทางด้านปฐมภูมิ (I_1) ซึ่งทำให้เกิดแรงดันเหนี่ยวนำที่ฟังปฐมภูมิ (V_1) และแรงดันแม่เหล็ก (MMF) ขึ้นที่ขดลวดปฐมภูมิแรงดันแม่เหล็กจะสร้างฟลักซ์แม่เหล็กร่วม (ϕ_m) เคลื่อนตัวตัดขดลวดทุกตัวทำให้เกิดการเหนี่ยวนำเกิดแรงดันที่ฟังทุกตัว V_2 และกระแสเด้านทุกตัว I_2 ขึ้นที่ขดลวดทุกตัวความสัมพันธ์ที่เกิดขึ้นระหว่างแรงดันจ่ายให้หม้อแปลงในอุดมคติและค่าสูงสุดของ ϕ_m สามารถเขียนได้ดังสมการ 2.15



ภาพที่ 2.19 หลักการเบื้องต้นของหม้อแปลง

$$\text{ระบบ SI} \quad V_1 = 4.44fN_1\phi_m \quad (2.15)$$

เมื่อ V_1 คือ แรงดันที่จ่ายให้ขดลวดปฐมภูมิ (V)

f คือ ความถี่ของแรงดัน (Hz)

N_1 คือ จำนวนขดลวดปฐมภูมิ (turns)

ϕ_m คือ ฟลักซ์แม่เหล็กร่วม Mutual Flux (Wb ระบบ SI)

หม้อแปลงในอุดมคติไม่มีความสูญเสียใดๆ ดังนั้นแรงดันที่จ่ายในขดลวดปฐมภูมิจึงมีค่าเท่ากับแรงดันที่เกิดจากการเหนี่ยวนำของขดลวดปฐมภูมิ (V_1) หรือ

$$V_1 = 4.44fN_1\phi_m \quad (2.16)$$

ส่วนแรงดันที่เกิดขึ้นจากการเหนี่ยวนำของขดลวดทุกตัว V_2 เขียนเป็นสมการได้ดังนี้

$$V_2 = 4.44fN_2\phi_m \quad (2.17)$$

เมื่อ

N_1 คือ จำนวนขดลวดปฐมภูมิ

N_2 คือ จำนวนขดลวดทุกตัว

จากสมการ 2.16 และ 2.17 จะได้สมการ Mutual flux

$$\phi_m = \frac{V_1}{4.44 f N_1} \quad (2.18)$$

$$\text{และ } \phi_m = \frac{V_2}{4.44 f N_2} \quad (2.19)$$

นำสมการ 2.18 หารสมการ 2.19 ทำให้ได้สมการใหม่ดังนี้

$$\frac{V_1}{V_2} = \frac{N_1}{N_2}$$

(2.20)

จากสมการ 2.20 อัตราส่วนระหว่าง $\frac{N_1}{N_2}$ หรืออัตราส่วนระหว่างจำนวนรอบของขดลวดปฐมภูมิ

ต่อจำนวนรอบที่二ภูมิหรืออัตราส่วนจำนวนรอบ(turns ratio)

$$\text{turns ratio} = a = \frac{N_1}{N_2}$$

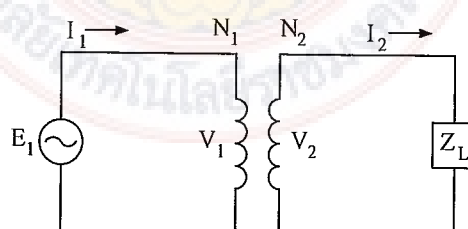
(2.21)

และอัตราส่วนแรงดันและกระแสของหม้อแปลง

$$a = \frac{V_1}{V_2} = \frac{I_2}{I_1} = \frac{N_1}{N_2} \quad (2.22)$$

2.8 การถ่ายโอนอิมพีเดนซ์(Impedance Transfer)

การวิเคราะห์หม้อแปลงจะง่ายยิ่งขึ้น ถ้าเราแยกจากวงจรปฐมภูมิและที่二ภูมิออกจากกัน ดังรูป และย้ายค่าอิมพีเดนซ์มาพิจารณาข้างใดข้างหนึ่ง



ภาพที่ 2.20 วงจรของหม้อแปลง

จากภาพที่ 2.20 จะได้แรงดันไฟฟ้าที่ขดลวดทุกตัวคือ

$$V_2 = Z_L I_2 \quad (2.23)$$

จากสมการ 2.20

$$V_1 = V_2 \times \frac{N_1}{N_2} \quad (2.24)$$

แทนค่าสมการ 2.23 ลงในสมการ 2.24

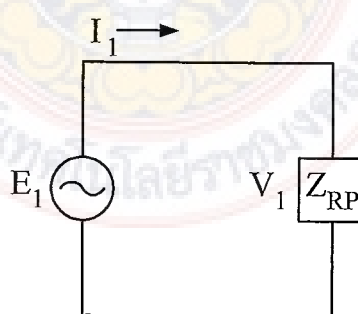
$$V_1 = Z_L I_2 \times \frac{N_1}{N_2} \quad (2.25)$$

แทนสมการ 2.22 ลงในสมการ ($I_2 = aI_1$) และแทน $\frac{N_1}{N_2}$ ด้วย a จะได้สมการใหม่ดังนี้

$$\begin{aligned} V_1 &= Z_L (aI_1) \times a \\ V_1 &= a^2 Z_L I_1 \\ \frac{V_1}{I_1} &= a^2 Z_L \end{aligned} \quad (2.26)$$

จากสมการ 2.26 จะเห็นได้ว่าค่าอิมพีเดนซ์ของโอลด์ ($a^2 Z_L$) อยู่ในรูปของแรงดันและกระแสของขดลวดปฐมภูมิ ($\frac{V_1}{I_1}$) ดังนั้นจึงสรุปได้ว่าค่าอิมพีเดนซ์ของโอลด์ที่ต่ออยู่กับขดลวดทุกตัวคือ

สามารถนำมาพิจารณาทางด้านขดลวดปฐมภูมิในเทอมของ $a^2 Z_L$ นั้นเอง



ภาพที่ 2.21 วงจรของหม้อแปลงที่ย้ายค่าจากขดลวดทุกตัวคือปฐมภูมิมาอยู่ขดลวดปฐมภูมิ

ถ้าเขียนวงจรเทียบเคียงขึ้นใหม่สอดคล้องกับสมการ 2.26 จะได้รูป 2.21 และนำกฎของโอล์ม มาร่วมพิจารณาจะได้สมการได้ดังนี้

$$Z_{RP} = \frac{V_1}{I_1}$$

(2.27)

จากสมการ 2.26 และ 2.27 จะได้สมการอิมพีเดนซ์เป็น

$$Z_{RP} = a^2 Z_L$$

(2.28)

ในทำนองเดียวกันจะได้สมการอิมพีเดนซ์ย้ายท่าจากปฐมภูมิมาอยู่ที่ดิยภูมิดังนี้

$$Z_{RS} = \frac{Z_1}{a^2}$$

(2.29)

เมื่อ Z_{RP} คือ อิมพีเดนซ์ที่ย้ายข้างจากชุดลวดทุ่ติยภูมิมาอยู่ชุดลวดปฐมภูมิ

Z_{RS} คือ อิมพีเดนซ์ที่ย้ายข้างจากชุดลวดปฐมภูมิมาอยู่ชุดลวดทุ่ติยภูมิ

Z_1 คือ อิมพีเดนซ์ที่ชุดลวดปฐมภูมิ

Z_L คือ อิมพีเดนซ์ของโหลด

บทที่ 3

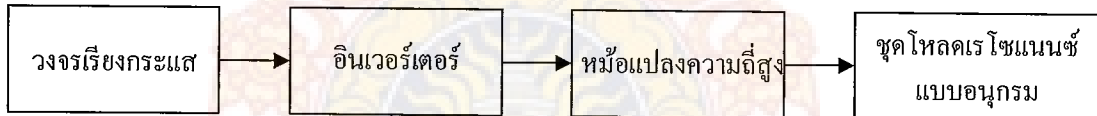
การออกแบบและสร้างเครื่องเหนี่ยวนำความร้อนเพื่อชูบแข็งผิว

3.1 โครงสร้างเครื่องเหนี่ยวนำความร้อนเพื่อชูบแข็งผิว

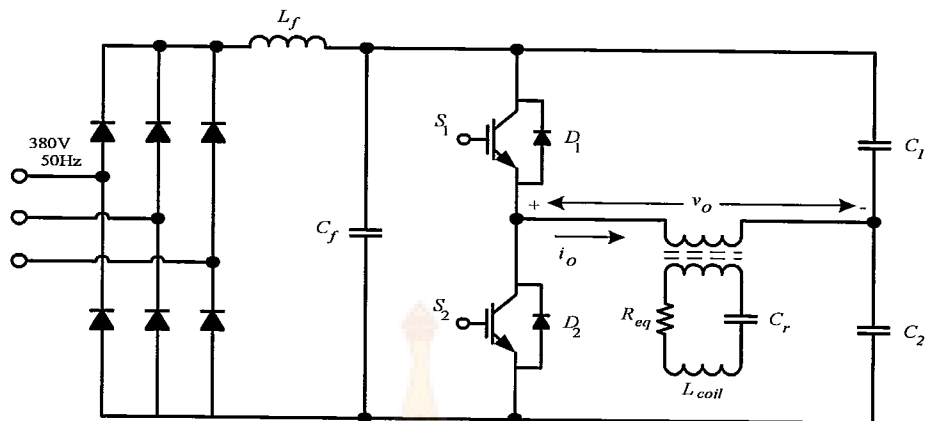
ในการออกแบบและสร้างเครื่องให้ความร้อนแบบเหนี่ยวนำสำหรับงานวิจัยนี้ ได้แบ่งออกเป็น 4 ส่วน ซึ่งประกอบไปด้วย ส่วนต่างๆ ดังนี้

1. วงจรเรียงกระแส
2. อินเวอร์เตอร์แบบครึ่งบริดจ์ชนิดแหล่งจ่ายแรงดัน
3. หม้อแปลงความถี่สูง
4. ชุดโหลดเรโซแนนซ์แบบอนุกรม

ระบบทั้งหมดของต้นแบบเครื่องเหนี่ยวนำความร้อนเพื่อชูบแข็งผิวใช้แรงดันด้านเข้า 3 Phase 380 V 50 Hz กำลังไฟฟ้าด้านเข้าประมาณ 4 kW จ่ายให้กับวงจรเรียงกระแสเพื่อแปลงเป็นแรงดันไฟฟ้ากระแสตรงจ่ายเข้าไปยังอินเวอร์เตอร์ อินเวอร์เตอร์ทำหน้าที่เปลี่ยนแรงดันไฟฟ้ากระแสตรงเป็นแรงดันไฟฟ้ากระแสสลับความถี่สูงจ่ายให้หม้อแปลงความถี่สูงเพื่อปรับออมพีเดนซ์ของโหลดให้เหมาะสมสมกับกำลังของอินเวอร์เตอร์ และจ่ายเข้าชุดโหลดเรโซแนนซ์แบบอนุกรม ดังกล่าวได้แก่ในภาพที่ 3.1 และโครงสร้างของเครื่องเหนี่ยวนำความร้อนเพื่อชูบแข็งผิวดังแสดงในภาพที่ 3.2



ภาพที่ 3.1 บล็อกไซด์แกรมของเครื่องเหนี่ยวนำความร้อนเพื่อชูบแข็งผิว



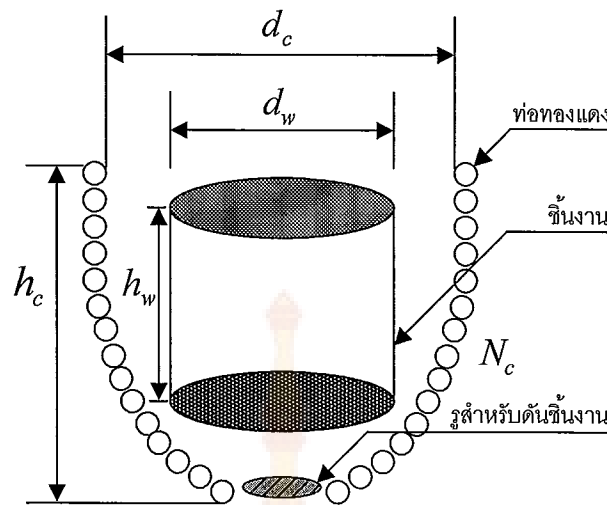
ภาพที่ 3.2 โครงสร้างของเครื่องเหนี่ยวยาน้ำความร้อนเพื่อชูบแม่ปิวโลดเรซเซนซ์แบบอนุกรม

3.2 การออกแบบชุดโลดเรซเซนซ์

3.2.1 การออกแบบชุดเหนี่ยวยาน้ำความร้อน (L_{coil})

โดยทั่วไปแล้วชุดلوดเหนี่ยวยาน้ำจะทำขึ้นจากห่อทองแดงกลวง ทั้งนี้ เพราะห่อทองแดงเป็นตัวนำไฟฟ้าได้ดีทำให้มีกำลังสูญเสียในชุดلوดเหนี่ยวยาน้ำต่ำ ซึ่งจะมีผลทำให้ระบบมีประสิทธิภาพสูงอย่างไรก็ได้เนื่องจากความหนาแน่นของกระแสในชุดلوดเหนี่ยวยาน้ำมีค่าสูง ความร้อนที่เกิดจากกระแสที่ไหลในชุดلوดเหนี่ยวยาน้ำจะมีค่ามาก ดังนั้นจึงต้องใช้ห่อทองแดงกลวง เพื่อให้สามารถระบายความร้อนโดยใช้ของเหลว เช่น น้ำ ผ่านเข้าไปในห่อได้ เป็นต้น

สำหรับชิ้นงานที่ใช้เป็นห่อกระแสก้มีเส้นผ่านศูนย์กลาง 75 mm. สูง 74 mm. โดยมีระยะห่างระหว่างผิวนอกของชิ้นงานกับผิวภายในของชุดلوดเหนี่ยวยาน้ำให้เหมาะสมและให้สะดวกในการวางชิ้นงาน ส่วนขนาดเหนี่ยวยาน้ำเป็นห่อทองแดงกลวงมีขนาดเส้นผ่านศูนย์กลางภายนอก 1/4" สามารถพันได้ทั้งหมด 15 รอบ จากนั้นนำไปเชื่อมต่อกับแผ่นทองแดงเพื่อใช้เป็นขั้วไฟฟ้า และใช้น้ำระบายความร้อนภายในชุดلوดทองแดง เนื่องจากกระแสที่ชุดเหนี่ยวยาน้ำมีค่าสูง ชุดเหนี่ยวยาน้ำที่ออกแบบและสร้างขึ้นมีลักษณะเป็นดังภาพที่ 3.3



ภาพที่ 3.3 ขนาดหน่วยนำที่ได้ออกแบบและสร้าง

โดยที่ N_c	คือ จำนวนรอบของท่อทองแดงขดหน่วยนำ
h_w	คือ ความสูงของชิ้นงาน
h_c	คือ ความสูงของท่อทองแดงขดหน่วยนำ
d_c	คือ เส้นผ่านศูนย์กลางภายในของท่อทองแดงขดหน่วยนำ
d_w	คือ เส้นผ่านศูนย์กลางของชิ้นงาน

3.2.2 การออกแบบตัวเก็บประจุ (C_r)

จากขนาดหน่วยนำที่ได้ออกแบบไปในหัวข้อที่ผ่านมา นำไปวัดด้วยเครื่องวัดค่าความหน่วยนำ ซึ่งค่าที่ได้เป็นค่าโดยประมาณ ในโครงการนี้ได้ใช้เครื่องวัดรุ่น HIOKI 3532-50 LCR HITESTER โดยเลือกใช้ความถี่ที่เครื่องวัดมีอยู่ 20kHz ค่าความหน่วยนำที่ได้มีค่าโดยประมาณ $L_{coil} \approx 10.2\mu\text{H}$ ค่าที่ได้นี้อาจมีความคลาดเคลื่อนจากเครื่องวัด ดังนั้นจึงไปเลือกขนาดของค่าตัวเก็บประจุที่ความถี่เรโซแนนซ์ 20kHz ดังนี้

$$\begin{aligned} \text{จาก} \quad f &= \frac{1}{2\pi\sqrt{LC}} \\ \text{ดังนั้น} \quad C_r &= \frac{1}{4\pi^2 f^2 L} \\ &C_r = \frac{1}{4\pi^2 (20 \times 10^3)^2 (10.2 \times 10^{-6})} \\ &C_r \approx 6.2\mu\text{F} \end{aligned}$$

จะได้ค่าตัวเก็บประจุประมาณ $6.2 \mu F$ เพราะฉะนั้นจะใช้ตัวเก็บประจุขนาด $3 \mu F$ จำนวน 2 ตัว ค่าที่ได้นี้จะต่างกับค่าที่คำนวณได้ เนื่องมาจากค่าของตัวเก็บประจุที่มีข้อจำกัด และลักษณะการติดตั้งตัวเก็บประจุที่ขาด漉ดเดนี่ยวนำ ดังนั้นจึงเลือกใช้ตัวเก็บประจุที่มีค่า $6 \mu F$

3.3 การออกแบบหม้อแปลงความถี่สูง

เนื่องจากโหลดใช้ค่าอิมพีเดนซ์สูงเพรำะต้องการกระแสที่สูงกว่าไอจีบีที่สามารถรับได้ จึงต้องใช้หม้อแปลงความถี่สูงมาเป็นตัวช่วยลดกระแส放engปฐมภูมิลง

อัตราส่วนระหว่างจำนวนรอบของขาด漉ดทุติยภูมิ N_s จำนวนรอบของขาด漉ดปฐมภูมิ N_p

$$\text{Turns Ratio} = \frac{N_p}{N_s} = 6$$

หากที่เลือกใช้ไอจีบีที่เบอร์ CM150DY-24NF ที่มีพิกัดกระแส 150 A แต่กระแสของโหลด มีค่าประมาน 278 A จากการจำลองการทำงาน เมื่อเปรียบเทียบกับอัตราส่วนของหม้อแปลงจะได้

$$\text{Turns Ratio} = \frac{i_s}{i_p}$$

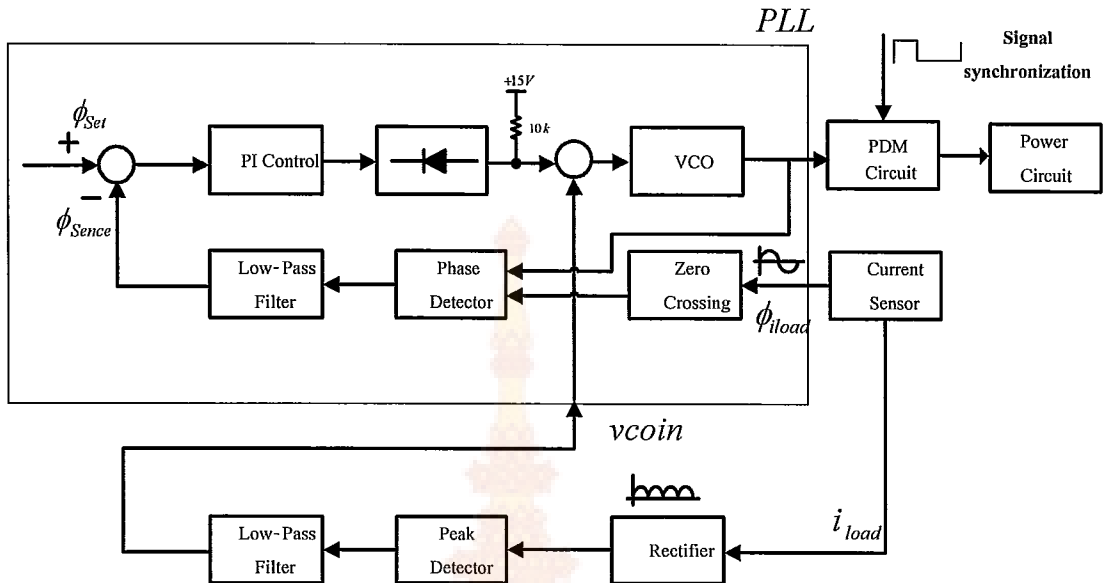
$$i_p = \frac{278}{6} = 46A$$

ซึ่งค่ากระแส放engปฐมภูมิจะค่าประมาน 46 A ไม่เกินพิกัดของที่ไอจีบีที่

3.4 การออกแบบอินเวอร์เตอร์

เนื่องจากในโครงงานนี้ใช้ความถี่ในการสวิตซ์สูงประมาน 20 kHz จึงเลือกใช้ไอจีบีที่ในการสวิตซ์ ในโครงงานนี้ต้องการใช้กำลังไฟฟ้าประมาน 4 kW จะมีกระแสที่แหล่งผ่านสวิตซ์แต่ละตัวจะมีค่ายอดประมาน 46 A ขนาดของแรงดันตกคร่อมสวิตซ์มีค่ายอดประมาน 360 V จึงเลือกใช้ไอจีบีที่เบอร์ CM150DY-24NF ซึ่งมีพิกัดกระแส 150 A ที่อุณหภูมิทำงาน $25^\circ C$ พิกัดแรงดัน 1200 V

3.4.1 วงจรควบคุมการทำงานของอินเวอร์เตอร์



ภาพที่ 3.4 บล็อกไดอะแกรมในการควบคุมการทำงานของอินเวอร์เตอร์

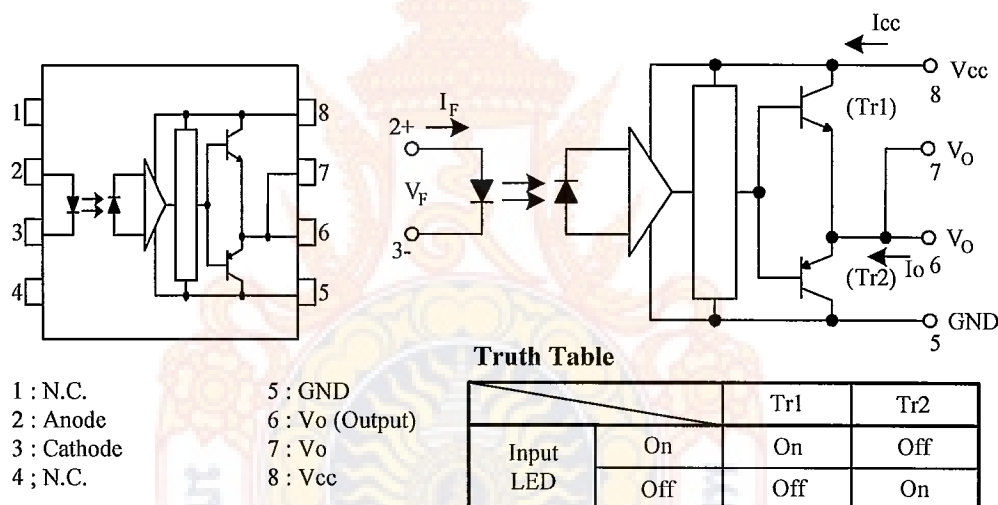
จากภาพที่ 3.4 จะมีการทำงานโดยการเช็คกระแสกลับจาก Current Sensor และจ่ายไปยังชุดตรวจสอบสัญญาณเฟสและชุดตรวจสอบกระแสโดยที่ทั้งสองชุดจะทำงานเมื่อเฟสที่ต้องจับไม่เกินค่าที่เซ็ทไว้และกระแสที่ต้องจับมากไม่เกินค่าที่ตั้งไว้ เช่นกัน การทำงานจะทำงานให้แรงดันก่อนเข้า VCO เพื่อสร้างสัญญาณพัลส์ไปเข้าวงจรขับเกตของสวิตช์ S_1 กับ S_2 และสัญญาณที่ได้นี้จะถูกนำมาเปรียบเทียบเพื่อกับเฟสของความถี่อ้างอิงที่ภาคตรวจสอบเฟส(Phase Detector)แล้วให้กำเนิดแรงดันคลาดเคลื่อนออกมาไปยังภาคกรองความถี่ต่ำผ่านหรือภาคกรองความถี่ต่ำ(Low - Pass Filter)ทำหน้าที่กำจัดส่วนประกอบทางไฟฟ้าสถิตที่ปะปนมากับแรงดันคลาดเคลื่อนและปล่อยให้ส่วนประกอบทางไฟตรงของแรงดันคลาดเคลื่อนผ่านไปยังVCO เมื่อตัวตรวจสอบเฟสเกินเนื่องจากเฟสที่เข้ามาเป็นลบจะทำให้แรงดันก่อนเข้า VCO มีค่าลดลงทำให้ความถี่ต่ำลงเพื่อให้ค่าเฟสที่ต้องจับมากมีค่าน้อยกว่าค่าที่ตั้งไว้และเมื่อตัวตรวจสอบกระแสเกินเนื่องจากกระแสที่เข้ามาเป็นบวกจะทำให้แรงดันก่อนเข้า VCO มีค่าสูงขึ้นทำให้ความถี่สูงขึ้นเพื่อให้ค่ากระแสที่ต้องจับมากมีค่าน้อยกว่าค่าที่ตั้งไว้ หลังจากนั้นสัญญาณที่ถูกส่งออกมายัง VCO จะถูกส่งเข้าไปยัง PDM circuit เพื่อทำการซึ้งค์กับสัญญาณก่อนถูกส่งไปยัง Power circuit

3.4.2 วงจรขับนำเกต

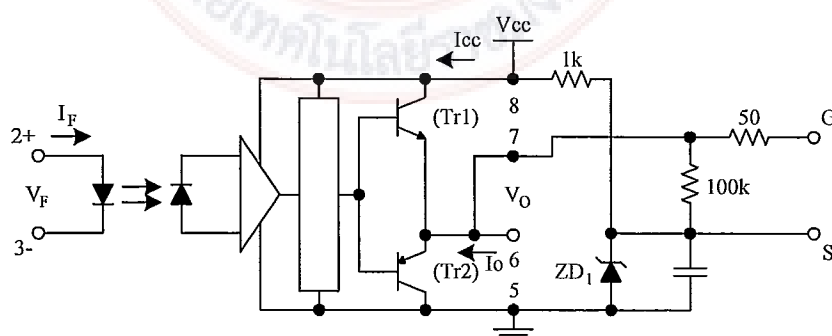
ไอจีบีที่ต้องการแรงดันนา้มากขึ้นเกตเพื่อให้มั่นสามารถทำงานในสภาวะนำกระแส และหยุดนำกระแสได้ ซึ่งวงจรขับนำเกตที่แสดงดังภาพที่ 3.5 เป็นวงจรขับเกตโดยใช้ไอชีเบอร์ TLP250 ซึ่งใช้ตัวเชื่อมโยงสัญญาณทางแสงเพื่อแยกโอดตสัญญาณทางไฟฟ้าระหว่างวงจรกำลัง (Main Power Circuit) และวงจรควบคุม (Control Circuit) สัญญาณขับนำจากวงจรควบคุมจะเป็นตัวขับ LED ที่อยู่ภายในตัวแยกโอดตสัญญาณทางแสงซึ่งทำหน้าที่เพื่อใบอัลตรานิวเคลียร์ Tr₁ (NPN) และทรานซิสเตอร์ Tr₂ (PNP)

ทรานซิสเตอร์ Tr₁ เป็นชนิด NPN ซึ่งต้องการสัญญาณใบอัลตรานิวเคลียร์ (+) และทรานซิสเตอร์ Tr₂ เป็นชนิด PNP ซึ่งต้องการสัญญาณใบอัลตรานิวเคลียร์ (-)

เมื่อทรานซิสเตอร์ Tr₁ และ ทรานซิสเตอร์ Tr₂ ได้รับสัญญาณใบอัลตรานิวเคลียร์ (+) ทำให้ทรานซิสเตอร์ Tr₁ นำกระแส และในขณะเดียวกันทรานซิสเตอร์ Tr₂ หยุดนำกระแส



ภาพที่ 3.5 วงจรภายในไอชีเบอร์ TLP250



ภาพที่ 3.6 แสดงวงจรขับเกตที่ใช้งานจริง

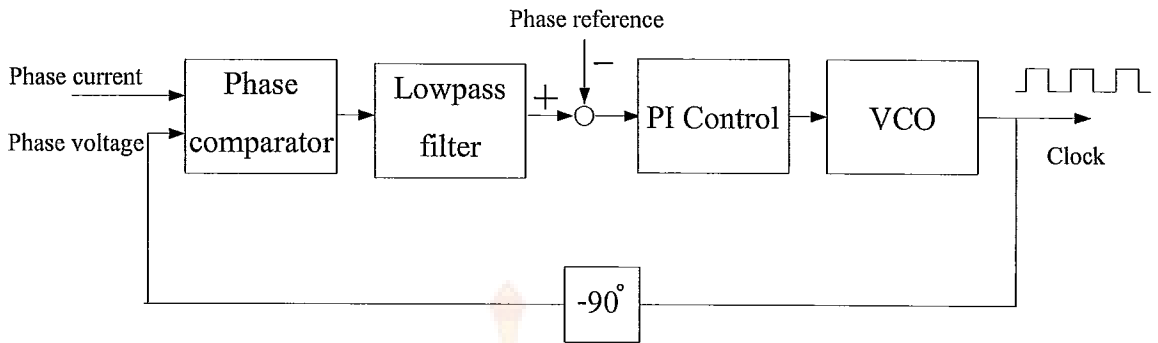
วงจรขับเกตที่แสดงดังรูปที่ 3.6 แสดงวงจรขับเกตที่ใช้งานจริง ใช้ตัวแยกโอดทางแสงเพื่อแยกโอดระหว่างวงจรควบคุมกับวงจรกำลัง สัญญาณขับนำ้งวงจรควบคุมจะเป็นตัวขับ LED ที่อยู่ในตัวแยกโอดทางแสงเพื่อใบอัลให้กับทรานซิสเตอร์ Tr₁ ภายในให้นำกระแส และในขณะเดียวกันทรานซิสเตอร์ Tr₂ หยุดนำกระแส ทำให้มีกระแสไฟหล่อผ่านความต้านทาน 50Ω ไปจ่ายแรงดันขาเกต ในขณะนั้นชีเนอร์ไดโอดที่ต่ออยู่กับขาซอร์สเพื่อสร้างแรงดัน -5V ทำให้แรงดันที่จุด G เมื่อเทียบกับจุด S เป็นแรงดันไฟบวก 15 V ($V_{GS} = +15$ V)

ในทางกลับกันเมื่อไม่มีสัญญาณขับนำ้งเกตผ่านตัวแยกโอดทางแสง ทรานซิสเตอร์ Tr₁ ไม่นำกระแส ในขณะนี้ทรานซิสเตอร์ Tr₂ จะนำกระแสแทนทำให้ที่จุด G มีแรงดันไฟฟ้าลบเกิดขึ้น เมื่อเทียบกับจุด S ซึ่งค่าแรงดันไฟฟ้าลบที่เกิดขึ้นนี้จะขึ้นอยู่กับค่าแรงดันซีเนอร์ไดโอด ZD₁ โดยที่ว่าไปมักจะให้มีแรงดันไฟฟ้า (-) อยู่ประมาณ 5 V เพื่อทำให้ตัวสวิตช์คัดตอบได้เร็วขึ้นและป้องกันการนำกระแสของตัวสวิตช์เมื่อมีสัญญาณรบกวนเข้ามา

3.5 การออกแบบให้มุ่งเฟสคงที่

การที่จะต้องมีการควบคุมมุ่งเฟสของแรงดันกับกระแสของโหลดเรโซแนนซ์อนุกรมให้มีค่าเป็นแบบเฟสแรงดันหน้าเฟสกระแสติดต่อของการทำงานเนื่องจากในระหว่างการให้ความร้อนจะเกิดการเปลี่ยนแปลงคุณสมบัติของชิ้นงานอยู่ตลอด เพราะค่าพารามิเตอร์ของชุดเหนี่ยวแน้แปรตามค่าความต้านทานจำเพาะและค่าความซึมซาบแม่เหล็กของชิ้นงานโดยเฉพาะเมื่อชิ้นงานซึ่งอยู่ในตระกูลเหล็กมีอุณหภูมิกู้รี ค่าความซึมซาบแม่เหล็กสัมพัทธ์ (Relative Permeability) ของชิ้นงานมีค่าเป็น 1 การเปลี่ยนแปลงดังกล่าวที่เกิดขึ้นทำให้จุดทำงานของอินเวอร์เตอร์เปลี่ยนไปจากที่ตั้งไว้ในตอนแรกและอาจไปอยู่ที่จุดทำงานที่ทำให้แรงดันล้าหลังกระแส อาจทำให้เกิดกระแสสูงที่สวิตช์ (Spike Current) ทำให้อุปกรณ์เกิดความเสียหายได้

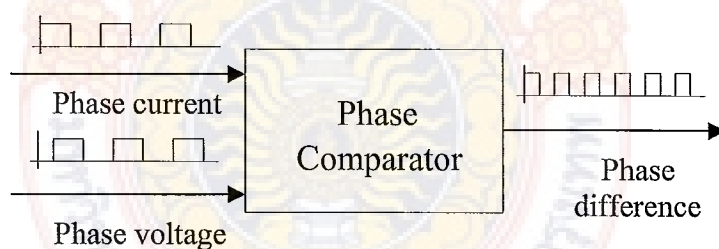
การควบคุมมุ่งเฟสคงที่สามารถปรับให้มุ่งของแรงดันมีเฟสนำหน้าหรือตามหลังกระแสก็ได้ โดยการปรับแรงดันอ้างอิงที่ตั้งคำสั่งเฟส (Phase reference) โดยในที่นี้จะทำการควบคุมให้เฟสของแรงดันนำหน้ากระแสคงที่ตลอดการทำงาน บล็อกไอดีอะแกรมในภาพที่ 3.7 ประกอบด้วย วงจรวัดเฟสกระแสที่โหลด, วงจรเปรียบเทียบเฟส (Phase comparator, PD), ตัวควบคุมแบบอนาล็อก PI (Constant Phase Controller) และวงจรเปลี่ยนจากแรงดันเป็นความถี่ (Voltage Controlled Oscillator, VCO) โดยใช้ Phase Detect 1 (EX-OR Gate) และ VCO ที่อยู่ภายใน IC 4046 ซึ่งเป็นเฟสล็อกลูปไฮซี



ภาพที่ 3.7 บล็อกไซด์อะแกรมของวงจรเฟสล็อกคูลป

3.5.1 วงจรเปรียบเทียบความแตกต่างเฟส

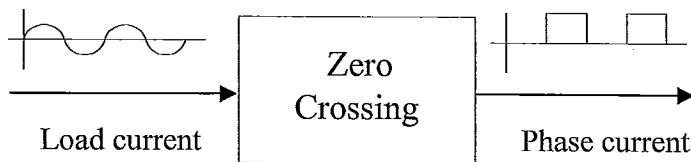
สำหรับวงจรอินเวอร์เตอร์แบบเหล็กจ่ายแรงดันนั้นสัญญาณขับนำสวิตช์กับแรงดันที่โหลด มีเฟสที่ตรงกัน ดังนั้นเราใช้สัญญาณขับนำสวิตช์แทนแรงดันพัลส์และผ่านวงจรเลื่อนเฟสแรงดัน โดย D Flip-Flop ในการเลื่อนสัญญาณ หลังจากนั้นสัญญาณกระแสกับแรงดันจะถูกนำมาเปรียบเทียบเพื่อตรวจจับความแตกต่างเฟส โดยใช้ EX-OR Gate ในวงจรเฟสล็อกคูลปเป็นตัวเปรียบเทียบความแตกต่างเฟส โดยเอาต์พุตที่ได้จะเป็น Duty cycle ความต่างเฟสที่มีความถี่ 2 เท่าของความถี่อินพุตแรงดันข้ามออกถูกกรองด้วยวงจรกรองความถี่ต่ำแบบ RC เพื่อให้ได้ค่าแรงดันเฉลี่ยที่ต้องการแล้วจึงนำไปเปรียบเทียบกับค่าเฟสที่ตั้งไว้ สัญญาณที่ได้ถูกป้อนให้กับตัวควบคุมกำเนิดความถี่ทำให้เกิดการเปลี่ยนแปลงความถี่ให้ได้เฟสตามตั้งไว้



ภาพที่ 3.8 การเปรียบเทียบความต่างเฟส

3.5.2 วงจรตรวจจับกระแสเฟส

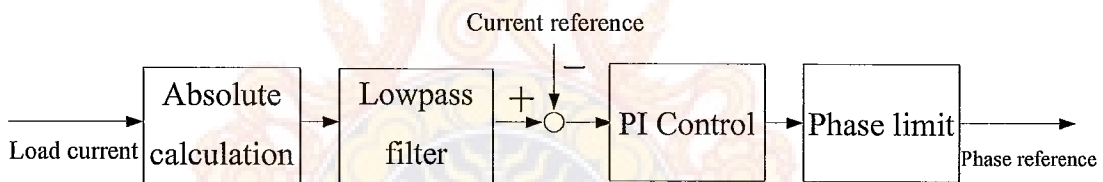
การวัดกระแสที่โหลดนั้นจะต้องใช้ตัววัดที่ให้ผลตอบสนองที่รวดเร็วและให้เฟสของสัญญาณที่วัดได้กับเฟสกระแสจริงมีความแตกต่างกันน้อยที่สุด เนื่องจากกระแสแสดงถึงกล่าวมีความถี่ที่(สูงประมาณ20kHz)โดยหลักการวัดเป็นดังนี้ วัดกระแสที่โหลดโดยให้มือแปลงกระแสซึ่งสัญญาณที่ได้จะเป็นแรงดันไฟฟลับสูปคลื่นไชน์ สัญญาณที่ได้นำไปผ่านวงจรตรวจจับแรงดันศูนย์ (Zero Crossing) โดยสัญญาณเอาต์พุตจะเป็นสี่เหลี่ยมที่มีเฟสและความถี่ตรงกับกระแสที่โหลดพอดี



ภาพที่ 3.9 การตรวจจับเฟสกระแส

3.6 การออกแบบการควบคุมกำลัง

การปรับกำลังโดยวิธีการควบคุมกระแสที่โหลด ซึ่งใช้หลักการควบคุมการทำงานของอินเวอร์เตอร์โดยที่กำลังไฟฟ้าสูงสุดการทำงานของอินเวอร์เตอร์จะอยู่ที่ใกล้ความถี่เรโซแนนซ์ และกำลังไฟฟ้าจะลดลงเมื่อการทำงานของอินเวอร์เตอร์มีความถี่สูงขึ้นเนื่องจากผลของค่าอินดักตีฟรีเอกแตนซ์ของโหลดอนุกรมเรโซแนนซ์สูงขึ้นจึงทำให้กระแสที่โหลดลดลง หลักการทำงานของวงจรคือ วงจร Absolute Calculation จะรับสัญญาณไซน์จากหม้อแปลงกระแสแปลงเป็นสัญญาณเชิงบวกทั้งหมด และถูกกรองด้วยวงจรความถี่ต่ำเพื่อเปลี่ยนให้ได้ค่าแรงดันไฟตรงแล้วนำไปเปรียบเทียบกับกระแสที่ตั้งไว้ ค่าความผิดพลาดที่ได้จะถูกป้อนเข้า PI Control และ Phase Limit โดยที่ Phase Limit จะตั้งไว้ที่ความถี่สูงกว่าความถี่เรโซแนนซ์ ซึ่งจะควบคุมความถี่ในการทำงานของลูปควบคุมเฟสคงที่ต่อไป

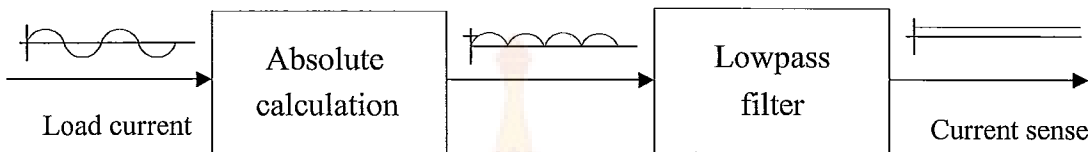


ภาพที่ 3.10 บล็อกไซอะแกรมการควบคุมกำลัง

นอกจากวงจรนี้จะช่วยในการควบคุมกำลังไฟฟ้าแล้วยังสามารถป้องกันกระแสเกินได้เนื่องจากกระแสโหลดจะไม่เกินกระแสที่ตั้งไว้ (Current Reference) และยังช่วยให้การเริ่มการทำงานของเครื่องให้ความร้อนเนื่นยวน้ำไม่เกิดกระแสสูงเนื่องการทำงานของอินเวอร์เตอร์จะเริ่มที่ความถี่สูงก่อนแล้วจึงลดลงจนทำงานที่ใกล้กับความถี่เรโซแนนซ์ จึงทำให้กระแสขณะเริ่มการทำงานของเครื่องให้ความร้อนเนื่นยวน้ำมีค่าต่ำ จึงไม่ทำให้อุปกรณ์เสียหายเนื่องจากผลของการกระแสในขณะเริ่มเดินเครื่อง

3.6.1 วิธีการตรวจจับขนาดกระแสโหลด

โดยวิธีจะรับสัญญาณกระแสโหลดจากหม้อแปลงกระแสซึ่งเป็นแรงดันกระแสสลับและจะแปลงให้แรงดันเป็นสัญญาณแรงดันครึ่งบวกแบบเต็มคลื่น และวิธีผ่านวงจรกรองแรงดันให้เรียบและเอาต์พุตที่ได้เป็นแรงดันกระแสตรง และจะมีอัตราขยายเพื่อให้ได้ออต์พุตที่เหมาะสม



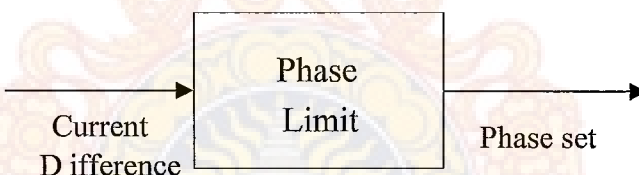
ภาพที่ 3.11 การตรวจจับขนาดกระแสโหลด

3.6.2 เฟสลิมิต

จะรับแรงดันจากการเปลี่ยนเทียบระหว่างขนาดกระแสอ้างอิงกับขนาดของกระแสโหลด โดยค่าผิดพลาดที่ได้จะมีค่าอยู่ระหว่าง 0-10 V โดยจะผ่านวงจรลิมิตเพื่อควบคุมไม่ให้แรงดันเอาต์พุตเกินค่าแรงดัน (V_{sel}) ที่ตั้งไว้และแรงดันเอาต์พุตที่ได้จะนำไปควบคุมเฟสอ้างอิงต่อไป

$$V_{out} = V_{in} \text{ ถ้า } V_{in} < V_{sel}$$

$$V_{out} = V_{sel} \text{ ถ้า } V_{in} > V_{sel}$$



ภาพที่ 3.12 การลิมิตเฟส

3.7 การออกแบบวงจรเรียงกระแส

วงจรเรียงกระแสทำหน้าที่เปลี่ยนแรงดันไฟฟ้ากระแสสลับเป็นแรงดันไฟฟ้ากระแสตรง ในโครงการนี้ใช้แรงดัน 3 Phase 380 V 50 kW แปลงเป็นแรงดันไฟฟ้ากระแสตรงประมาณ 550 V วงจรเรียงกระแสประกอบด้วยบริจจ์ไดโอดและผ่านวงจรกรองแรงดันโดยใช้ตัวเก็บประจุ (C_f) $1.5 \mu F$ โดยมีตัวเห็นี่ยวนำต่ออนุกรมอยู่กับตัวเก็บประจุ (L_f) $34 \mu H$ ในขณะที่วงจรเริ่มทำงาน แรงดันที่ตัดคร่อมตัวเก็บประจุจะมีค่าประมาณศูนย์โวลต์ ทำให้กระแสที่ไหลอัดประจุให้แก่ตัวเก็บประจุมีค่าคงที่ข้างสูง ซึ่งกระแสในจำนวนนี้จะไหลผ่านบริจจ์ไดโอดจากทำให้ได้อดเสียหาย ได้ ดังนั้นจึงใส่ตัวเห็นี่ยวนำเพื่อจำกัดกระแสไว้ในช่วงการทำงาน กระแสที่ไหลผ่านบริจจ์ไดโอดประมาณ 6 A เลือกใช้บริจจ์ไดโอดที่ทนแรงดันได้ 800 V พิกัดกระแส 30 A

3.8 Current Transformer (CT) สำหรับวัดกระแส

การทำ CT ขึ้นมาเพื่อทำการวัดกระแสไฟฟ้านั้นทำได้โดยการใช้เกณเฟอร์เรทพันด้วยลวดตัวนำและปลายสายตัวนำทั้งสองจะต่อเข้ากับตัวต้านทาน(R) CT ที่ทำขึ้นมาันจะดูประสกนเพื่อต้องการวัดรูปคลื่นของกระแสไฟฟ้าเท่านั้น

ที่เลือกใช้เกณเฟอร์เรทมาทำ CT เพราะว่าเป็นวัสดุที่มีส่วนผสมของแม่เหล็กทำให้มีความเข้มสนามแม่เหล็กมากและมีความต้านทานสูง จึงช่วยลดการสูญเสียบนเกณหรือลดความร้อนจากการเกิดกระแสไฟหวานที่ความถี่สูง ตัวอย่างแสดงดังภาพที่ 3.13

ต้องการออกแบบ CT ขนาด 1:100 กระแสสูง 30 A

จาก

$$\frac{N_1}{N_2} = \frac{I_2}{I_1}$$

เมื่อ $N_1 = 1$ รอบ, $N_2 = 100$ รอบ, $I_1 = 30$ A

คำนวณหากระแสไฟออกของขดลวด 100 รอบ

$$I_2 = \frac{1}{100} \times 30 = 0.3 \text{ A}$$

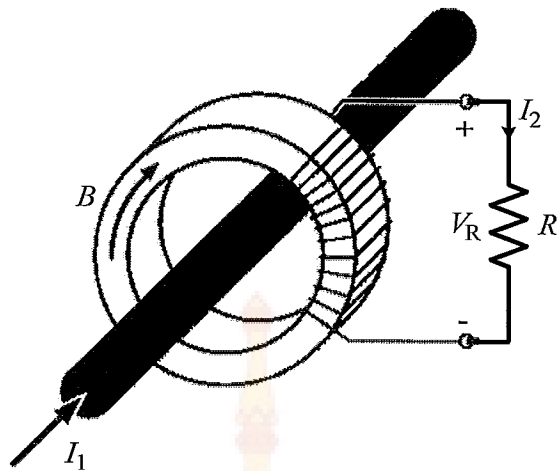
ใช้ $R = 1\Omega$ ต่อระหว่างขดลวด 100 รอบ จะได้แรงดันตกคร่อม R (V_R) เท่ากับ

$$V_R = I_2 \times R$$

$$V_R = 0.3 \times 1 = 0.3 \text{ V}$$

สามารถอ่านค่ากระแสไฟฟ้าจาก CT ได้โดย

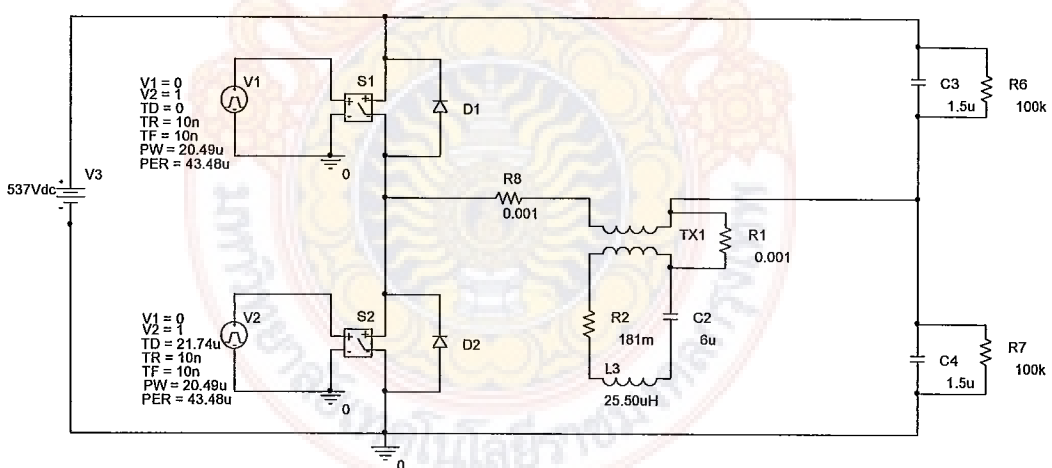
$$I_t = \frac{V_R}{R} \times 100 \text{ รอบ} \quad \text{A}$$



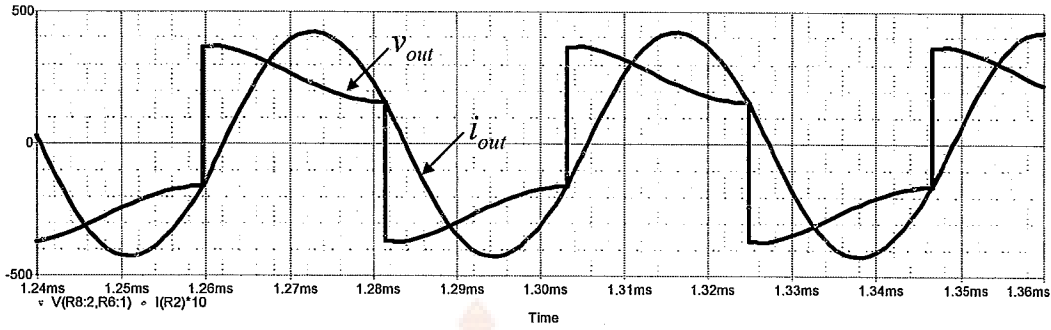
ภาพที่ 3.13 Current Transformer

3.9 จำลองการทำงาน

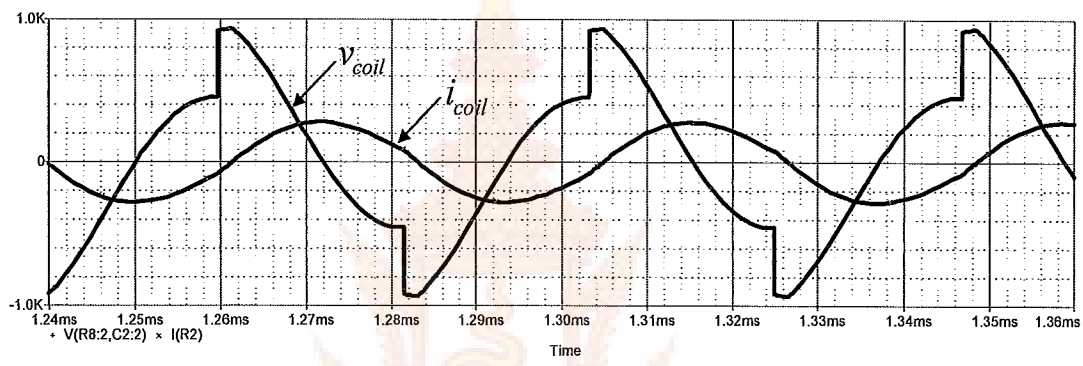
ทำการจำลองการทำงานของเครื่องเหนี่ยวนำความร้อนเพื่อชูปแข็งผิวที่มีชุดโหลดต่อแบบอนุกรมดังภาพที่ 3.14 ผลการจำลองการทำงานภาพที่ 3.15 แสดงรูปคลื่นแรงดัน (v_{out}) ด้านออกของอินเวอร์เตอร์และรูปคลื่นกระแส (i_{out}) ด้านออกของอินเวอร์เตอร์และภาพที่ 3.16 แสดงรูปแรงดัน (v_{coil}) ที่ขดเหนี่ยวนำและกระแส (i_{coil}) ที่ขดเหนี่ยวนำ



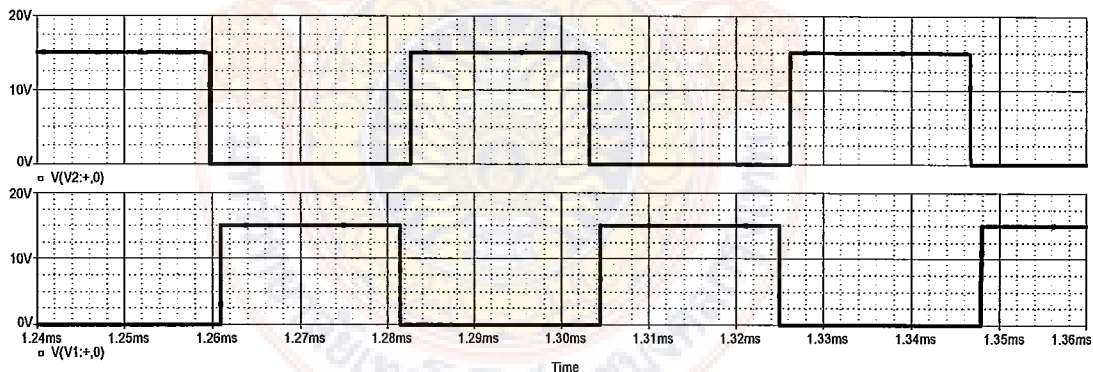
ภาพที่ 3.14 วงจรจำลองการทำงาน



ภาพที่ 3.15 รูปคลื่นแรงดัน (v_{out}) ด้านออกของอินเวอร์เตอร์และกระแส (i_{out}) ด้านออกของ อินเวอร์เตอร์ (i_{out} : 10 A/div, v_{out} : 100 V/div and Time: 10 μ s / div.)



ภาพที่ 3.16 รูปคลื่นแรงดัน (v_{coil}) ที่ขดเหนี่ยวนำและกระแส (i_{coil}) ที่ขดเหนี่ยวนำ (i_{coil} : 200 A/div, v_{coil} : 200 V/div and Time: 10 μ s / div.)

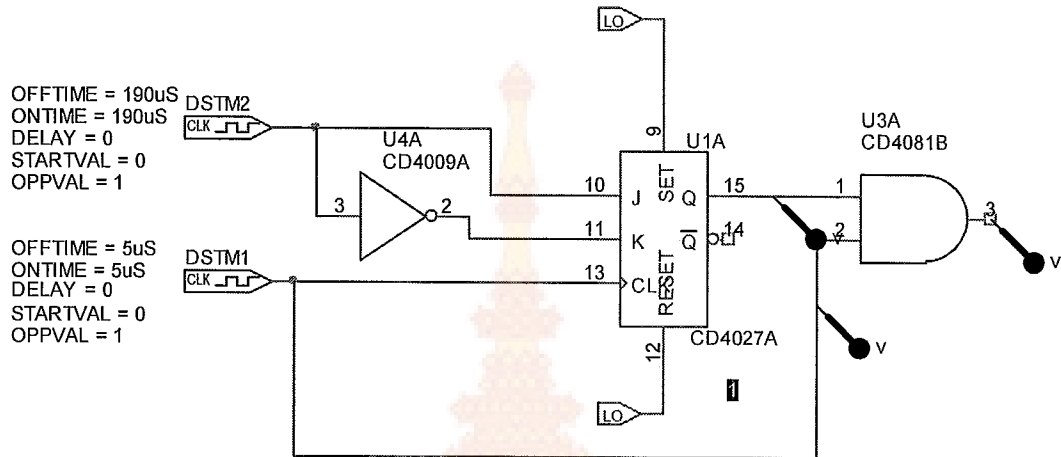


ภาพที่ 3.17 รูปคลื่นแรงดันสวิตช์ (S_1) และสวิตช์ (S_2) ของอินเวอร์เตอร์ (S_1 : 10 V/div, S_2 : 10 V/div and Time: 10 μ s / div.)

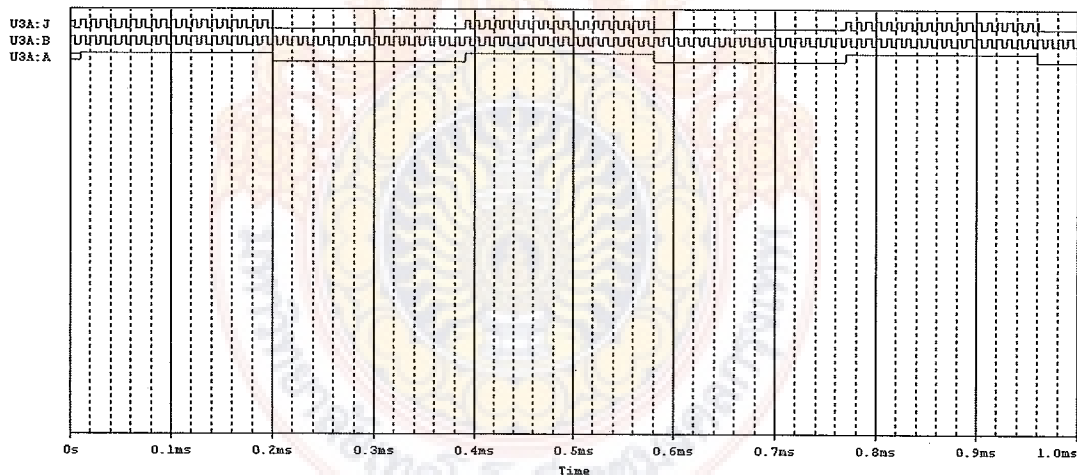
จากการจำลองการทำงานตามเงื่อนไขในภาพที่ 3.14 และรูปคลื่นดังภาพที่ 3.15-3.17 นั้น แสดงให้เห็นได้ว่าวงจรนี้สามารถทำงานได้และสามารถปรับกำลังไฟฟ้าด้วยวิธีนี้ได้จริง

3.9.1 ผลการจำลองการทำงานของวงจรชิ้นค์

เนื่องจากงานวิจัยนี้ต้องการนำการควบคุมแบบปรับความหนาแน่นของพัลส์มาเพื่อปรับกำลังของอินเวอร์เตอร์ ดังนั้นเพื่อให้การออกแบบวงจรควบคุมเป็นไปได้อย่างมีประสิทธิภาพจึงจำเป็นทดลองซึ่งมุ่งเล็ตก่อนโดยใช้โปรแกรม orcad pspice รุ่น evaluate



ภาพที่ 3.1.8 วงจรควบคุมจำลองการทำงาน

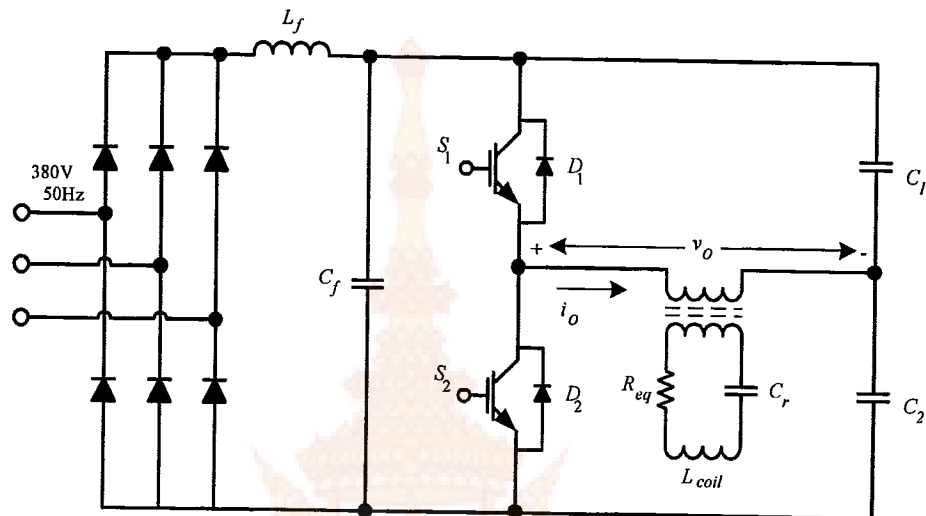


ภาพที่ 3.1.9 สัญญาณขับเกตแบบควบคุมความหนาแน่นของพัลส์

บทที่ 4

การทดสอบเครื่องเหนี่ยวนำความร้อนเพื่อชับแข็งผิว

ทำการทดสอบเครื่องเหนี่ยวนำความร้อนเพื่อชับแข็งผิวที่มีโครงสร้างดังภาพที่ 4.1



ภาพที่ 4.1 โครงสร้างเครื่องเหนี่ยวนำความร้อนเพื่อชับแข็งผิว

ความถี่สวิตซ์อยู่ในการทดสอบอยู่ในย่าน $21 - 24 \text{ kHz}$ ค่าพารามิเตอร์ที่ใช้ในการทดสอบ มีดังนี้ แรงดันที่จ่ายเข้าสู่จารเรียงกระแส $V_{in} = 380V$, $L_f = 34\mu H$, $C_f = 1.5\mu F$, $C_r = 6\mu F$, $L_{coil} = 10.2\mu H$ และ $R_{eq} = 0.181\Omega$ ทดสอบโดยการให้ความร้อนกับชิ้นงานทรงกระบอกเส้นผ่าศูนย์กลางขนาด 75 mm สูง 74 mm . ทำการบันทึกรูปคลื่นแรงดันด้านออกของอินเวอร์เตอร์ (v_o) กระแสเด้านอกของอินเวอร์เตอร์ (i_o) กำลังไฟฟ้าทางด้านนอกของอินเวอร์เตอร์ (P_{out}) แรงดันที่ขัดเหนี่ยวนำ (v_{coil}) และกระแสที่ขัดเหนี่ยวนำ (i_{coil}) แรงดันที่หลังหม้อแปลงไฟฟ้า (v_{tran}) และกระแสที่หลังหม้อแปลงไฟฟ้า (i_{tran})

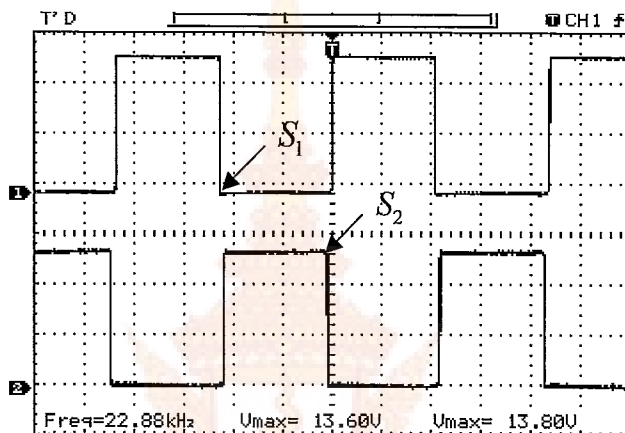
เครื่องมือวัดที่ใช้ในการเก็บผลการทดสอบมีดังนี้

1. ออสซิลโลสโคป ยี่ห้อ Agilent Technologies รุ่น DSO3062A
2. เครื่องวัดอุณหภูมิอินฟารेड ยี่ห้อ Sentry รุ่น ST677 Infrared Thermometer
3. โพรบวัดกระแส ยี่ห้อ FLUKE รุ่น 80i-110s
4. เครื่องวัดกำลังไฟฟ้า ยี่ห้อ FLUKE รุ่น Power Quality Analyzer 434
5. เครื่องวัดความร้อน ยี่ห้อ FLUKE รุ่น Ti25 Thermal Imager

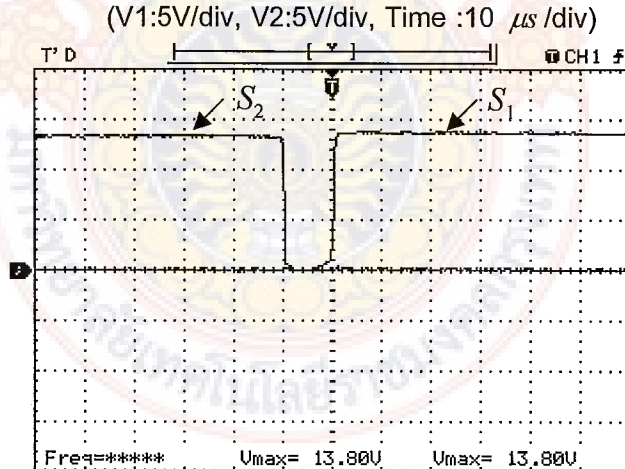
4.1 การทดสอบภาคควบคุมการทำงานของอินเวอร์เตอร์

4.1.1 สัญญาณขับเกตของไอจีบีที่ในวงจรอินเวอร์เตอร์แบบครึ่งบริดจ์

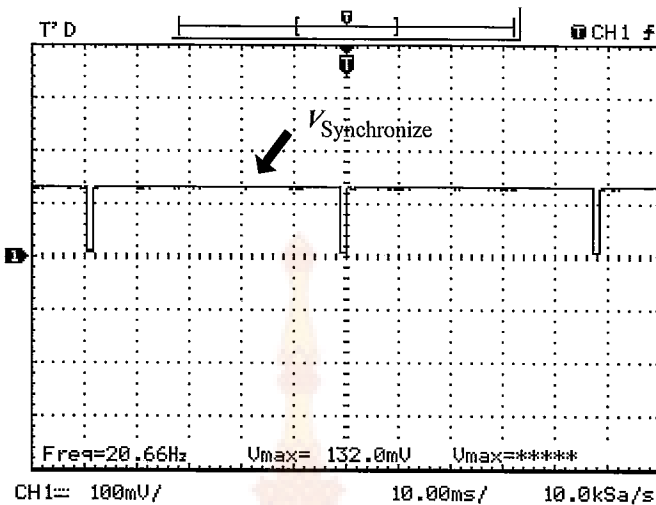
การทดสอบสัญญาณขับเกตของไอจีบีที่ทั้งสองตัวนั้นจะต้องมีช่องว่างของ Dead time อยู่เล็กน้อยเพื่อบริการลัดวงจรของอินเวอร์เตอร์ โดยในที่นี้มีค่าอยู่ประมาณ $1 \mu\text{s}$ ซึ่งหมายความว่า Turn-on delay time และ Turn-off delay time ของไอจีบีที่ ลักษณะสัญญาณขับปุ๊กๆ ไอจีบีที่ทั้งสองตัวที่ได้จากการวัด แสดงในภาพที่ 4.1 โดยในช่วงสัญญาณ ON มีขนาด 10 V ส่วนในสัญญาณช่วง OFF มีค่าเป็น -5 V



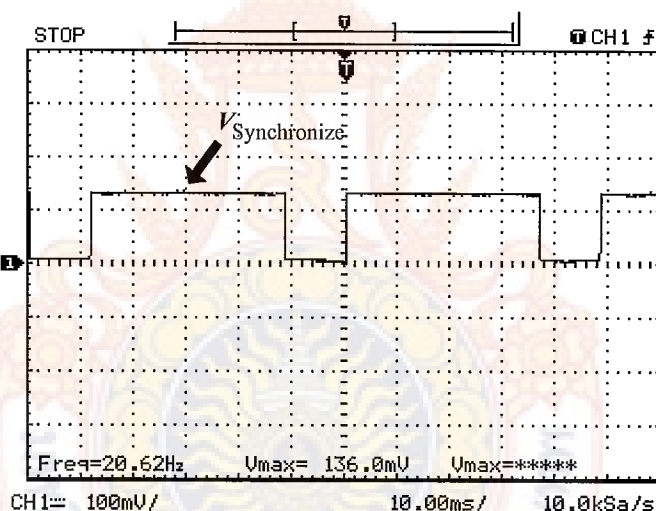
ภาพที่ 4.2 สัญญาณขับไอจีบีที่ 2 ตัวในอินเวอร์เตอร์แหล่งจ่ายแรงดันครึ่งบริดจ์



ภาพที่ 4.3 สัญญาณขับไอจีบีที่ 2 ตัวและแสดงช่วง Dead Time
(V1:5V/div, V2:5V/div, Time :1 μs /div)



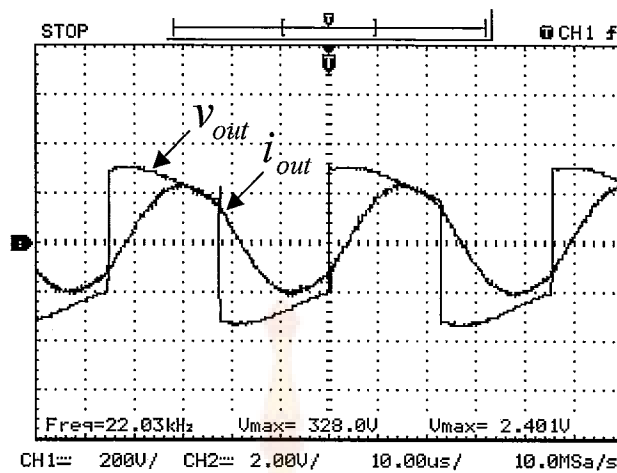
ภาพที่ 4.4 แสดงสัญญาณซิงค์ที่ดิวตี้ไซเคิล 96% (แรงดัน $V_{\text{Synchronize}}$: 12V ที่ 10ms)



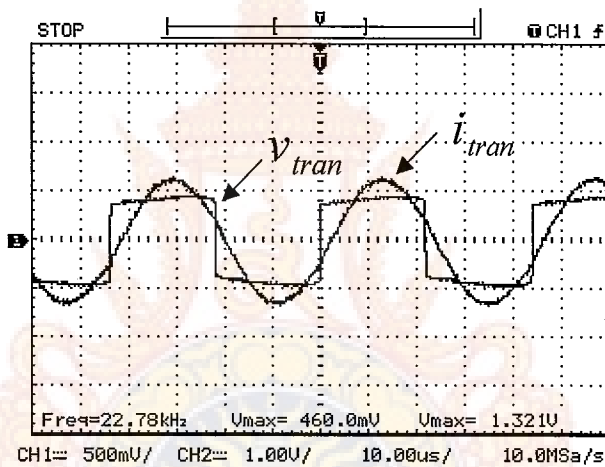
ภาพที่ 4.5 แสดงสัญญาณซิงค์ที่ดิวตี้ไซเคิล 80% (แรงดัน $V_{\text{Synchronize}}$: 12V ที่ 10ms)

4.2 การทดสอบภาคควบคุมกำลัง

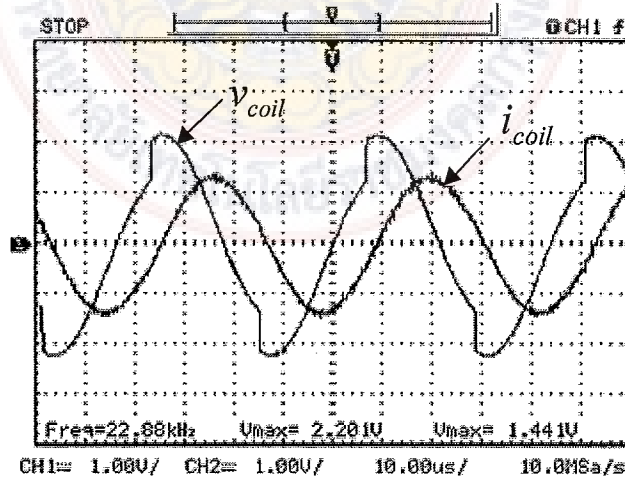
จุดประสงค์เพื่อตรวจสอบการทำงานของวงจรควบคุมกำลัง ว่าสามารถปรับเปลี่ยนกำลังไฟฟ้าโดยการควบคุมกระแสที่โหลดได้ ซึ่งการควบคุมให้อินเวอร์เตอร์ทำงานที่สูงกว่าความถี่เรโซแนนซ์ตลอดเวลา และที่ความถี่การทำงานใกล้กับความถี่เรโซแนนซ์โหลดจะได้รับกระแสสูงสุด และค่ากระแสที่โหลดจะลดลงเรื่อยๆ เมื่อการทำงานของอินเวอร์เตอร์สูงกว่าความถี่เรโซแนนซ์มากๆ ซึ่งอยู่ในสภาวะเฟสของแรงดันนำหน้ากระแส การทดลองปรับกำลังไฟฟ้าขาเข้า 4 kW ผลการวัดรูปคลื่นเฟสแรงดันและกระแสเด้งภาพที่ 4.4 และวัดรูปคลื่นเฟสแรงดันและกระแสหลังหม้อแปลงความถี่สูงดังภาพที่ 4.5



ภาพที่ 4.6 รูปคลื่นกระแสและแรงดันเอาต์พุตที่กำลังไฟฟ้าเข้า 4 kW
(V:200V/div, I:20A/div, Time:10 μ s /div)



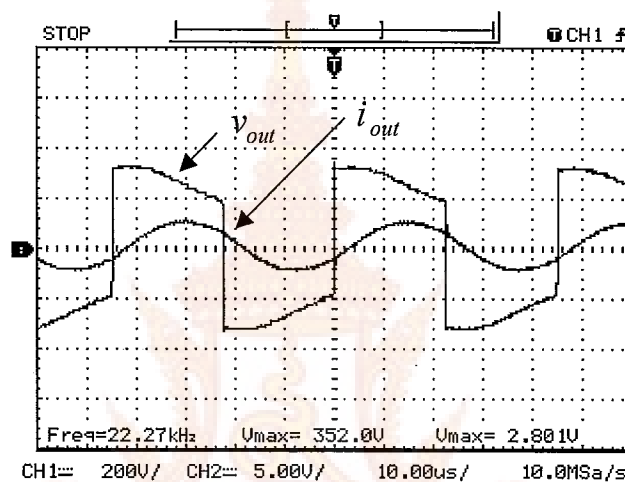
ภาพที่ 4.7 รูปคลื่นกระแสและแรงดันหลังหม้อแปลงความถี่สูงที่กำลังไฟฟ้าเข้า 4 kW
(V:50V/div, I:100A/div, Time:10 μ s /div)



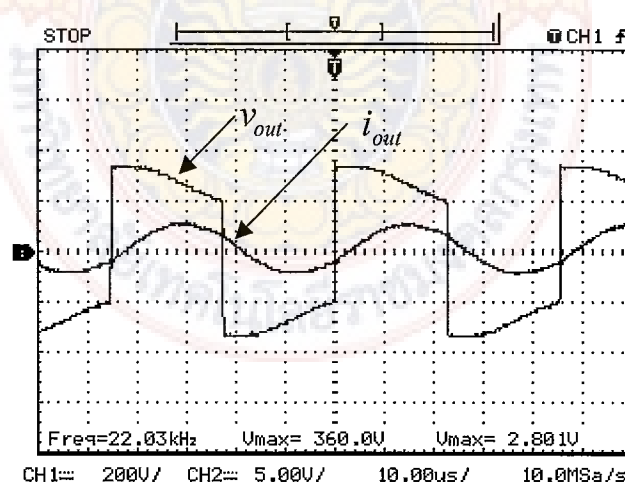
ภาพที่ 4.8 รูปคลื่นกระแสและแรงดันที่ขดลวดเหนี่ยวนำที่กำลังไฟฟ้าเข้า 4 kW
(V:100V/div, I:100A/div, Time:10 μ s /div)

4.3 การทดสอบการควบคุมกระแสไฟฟ้า

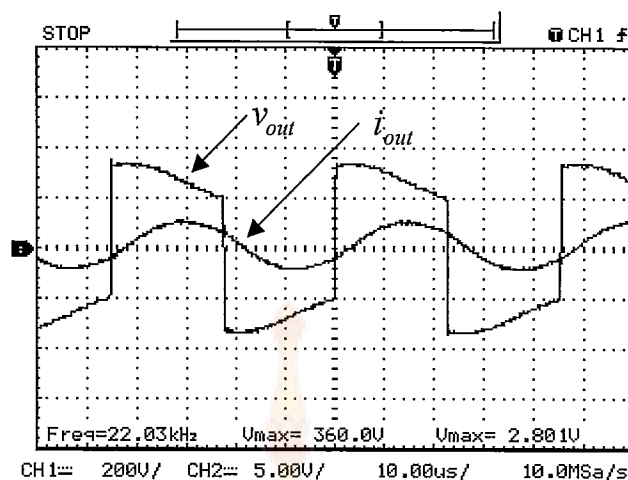
จุดประสงค์เพื่อทดสอบการควบคุมการทำงานของอินเวอร์เตอร์ให้มีกระแสเดันข้าออกให้ไม่เกินจากค่าที่ตั้งไว้โดยการเลื่อนมุ่งเฟสระหว่างแรงดันกับกระแสออกไปเมื่อมีการเปลี่ยนแปลงคุณสมบัติของชิ้นงาน เช่น ความต้านทานจำเพาะและความซึมซาบแม่เหล็กสัมพันธ์ ทำให้ค่าพารามิเตอร์เปลี่ยนแปลง การทดสอบวัดอุณหภูมิตั้งแต่เริ่มตั้งแต่ $200 - 900^{\circ}\text{C}$ โดยควบคุมให้การทำงานของอินเวอร์เตอร์มีมุ่งเฟสของแรงดันนำหน้ากระแสที่ เพื่อทำการทดสอบวงจรติดตามเฟสเมื่อค่าพารามิเตอร์ของโหลดมีการเปลี่ยนแปลงตามอุณหภูมิ



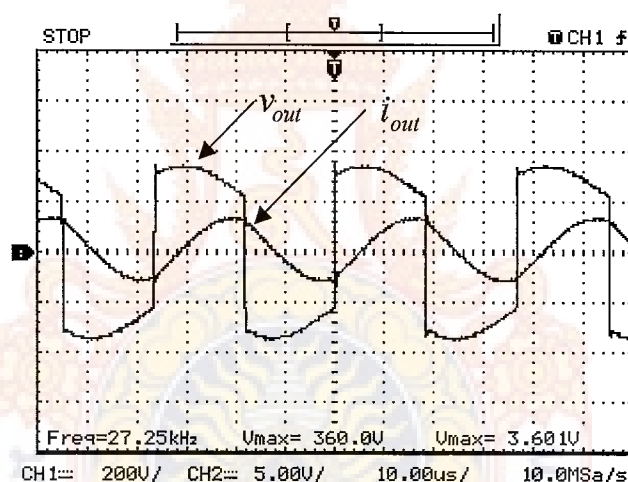
ภาพที่ 4.9 รูปคลื่นกระแสกับแรงดันที่โหลด ที่อุณหภูมิ 200°C
(V:200V/div, I:50A/div, Time:10 μs /div)



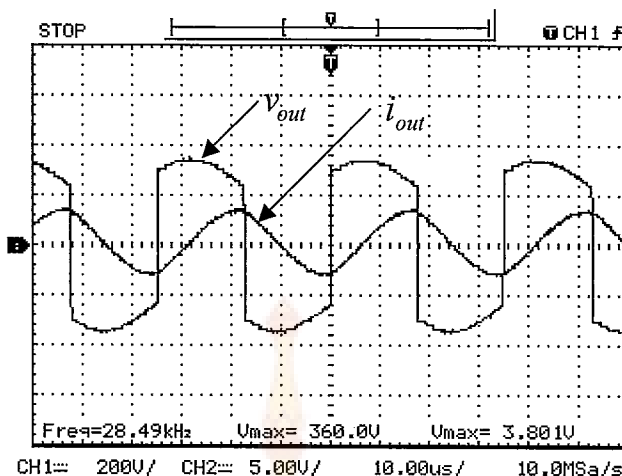
ภาพที่ 4.10 รูปคลื่นกระแสกับแรงดันที่โหลด ที่อุณหภูมิ 400°C
(V:200V/div, I:50A/div, Time:10 μs /div)



ภาพที่ 4.11 รูปคลื่นกระแสกับแรงดันที่โหลด ที่อุณหภูมิ 600 °C
(V:200V/div, I:50A/div, Time:10 μ s /div)



ภาพที่ 4.12 รูปคลื่นกระแสกับแรงดันที่โหลด ที่อุณหภูมิ 800 °C
(V:200V/div, I:50A/div, Time:10 μ s /div)



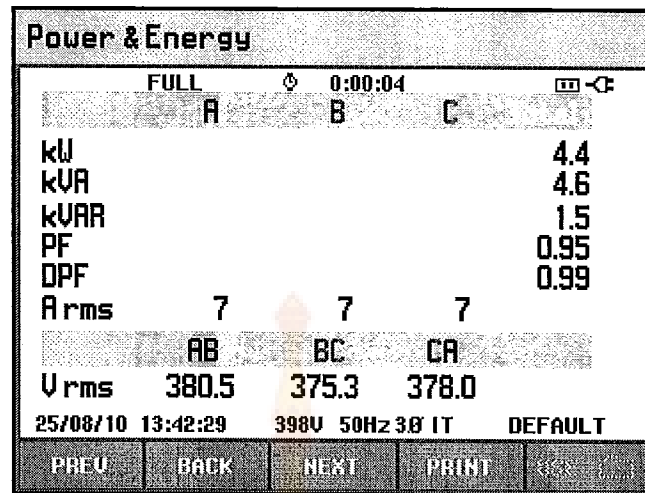
ภาพที่ 4.13 รูปคลื่นกระแสกับแรงดันที่โหลด ที่อุณหภูมิ 900°C
(V:200V/div, I:50A/div, Time:10 μs /div)

ตารางที่ 4.1 ผลการทดสอบวัดค่าต่างๆในการควบคุมกระแสไฟฟ้า

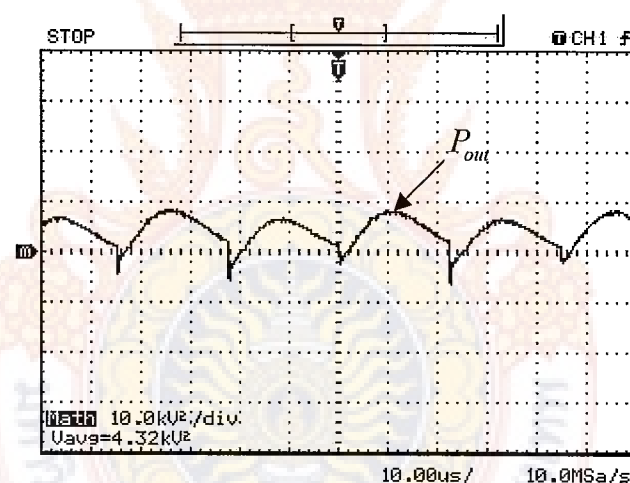
อุณหภูมิชิ้นงาน ($^{\circ}\text{C}$)	200	400	600	800	900
ความถี่การทำงาน (kHz)	22.27	22.03	22.03	27.25	28.49
มุมเฟส (องศา)	23.50	23.50	23.50	58	61.8
เวลา (นาที)	1.10	2.20	3.30	5.40	7.00
กระแสไฟฟ้าข้าออก (A)	28	28	28	36	38

4.4 การทดสอบกำลังไฟฟ้าและหาค่าประสิทธิภาพ

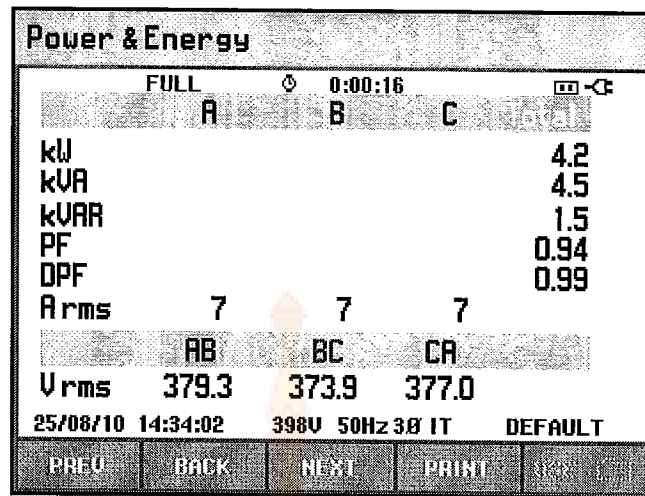
ทดสอบกำลังไฟฟ้าข้าเข้าและข้าออกเพื่อคำนวณหาค่าประสิทธิภาพของเครื่องเหนี่ยวน้ำ ความร้อนเพื่องานชุบแมงผิว โดยวัดกำลังไฟฟ้าข้าเข้าและข้าออก โดยจะทำการเก็บค่าสามครั้ง แล้วหาค่าเฉลี่ย



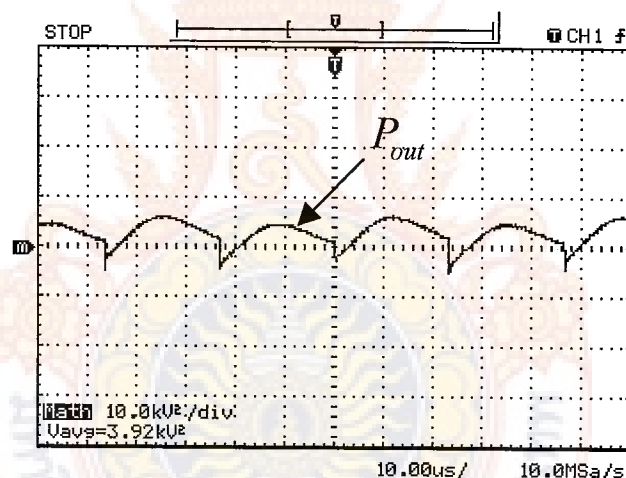
ภาพที่ 4.14 กำลังไฟฟ้าขาเข้าด้วยเครื่องวัดเพาเวอร์คุณลิตี้ อนาคตเซอร์ของฟลูครุ่น 434
ครั้งที่ 1



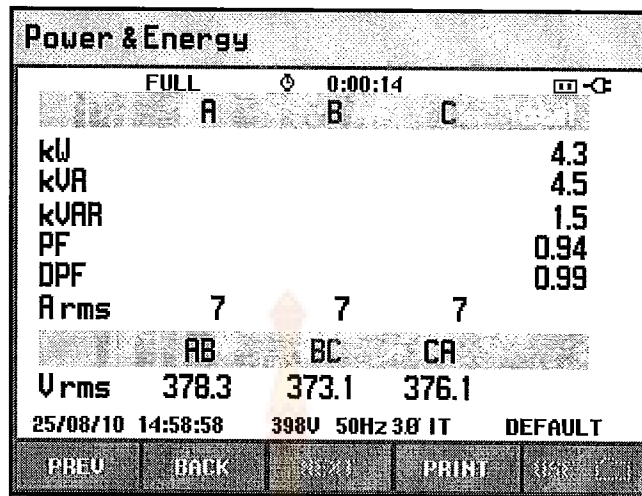
ภาพที่ 4.15 รูปคลื่นกำลังไฟฟ้าขาออก P_{out} ด้านออกของอินเวอร์เตอร์ครั้งที่ 1
(V:10 kW/div, Time:10 μs /div)



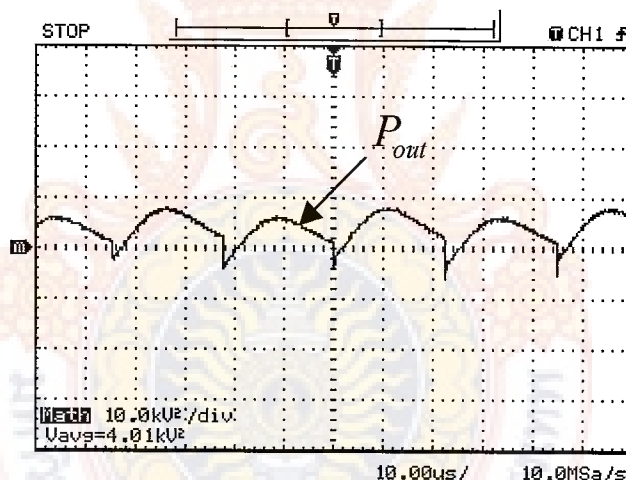
ภาพที่ 4.16 กำลังไฟฟ้าขาเข้าด้วยเครื่องวัดเพาเวอร์คาวอ�ิตี้ อน่าไลท์เซอร์ของฟลู้ครุ่น 434
ครั้งที่ 2



ภาพที่ 4.17 รูปคลื่นกำลังไฟฟ้าขาออก P_{out} ด้านอกของอินเวอร์เตอร์ครั้งที่ 2
(V:10 kW/div, Time:10 μ s /div)



ภาพที่ 4.18 กำลังไฟฟ้าขาเข้าด้วยเครื่องวัดเพาเวอร์คอลิติ์ อนาคตโซร์ของฟลูครุ่น 434
ครั้งที่ 3



ภาพที่ 4.19 รูปคลื่นกำลังไฟฟ้าขาออก P_{out} ด้านนอกของอินเวอร์เตอร์ครั้งที่ 3
(V:10 kW/div, Time:10 μ s /div)

จากการทดลองวัดกำลังไฟฟ้าขาเข้าและกำลังไฟฟ้าขาออกจะสามารถคำนวณค่าประสิทธิภาพของเครื่องได้จากสมการ

$$\eta = \frac{P_{out}}{P_{in}} \times 100$$

ตารางที่ 4.2 แสดงค่ากำลังไฟฟ้าขาเข้าและขาออกจากอินเวอร์เตอร์

จำนวนครั้ง	กำลังไฟฟ้าขาเข้า(kW)	กำลังไฟฟ้าขาออก (kW)	ค่าประสิทธิภาพ(%)
1	4.4	4.32	98
2	4.2	3.92	93
3	4.3	4.01	93

4.5 ทดสอบความร้อนของชิ้นงาน

ทำการทดสอบด้วยเครื่องวัดความร้อน (Fluke Ti25 Thermal Imager) ซึ่งวัดความร้อนได้ไม่เกิน 350°C ในรูปวัดความร้อนได้เกิน 357°C แต่สามารถแสดงให้เห็นความร้อนเป็นชั้นระดับความร้อนของชิ้นงานดังแสดงในภาพที่ 4.18



ภาพที่ 4.20 วัดความร้อนด้วยเครื่อง Fluke Ti25 Thermal Imager

ทำการทดสอบด้วยเครื่องวัดอุณหภูมิอินฟราเรด Sentry ST677 Infrared Thermometer ซึ่งสามารถติดความร้อนได้ถึง 1650°C จึงสามารถใช้ความร้อนของชิ้นงานได้แสดงในภาพที่ 4.19 - 4.20



ภาพที่ 4.21 วัดความร้อนก่อนทำการเหนี่ยวนำความร้อนด้วยเครื่องวัดอุณหภูมิอินฟราเรด



ภาพที่ 4.22 วัดความร้อนหลังการเหนี่ยวนำความร้อนด้วยเครื่องวัดอุณหภูมิอินฟราเรด

บทที่ 5

สรุปผลการทดสอบ

5.1 สรุปผลการทดสอบโครงงาน

ต้นแบบเครื่องเหนี่ยวนำความร้อนเพื่องานชุบแข็งผิวได้ออกแบบและสร้างขึ้นใช้กับแรงดันไฟฟ้า 3 Phase 380 V 50 Hz พิกัดกำลัง 4 kW โดยมีอิจิบีที่กำลังสวิตซ์ที่ความถี่ 22 – 60 kHz ทดสอบโดยการให้ความร้อนเหล็กเพื่องานชุบแข็งผิว

5.1.1 แหล่งจ่ายกำลังไฟฟ้า

จากการทดสอบการเหนี่ยวนำความร้อนที่ชิ้นงาน แหล่งจ่ายแรงดันสามารถปรับเปลี่ยนความถี่เพื่อให้กระแสไฟลดเพิ่มขึ้นหรือลดลงได้ สำหรับเครื่องเหนี่ยวนำความร้อนเพื่องานชุบแข็งผิวจะไม่สามารถปรับความถี่ได้ด้วยตนเอง แต่จะมีวงจรเฟสล็อกลูปในการปรับความถี่ให้สูงกว่าความถี่เรโซแนนซ์ตลอดช่วงการทำงาน

5.1.2 การทำงานของอินเวอร์เตอร์

จากการทดสอบการเหนี่ยวนำความร้อนที่ชิ้นงานที่อุณหภูมิ 900 °C อินเวอร์เตอร์ทำงานที่ความถี่สูงกว่าความถี่เรโซแนนซ์ตลอดช่วงเวลาทำงานโดยที่ความถี่เปลี่ยนแปลงไปตามสภาวะของโหลดมีค่าอยู่ในช่วง 22 – 28 kHz และอินเวอร์เตอร์ต้องทำงานที่สภาวะมีโหลดเท่านั้น

5.1.3 โหลดเรโซแนนซ์

เครื่องเหนี่ยวนำความร้อนเพื่องานชุบแข็งผิว ใช้โหลดเรโซแนนซ์แบบอนุกรมทำงานใกล้ความถี่เรโซแนนซ์ เพื่อให้ได้กระแสไฟฟ้าสูงสุดซึ่งประกอบด้วยขดลวดเหนี่ยวนำขนาด $10.2 \mu H$ ต่อนุกรมกับค่าปั๊มค่า $6 \mu F$ เมื่อทำงานที่สภาวะเรโซแนนซ์ค่า $X_L = X_C$ ทำให้ค่าอิมพีเดนซ์มีค่าต่ำกระแสไฟได้สูง $V_L = V_C$

สรุปการทำงานของเครื่องเหนี่ยวนำความร้อนเพื่องานชุบแข็งผิว สามารถให้ความร้อนชิ้นงานได้เป็นอย่างดี เมื่อชิ้นงานมีอุณหภูมิเริ่มต้นเท่ากับอุณหภูมิห้องที่ทำการทดสอบในการทดสอบอินเวอร์เตอร์มีการสวิตซ์ที่ความถี่สูงกว่าเรโซแนนซ์แบบอัตโนมัติและมุ่งเพสของกระแสล้าหลังแรงดัน 23.50° เมื่อสภาวะของชิ้นงานยังไม่เปลี่ยนแปลงและ 61.8° เมื่อชิ้นงานเปลี่ยนแปลงสภาวะโดยใช้วงจรเฟสล็อกลูปมาควบคุมมุ่งเพสการทำงานของอินเวอร์เตอร์ ไม่สามารถปรับกำลังไฟฟ้าได้ และมีการทำงานของสวิตซ์นำกระแสที่แรงดันเป็นศูนย์ทำให้การสูญเสียที่สวิตซ์น้อย และมีการควบคุมกระแสเกิน

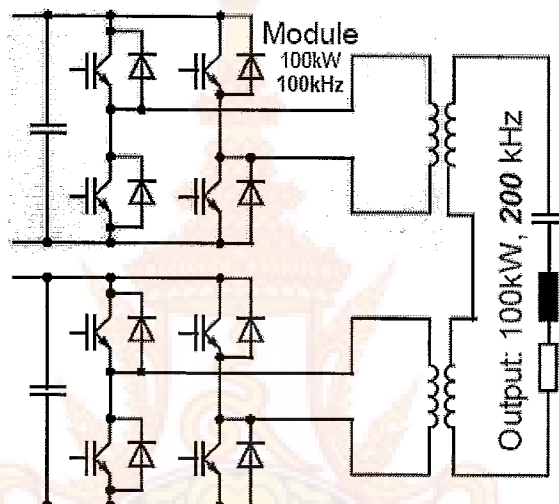
การประยุกต์ใช้การควบคุมแบบการปรับความหนาแน่นของพัลส์ในเครื่องให้ความร้อนแบบเหนี่ยวนำด้วยวงจร คริ่งบридจ์ มีประโยชน์ดังนี้

1. การควบคุมโดยวิธีนี้สามารถปรับกำลังได้จริงและอุณหภูมิแปลผันตามกำลังไฟฟ้าทำให้เครื่องให้ความร้อนแบบเหนี่ยวนำสามารถควบคุมอุณหภูมิได้
2. ทำให้เครื่องให้ความร้อนแบบเหนี่ยวนำมีประสิทธิภาพสูงสุดเพราะทำงานที่จุดใกล้เรซแนนซ์ตลอดเวลา
3. ทำให้วงจรมีขนาดเล็กลงเพราะมีการสูญเสียที่สวิตซ์น้อย ทำให้เกินความร้อนน้อย ดังนั้นวิธีการควบคุมแบบการปรับความหนาแน่นของพัลส์ที่ได้จากการงานวิจัยนี้จึงเป็นวิธีที่เหมาะสมและสามารถนำไปใช้ในการพัฒนาให้ความร้อนแบบเหนี่ยวนำอื่นๆ เช่น ทุบชิ้นรูปโลหะ งานเชื่อม หรืองานหลอมเป็นต้น

บทที่ 6

สรุปและเสนอแนะเกี่ยวกับการวิจัยขั้นต่อไป

งานวิจัยนี้สามารถนำไปประยุกต์ใช้กับงานต่างๆ เช่นงานทุบขึ้นรูปโลหะ งานเชื่อม เพื่อเพิ่มประสิทธิภาพ และยังทำให้ตัวเครื่องมีขนาดเล็กลงอีกด้วย สำหรับในงานวิจัยในอนาคตจะนำเอาหลักการนี้ไปเพิ่มกำลังและเพิ่มความถี่ โดยนำเอาวิธีการควบคุมที่ได้จากการวิจัยนี้ไปใช้ในอินเวอร์เตอร์แบบทบระดับ สำหรับงานให้ความร้อนแบบเหนี่ยววนิ่ว ที่มีลักษณะดังรูป



ภาพที่ 6.1 แสดงการต่อโมดูลอินเวอร์เตอร์แบบทบระดับสำหรับเพิ่มกำลังและความถี่

ข้อเสนอแนะสำหรับงานวิจัยนี้

- อุปกรณ์ระบายความร้อน (Heat-Sink) ที่ติดกับไอซีบีท้องมีการระบายความร้อนที่ดี เพราะถ้าไอซีบีที่มีอุณหภูมิสูงประสิทธิภาพการทอนกระแสจะลดลง
- หัวที่ใช้ในการระบายความร้อนของชุดเหนี่ยววนิ่มควรมีระบบหล่อเย็นที่ดี ถ้าหัวเกิดความร้อนจะทำให้ชุดเหนี่ยววนิ่มมีค่าความด้านทานเพิ่มขึ้นเมื่อผลทำให้กำลังไฟฟ้าลดลง
- สามารถทำการลดขนาดของเครื่องให้มีขนาดเล็กลงโดยการใช้ลักษณะติจิตอลแทนอนาคตอีกเพื่อความแม่นยำและมีประสิทธิภาพมากขึ้น
- ถ้าต้องการซุบแข็งให้ได้ชิ้นงานที่มีประสิทธิภาพตามมาตรฐานต้องนำเหล็กที่มีคาร์บอน 0.2% ขึ้นไป โดยกระบวนการซุบแข็งต้องเป็นไปตามขั้นตอนที่ถูกต้อง

บรรณาธิการ

- 1 วีระเชษฐ์ ขันเงิน / วุฒิพล ราารมย์เศรษฐ์ 2547. อิเล็กทรอนิกส์กำลัง **Power Electronics** ภาควิชาชีวกรรมไฟฟ้า คณะวิศวกรรมศาสตร์ สถาบันเทคโนโลยีพระจอมเกล้าเจ้าคุณทหารลาดกระบัง
- 2 ชัยณรงค์ หมายทอง และวิชิต กุญแจทอง. 2547. การให้ความร้อนแบบเหนี่ยวหนา. ปริญญา นพนธ์ วิศวกรรมศาสตรบัณฑิต คณะวิศวกรรมไฟฟ้า มหาวิทยาลัยเทคโนโลยีราชมงคลกรุงเทพ.
- 3 นภดล นุ่นงาม 2539. เครื่องให้ความร้อนแบบเหนี่ยวหนาชนิดปรับความถี่อัตโนมัติ. วิทยานิพนธ์ปริญญาวิศวกรรมศาสตร์บัณฑิต สาขาวิชาชีวกรรมไฟฟ้า คณะวิศวกรรมศาสตร์ มหาวิทยาลัยเทคโนโลยีพระจอมเกล้าพระนครเหนือ
- 4 สุนทร โ莲พันธ์ 2552. การขนาดโมดูลอินเวอร์เตอร์เพื่อเพิ่มกำลังเอาท์พุท ปริญญา นพนธ์ปริญญาวิศวกรรมศาสตร์บัณฑิต สาขาวิชาชีวกรรมไฟฟ้า คณะวิศวกรรมศาสตร์ มหาวิทยาลัยเทคโนโลยีพระจอมเกล้าธนบุรี
- 5 สายชล ชุดเจ้อจีน 2547. เครื่องให้ความร้อนแบบเหนี่ยวหนาโดยใช้อินเวอร์เตอร์ แหล่งจ่ายกระแสแบบเติมบริจจ์สำหรับงานขึ้นรูปโลหะ วิทยานิพนธ์ปริญญา วิศวกรรมศาสตร์บัณฑิต สาขาวิชาชีวกรรมไฟฟ้า คณะวิศวกรรมศาสตร์ มหาวิทยาลัยเทคโนโลยีพระจอมเกล้าธนบุรี
- 6 สิทธิโชค สินรัตน์ 2545. การวิเคราะห์เตาหุงต้มเหนี่ยวหนาความถี่สูงชนิดควบคุม กำลังไฟฟ้าด้วยความถี่ วิทยานิพนธ์ปริญญาวิศวกรรมศาสตร์บัณฑิต สาขาวิชาชีวกรรมไฟฟ้า คณะวิศวกรรมศาสตร์ สถาบันเทคโนโลยีพระจอมเกล้าเจ้าคุณทหารลาดกระบัง
- 7 M. Kamli, S. Yamamoto, and M. Abe, 1996, "A 50-150 kHz Half- Bridge Inverter for induction heating Application", **IEEE Transactions on Industrial Electronics**, Vol. 43, No. 1, pp. 163-172.

- 8 S. Chudjuarjeen, C. Koompai and V. Monyakul, 2004, "Full-bridge current-fed inverter with automatic frequency control for forging application", **IEEE Tencon Conference**, 21-24 November, Vol. 4, pp.128-131.
- 9 P. Viriya, S. Sittichok, K. Matsuse, 2002, "Analysis of High-Frequency Induction Cooker with Variable Frequency Power Control", **IEEE Power Conversion Conference**, 5-10 April, Osaka, pp. 1507 - 1502.
- 10 Nam-Ju Park, Dong-Yun Lee, and Dong-Seok Hyun, 2007, "A Power-Control Scheme with Constant Switching Frequency in Class-D Inverter for Induction Heating Jar Application", **IEEE Transactions on Industrial Electronics**, vol. 54, no. 3, pp. 1252-1260.
- 11 Ahmed, N, 2010, "High Frequency Soft Switching AC Conversion Circuit with Dual Mode PWM/PDM Control Strategy for High Power IH Applications", **IEEE Transactions on Industrial Electronics**, no..
- 12 L. Grajales and F. C. Lee, 1995, "Control system design and small-signal analysis of a phase-shift controlled series-resonant inverter for induction heating", **the 26th Annual IEEE Power Electronics Specialists Conference**, vol. 1, pp. 450-456.
- 13 Dudrik, J. Trip and N.-D., 2010, "Soft-Switching PS-PWM DC-DC Converter for Full-Load Range Applications", **IEEE Transactions on Industrial Electronics**, vol. 57, no. 8, pp.2807 – 2814.
- 14 X. Ruan, W. Chen, L. Cheng, C. K. Tse, H. Yan and T. Zhang, 2009, "Control Strategy for Input-Series–Output-Parallel Converter", **IEEE Transactions on Industrial Electronics**, vol. 56, no. 4, pp. 1174-1185.
- 15 P. Imbertson and N. Mohan, 1997, "New directions in dc-dc power conversion based on idealized concepts leading ultimately to the asymmetrical duty-cycle

- power converter", **IEEE Transactions on Circuit and Systems**, vol. 44, pp. 722–727.
- 16 D. J. Tschirhart and P. K. Jain, 2008, "A CLL resonant asymmetrical pulse width modulated converter with improved efficiency", **IEEE Transactions on Industrial Electronics**, vol. 55, no. 1, pp. 114–122.
- 17 T. Mishima, M. Nakaoka, 2009, "A Novel High-Frequency Transformer-Linked Soft-Switching Half-Bridge DC-DC Converter with Constant-Frequency Asymmetrical PWM Scheme", **IEEE Transactions on Industrial Electronics**, vol. 56, no. 8, pp. 2961-2969.
- 18 M. S. Agamy, P. K. Jain, 2009, "A Three-Level Resonant Single-Stage Power Factor Correction Converter: Analysis, Design, and Implementation", **IEEE Transactions on Industrial Electronics**, vol. 56, no. 6, pp. 2095-2107.
- 19 J. M. Burdío, L. A. Barragán, F. Monterde, D. Navarro, and J. Acero, 2004, "Asymmetrical voltage-cancellation control for full-bridge series resonant inverters," **IEEE Transactions on Power Electronics**, vol. 19, no. 2, pp. 461–469.
- 20 J. I. Artigas, I. Urriza, J. Acero, L. A. Barragán, D. Navarro, and J. M. Burdío, 2009, "Power measurement by output-current integration in series resonant inverters", **IEEE Transactions on Industrial Electronics**, vol. 56, no. 2, pp. 559-567.
- 21 S. Chudjuarjeen, and C. Koompai, 2008, "Asymmetrical control with Phase Lock Loop for Induction Cooking Appliances", **the 5th International Conference on Electrical/Electronics, Computer, Telecommunications, and Information Technology Conference**, Krabi, Thailand, May 14-17, pp. 1013-1016

- 22 P. Viriya, N. Yongyuth, and K. Matsuse, 2008, "Analysis of two continuous control regions of conventional phase shift and transition phase shift for induction heating inverter under ZVS and non-ZVS," **IEEE Transactions on Power Electronics**, vol. 23, no. 6, pp. 2794–2804.
- 23 L. Sung-Sae and M. Gun-Woo, 2008, "Full ZVS-range transient current buildup half-bridge converter with different ZVS operations to load variation," **IEEE Transactions on Industrial Electronics**, vol. 55, no. 6, pp. 2557–2559.
- 24 O. Lucía, J. M. Burdio, I. Millán , J. Acero, and D. Puyal, 2009, "Load-Adaptive Algorithm of Half-Bridge Series Resonant Inverter for domestic Induction Heating," **IEEE Transactions on Industrial Electronics**, vol. 56, no. 8, pp. 3106–3116.
- 25 J. L. Russi, M. L. S. Martins, and H. L. Hey, 2008, "Coupled-filter-inductor soft-switching techniques: Principles and topologies," **IEEE Transactions on Industrial Electronics**, vol. 55, no. 9, pp. 3361–3373.
- 26 Z. Zhang, W. Eberle, Y.-F. Liu and P. C. Sen, 2009, "A Nonisolated ZVS Asymmetrical Buck Voltage Regulator Module With Direct Energy Trans," **IEEE Transactions on Industrial Electronics**, vol. 56, no. 8, pp. 3096-3105.
- 27 C. S. Moo, K. H. Lee, H. L. Cheng and W. M. Chen, "A Single-Stage High-Power-Factor Electronic Ballast With ZVS Buck-Boost Conversion, 2009", **IEEE Transactions on Industrial Electronics**, vol. 56, no. 4, pp. 1136-1146.
- 28 S.-H. Park, G.-R. Cha, Y.-C. Jung and C.-Y. Won, 2010, "Design and Application for PV Generation System Using a Soft-Switching Boost Converter With SARC," **IEEE Transactions on Industrial Electronics**, vol. 57, no. 2, pp. 515-522.

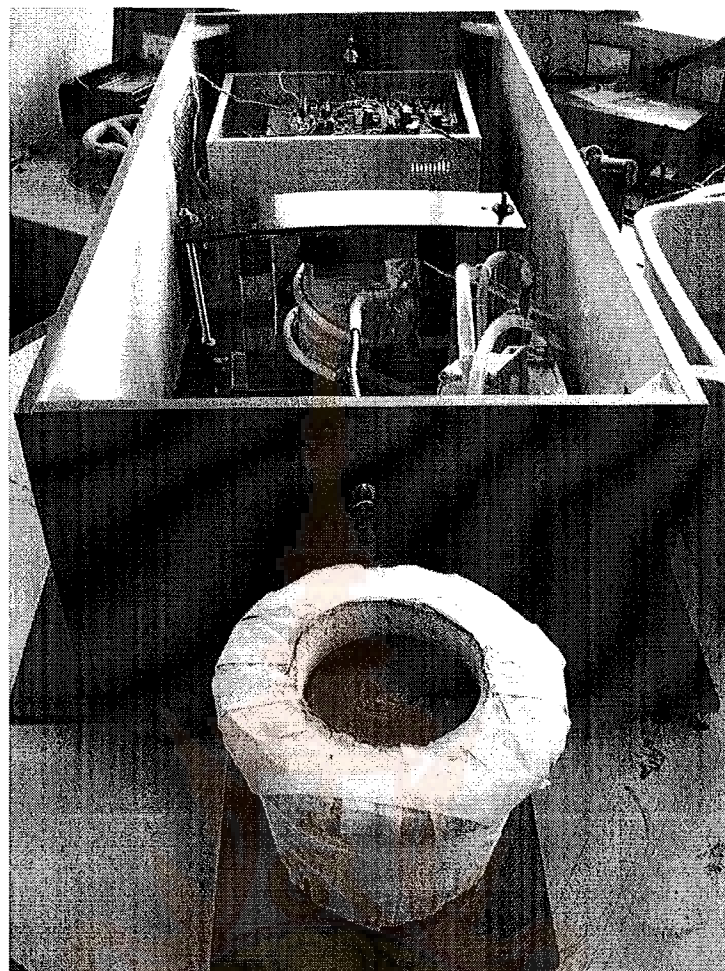
- 29 Kagimoto, H., Miyagi, D., Takahashi, N., Uchida, N., Kawanaka, K., 2010, "Effect of Temperature Dependence of Magnetic Properties on Heating Characteristics of Induction Heater", **IEEE Transactions on Magnetics**, Vol. 46, No. 8, pp. 3018-3021.



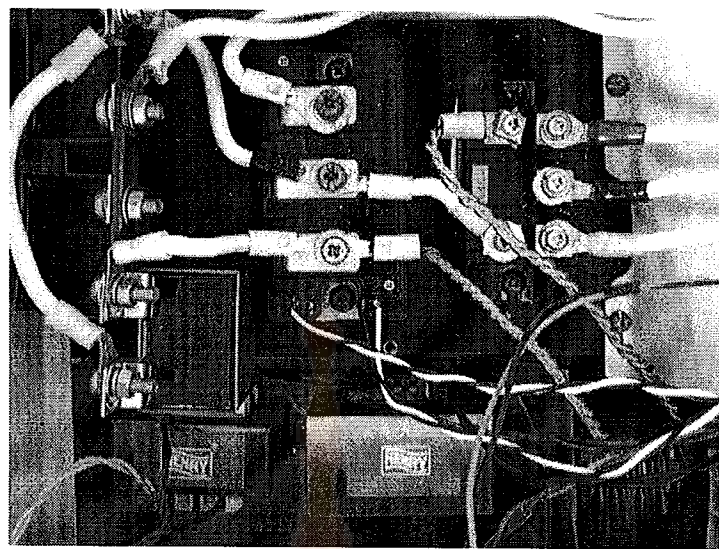
ภาคผนวก ก

ภาพส่วนต่าง ๆ ของต้นแบบเครื่องหนี่ยวนำความร้อนเพื่องานชุบแข็งผิวและ
เครื่องมือวัดที่ใช้ในการทดสอบ

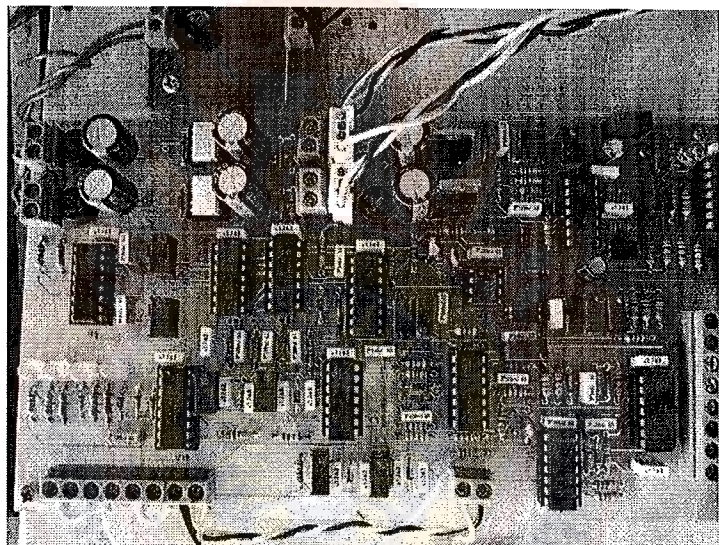




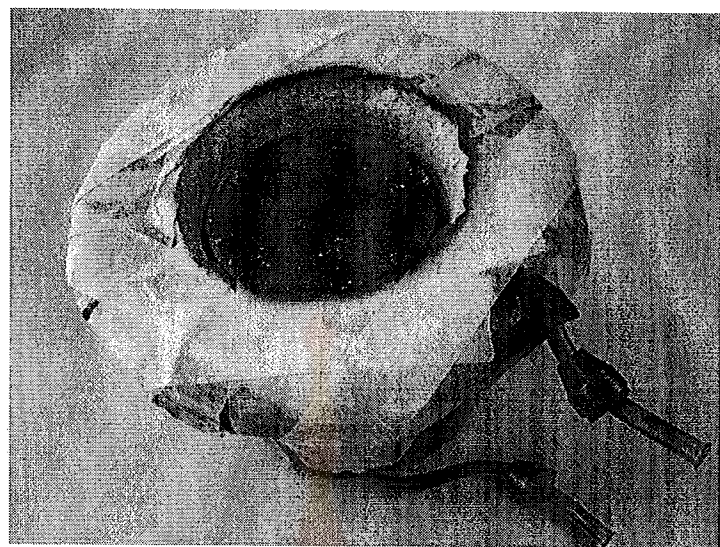
ภาพภาคผนวกที่ ก.1 ภาพถ่ายโดยรวมของเครื่องตันแบบ



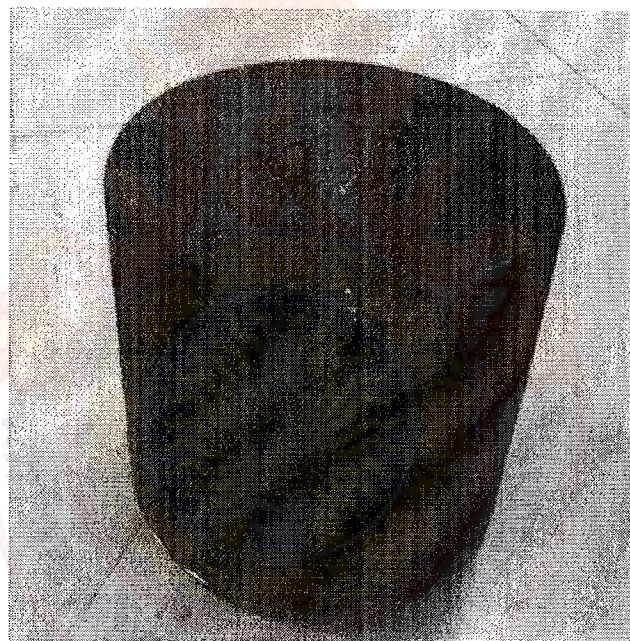
ภาพภาคผนวกที่ ก.2 ภาพถ่ายชุดกำลังของเครื่องเห็นี่ยวนำความร้อนเพื่องานซับแข็งผิว



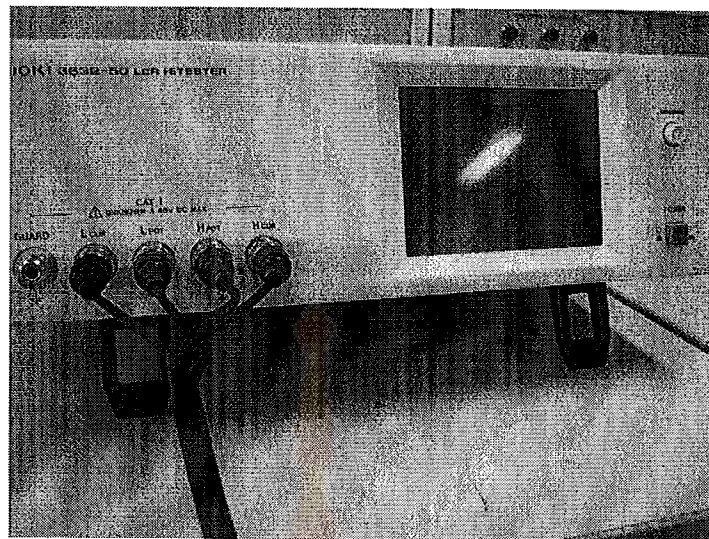
ภาพภาคผนวกที่ ก.3 ภาพถ่ายชุดควบคุมของเครื่องเห็นี่ยวนำความร้อนเพื่องานซับแข็งผิว



ภาพภาคผนวกที่ ก.4 ชุดเหนี่ยวนำความร้อน



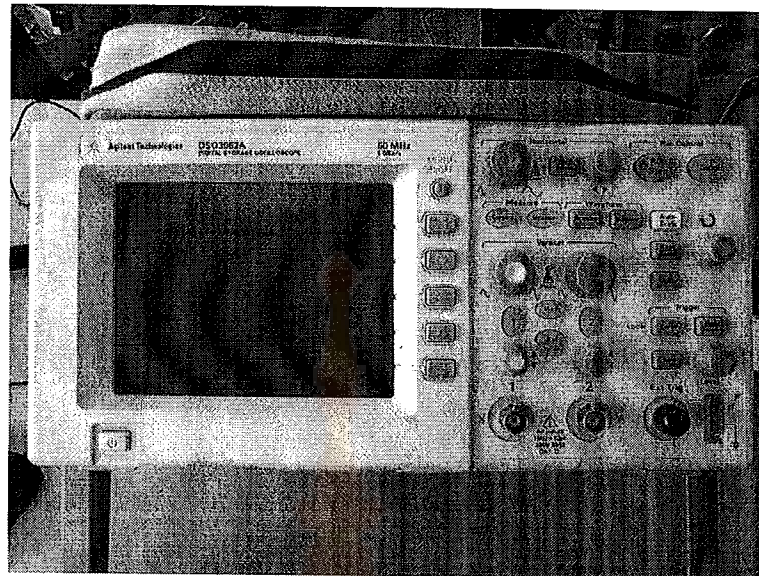
ภาพภาคผนวกที่ ก.5 ชิ้นงาน



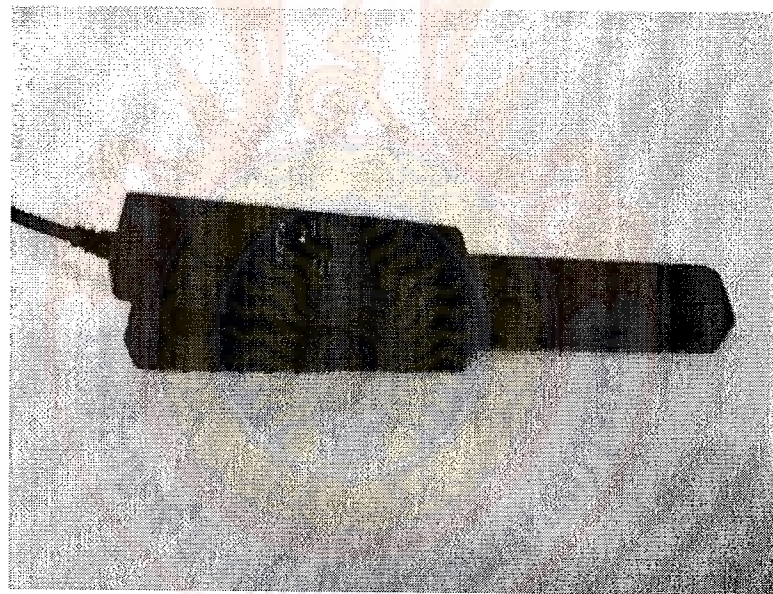
ภาพภาคผนวกที่ ก.6 เครื่องวัดค่า LCR ยี่ห้อ Hioki รุ่น 3532-50 LCR HiTester



ภาพภาคผนวกที่ ก.7 CT สำหรับวัดกระแสไฟฟ้าต้านออกจากอินเวอร์เตอร์



ภาพภาคผนวกที่ ก.8 ออสซิลโลสโคป ยี่ห้อ Agilent Technologies รุ่น DSO3062A



ภาพภาคผนวกที่ ก.9 โพรบวัดกระแส ยี่ห้อ FLUKE รุ่น 80i-110s



ภาพภาคผนวกที่ ก.10 เครื่องวัดอุณหภูมิอินฟราเรด ยี่ห้อ Sentry รุ่น ST677 Infrared Thermometer



ภาพภาคผนวกที่ ก.11 เครื่องวัดกำลังไฟฟ้ายี่ห้อ FLUKE รุ่น Power Quality Analyzer 434



ภาพภาคผนวกที่ ก.12 เครื่องวัดความร้อนยีห้อ FLUKE รุ่น Ti25 Thermal Imager





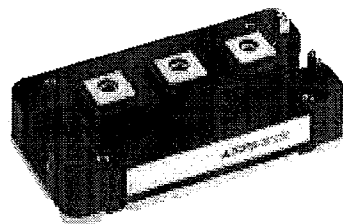
ภาคผนวก ข

ข้อมูลอุปกรณ์

MITSUBISHI IGBT MODULES
CM150DY-24NF

HIGH POWER SWITCHING USE

CM150DY-24NF



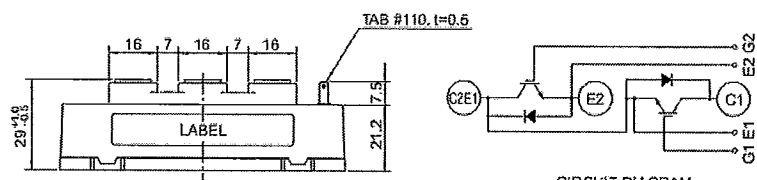
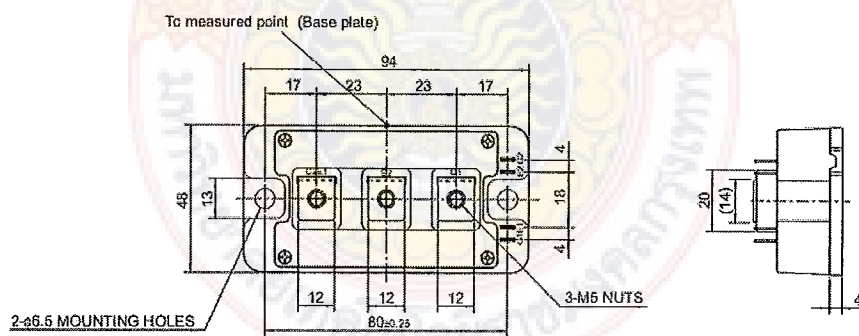
- I_C 150A
- V_{CES} 1200V
- Insulated Type
- 2-elements in a pack

APPLICATION

General purpose inverters & Servo controls, etc

OUTLINE DRAWING & CIRCUIT DIAGRAM

Dimensions in mm



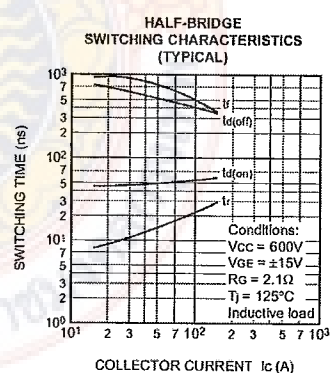
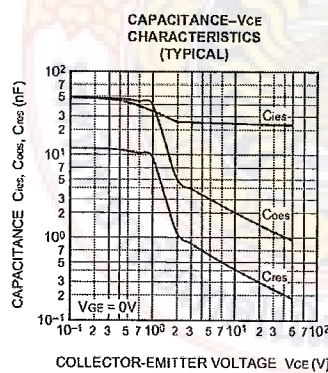
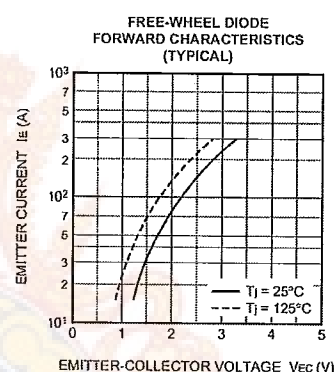
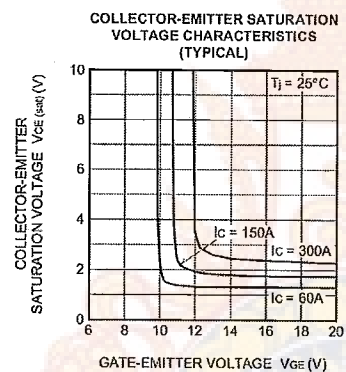
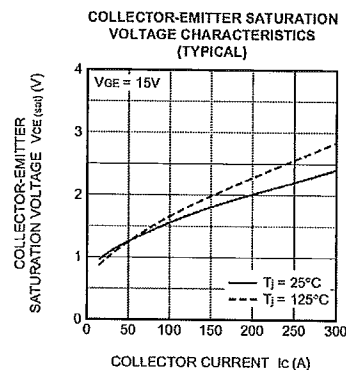
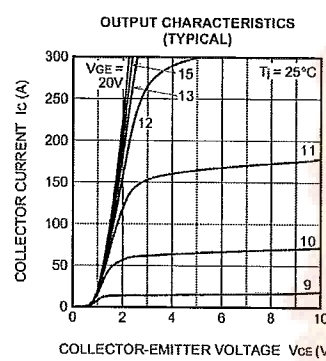
Jul.2004

MITSUBISHI IGBT MODULES

CM150DY-24NF

HIGH POWER SWITCHING USE

PERFORMANCE CURVES

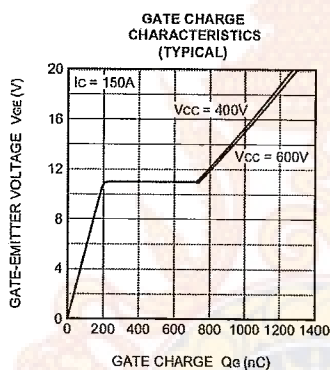
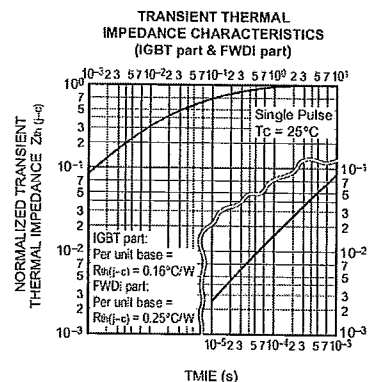
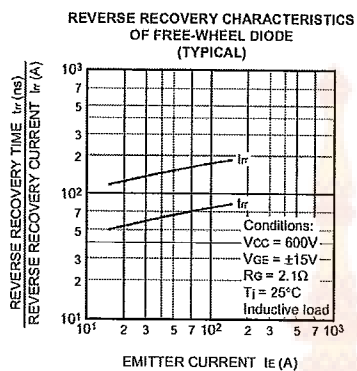


Jul.2004

MITSUBISHI IGBT MODULES

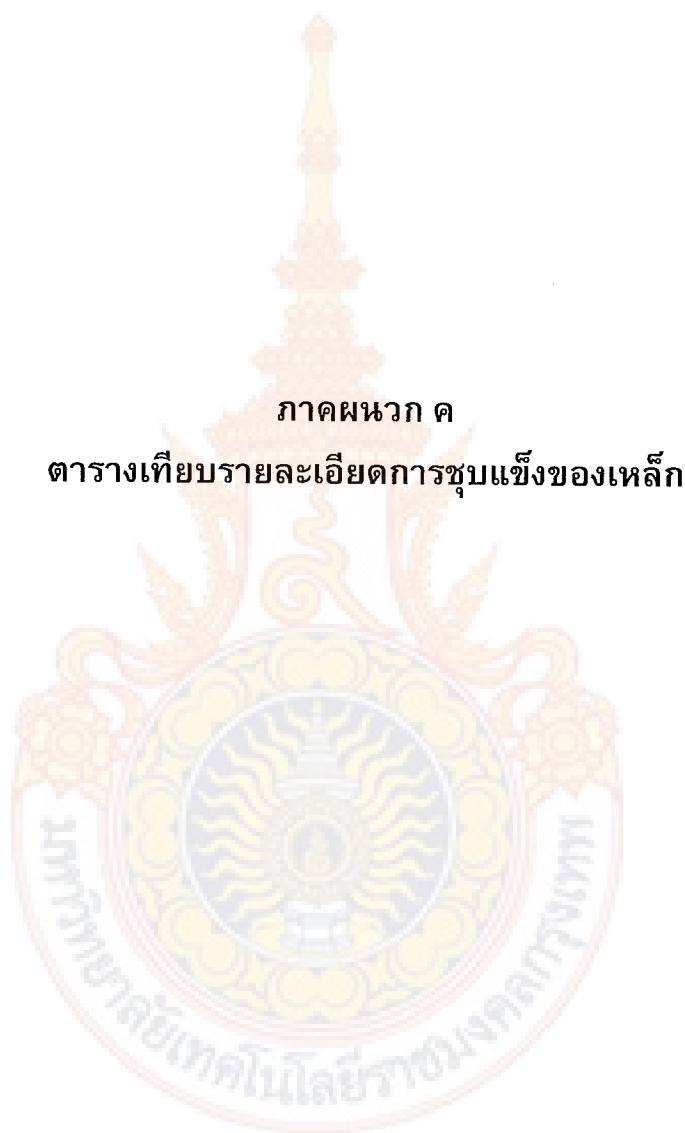
CM150DY-24NF

HIGH POWER SWITCHING USE



Jul.2004



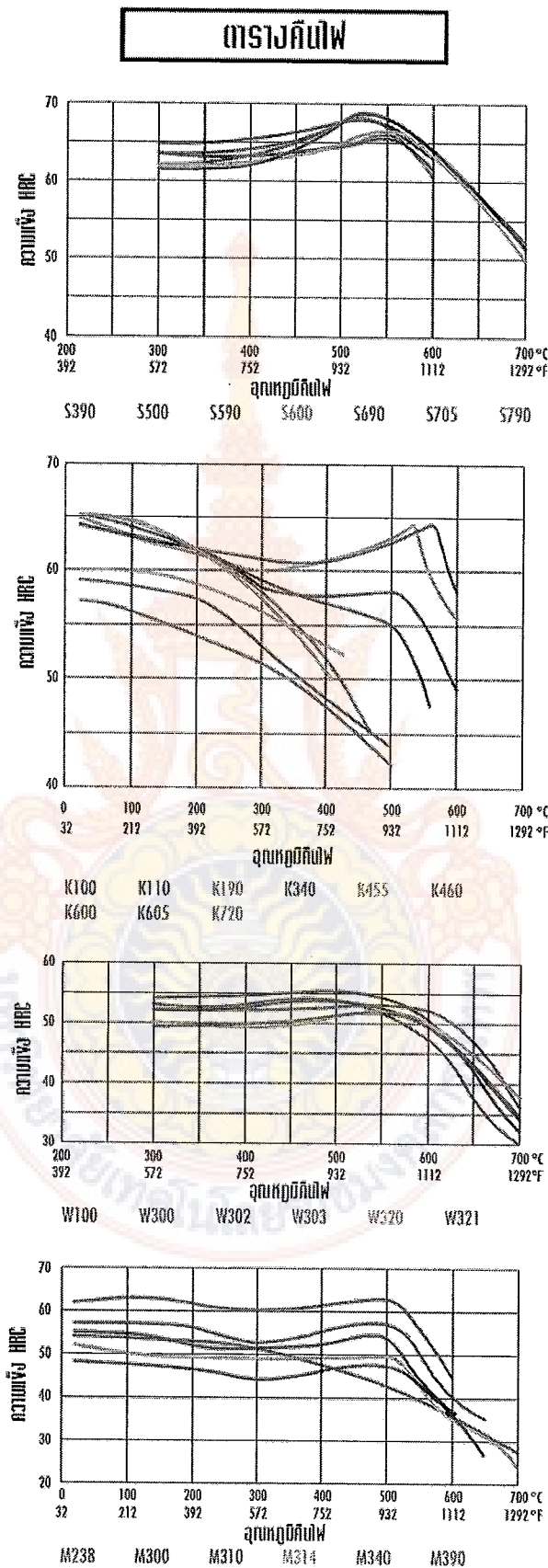




DIN	AISI	JIS	BS	อุณหภูมิ เข็มบวม °C	อุณหภูมิ อบไห้อ่อน °C
1.3343 S6-5-2	M2	SKH51	BM2	1100-900	770-840
1.3243 S6-5-2-5	M41	SKH55		1100-900	770-840
				1150-900	770-840
				1100-900	770-840
	~M4	~SKH54	~BM4	1100-900	770-840
~1.3344 ~S6-5-3	M3 class2			1100-900	770-840
1.2581 x30WCrV93	H21	SKD5	BH21	1100-900	770-840
1.2344 x40CrMoV51	H13	SKD61	BH13	1100-900	750-800
1.2367 x40CrMoV53				1100-900	750-800
~1.2343 ~x38CrMoV51	~H11	~SKD6	~BH11		800-850
1.2080 x210Cr12	D3	SKD1	BD3	1050-850	800-850
1.2601 x165CrMoV12		SKD11	BD2	1050-850	800-850
1.2436 x210CrW12	D6			1050-850	800-850
1.2379 x155CrVMo121	D2	SKD11	BD2	1050-850	800-850
1.2380 x220CrVMo134				1100-900	800-850
1.2101 62SiMnCr4				1050-850	710-750
				1050-850	800-850
1.2510 100MnCrW4	O1	SKS21	BO1	1050-850	710-750
1.2210 115CrV3				1050-850	710-750
1.4125 x105CrMo17	440C	SUS440C		1100-900	780-840
1.2312 40CrMnMoS86	P20			1050-850	720-740
1.2738 40CrMnNiMo864				1050-850	720-740
1.2316 x36CrMo17	~420	~SUS420J2		1050-850	800-850
1.2085 x33CrS16				1050-850	
					730-780
					800-850
				1100-900	880-900
				1100-900	875-925
1.6582 34CrNiMo6	4340	SNCM1	816 M40	1050-850	650-700
1.7225 42CrMo4	4140	SCM4	708 H42	1050-850	680-720
1.3505 100Cr6	E52100	SUJ2	S135	1100-850	750-800

ความแข็งเมื่ออบให้อ่อน HB	อุณหภูมิลดแรงเครียด °C	อุณหภูมิขับแข็ง °C	ชุดตัวย
240-300	600-650	1190-1230	น้ำร้อน, ลมเป่า, เทสio (500-550°C)
240-300	600-650	1190-1230	น้ำร้อน, ลมเป่า, เทสio (500-550°C)
300	600-650	1150-1230	น้ำร้อน, ลมเป่า, เทสio (500-550°C)
300	600-650	1150-1200	น้ำร้อน, ลมเป่า, เทสio (500-550°C)
240-300	600-650	1150-1200	น้ำร้อน, ลมเป่า, เทสio (500-550°C)
280	600-650	1100-1180	น้ำร้อน, ลมเป่า, เทสio (500-550°C)
235-245	600-650	1070-1150	น้ำร้อน, ลมเป่า, เทสio (500-550°C)
230-240	600-650	1020-1080	น้ำร้อน, ลมเป่า, เทสio (500-550°C)
225-245	600-650	1030-1080	น้ำร้อน, ลมเป่า, เทสio (500-550°C)
205	600-650	980-990	น้ำร้อน, เทสio (500-550°C), ลมเป่า
245-255	630-670	940-970	น้ำร้อน, ลมเป่า (ลม < Ø 25 มม.), เทสio (220-250, 500-550°C)
245-255	650-700	980-1010 ตั้งชุน 1050-1080 ตั้งพีโน่ 520-570	น้ำร้อน, ลมเป่า, เทสio (220-250, 500-550°C)
245-255	650-700	950-980	น้ำร้อน, ลมเป่า, เทสio (220-250, 500-550°C)
245-255	650-700	1020-1040 ตั้งชุน 1060-1080 ตั้งพีโน่ 520-570	น้ำร้อน, ลมเป่า, เทสio (220-250, 500-550°C)
255-265	650-700	1050-1150	น้ำร้อน, ลมเป่า, เทสio (220-250, 500-550°C)
225-235	640-680	830-860	น้ำร้อน
245-255	640-680	1040-1080	น้ำร้อน, เทสio, ลมเป่า
220-230	640-680	780-820	น้ำร้อน, เทสio (220-250°C) ขนาดเส้นกว่า 20 มม. Ø
215-225	640-680	780-810 810-840	น้ำร้อน ขนาดเส้นกว่า 12 มม. Ø
260-270		1000-1050	น้ำร้อน
225-235	600-650	840-860 860-880	น้ำร้อน ลมเป่า
225-235	600-650	840-860 860-880	น้ำร้อน ลมเป่า
230-240		1000-1050	น้ำร้อน, ลมเป่า
220-230		1000-1050	น้ำร้อน
220	650	1000-1030	น้ำร้อน, ไนโตรเจน
260-270	600-650	1000-1020	น้ำร้อน
275-285	650-700	1070-1150	น้ำร้อน, ลมเป่า, เทสio
30 HRC		560-580	ลมเป่า
230-240	600-650	830-860	น้ำร้อน
210-220	600-650	830-860 820-850	น้ำร้อน น้ำ
200-220	600-650	830-870 800-830	น้ำร้อน น้ำ

ความแข็งหลังขับ HRC	ความแข็งโดยเฉลี่ย เมื่อคืนไฟที่อุณหภูมิ °C			
	500 °C 65	540 °C 66	560 °C 65	600 °C 63
64-66	65	66	65	64
65-69	68	67	68	63
65-67	67	67	66	63
64-66	65	66	65	63
64-66	64	66	65	61
48-52 น้ำมัน 44-48 ลม	50	51	50	46
52-56 น้ำมัน 50-54 ลม	400 °C 54	500 °C 55	600 °C 50	650 °C 40
52-56 น้ำมัน 50-54 ลม	500 °C 54	540 °C 53	560 °C 52	800 °C 50
50-54	480 °C 52	520 °C 53	560 °C 50	600 °C 44
	100 °C 64	200 °C 62	300 °C 59	400 °C 57
63-65	64	62	60	58
64-66	65	63	61	60
63-65	63	61	59	58
62-67	63	61	60	65
59-62	61	60	57	51
61-63	63	61	59	60
63-65	64	62	58	52
64-66	64	62	57	51
58-60	100 °C 60	150 °C 58	300 °C 55	
46-49	ชุบแข็ง และคืนไฟແล็ก ความแข็ง 29-33 HRC (อุณหภูมิคืนไฟ 600-650 °C)			
52-54				
46-49 น้ำมัน 42-48 ลม	ชุบแข็ง และคืนไฟແล็ก ความแข็ง 29-33 HRC			
46-52	ชุบแข็ง และคืนไฟແล็ก ความแข็ง 29-33 HRC			
52-58	100 °C 56	250 °C 51	500 °C 52	620 °C 48
	100 °C 57	200 °C 55	300 °C 52	400 °C 55
60-62	61	60	58	57
40-44	ชุบแข็ง และคืนไฟແล็ก ความแข็ง 38-42 HRC			
46-49	ชุบแข็ง และคืนไฟແล็ก ความแข็ง 28-32 HRC (อุณหภูมิคืนไฟ 540-680 °C)			
53-56				
63-65	100 °C 64	200 °C 61	300 °C 58	400 °C 53



ตารางเปรียบเทียบคุณสมบัติเหล็กแข็งชนิดต่างๆ

BÖHLER	สภาพหกนร้อน	สภาพหกเย็นดี	สภาพความเหนียว	สภาพการเชื่อม	สภาพแรงกดอัด
S600					
S705					
S390 Isomatrix PM					
S590 Isomatrix PM					
S690 Isomatrix PM					
S790 Isomatrix PM					
BÖHLER	สภาพหนาไฟ	สภาพความเหนียว	สภาพหกเย็บดี	สภาพการเชื่อม	
W100					
W302					
W303					
W400 VMR					
BÖHLER	สภาพหกเสียดสี	สภาพความเหนียว	สภาพการกลึง	สภาพการคงรูป	
K100					
K105					
K107					
K110					
K190 Isomatrix PM					
K245					
K340					
K460					
K510					
BÖHLER	สภาพการขัดเจ้า	หกการตัดก่อร่อง	สภาพหกเสียดสี	สภาพการกลึง	สภาพการคงรูป
M202					
M238					
M300					
M314					
M333					
M390 Isomatrix PM					
M461					



บริษัท สยามมิตรเครื่องกล จำกัด (มหาชน)

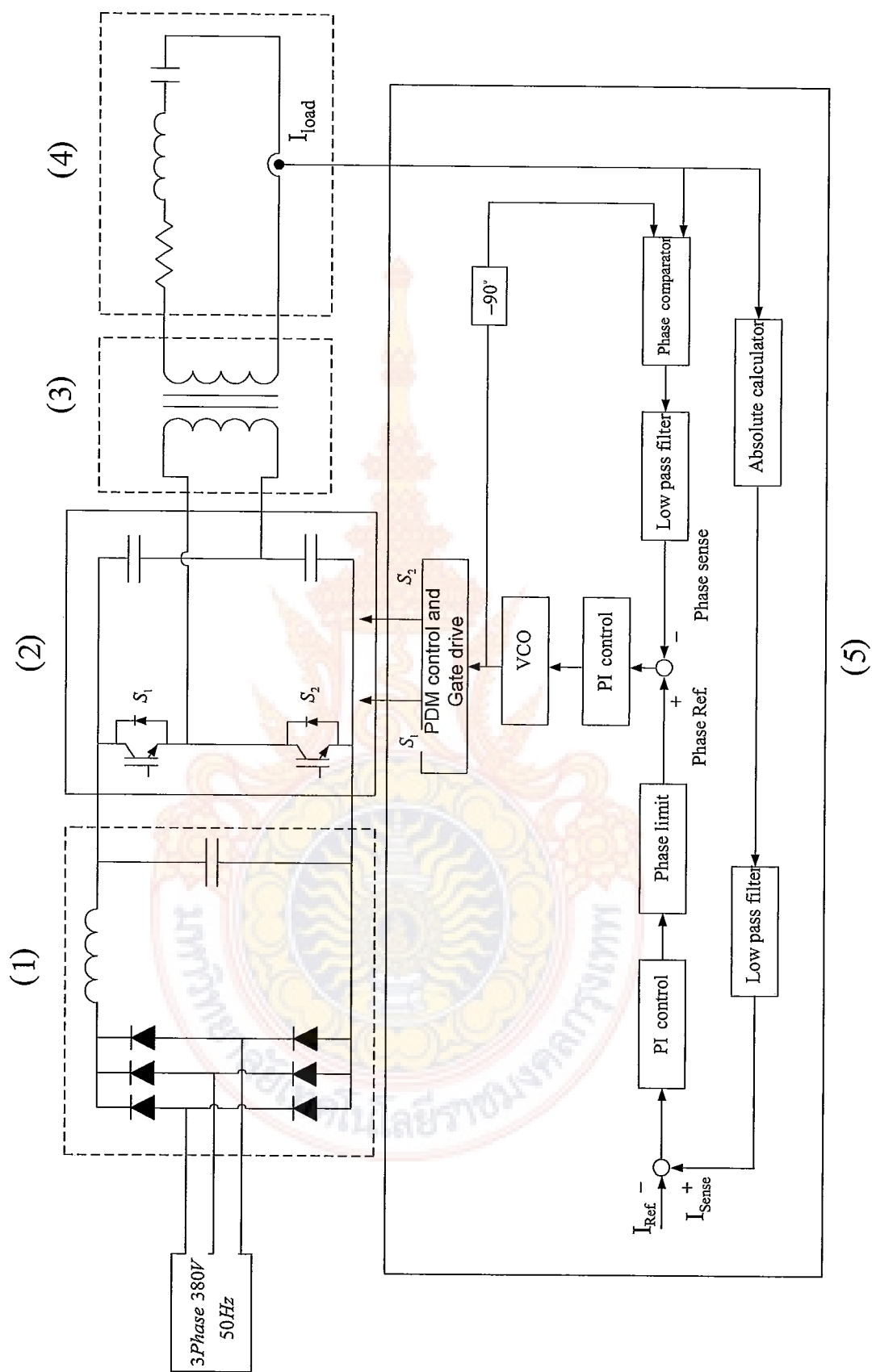
42,48 ถ.พหลโยธิน 3 ช.53 ยานนาวา กรุงเทพฯ 10120

โทร. 0-2295-1000-8, 0-2295-1901-9 แฟกซ์: 0-2295-1009, 0-2683-0943

ภาคผนวก ง

ระบบทั้งหมดของเครื่องเหนี่ยวนำความร้อนเพื่อชุบแข็งผิว





ภาคผนวก จ
กิจกรรมที่เกี่ยวข้องกับการนำผลงานวิจัยไปใช้ประโยชน์





หนังสือรับรองการใช้ประโยชน์จากผลงานวิจัยหรืองานสร้างสรรค์
มหาวิทยาลัยเทคโนโลยีราชมงคลกรุงเทพ

ขอรับรองว่า (หน่วยงานที่ใช้ประโยชน์) มหาวิทยาลัยเทคโนโลยีราชมงคลกรุงเทพ
ได้นำผลงานวิจัยหรืองานสร้างสรรค์จากโครงการเครื่องให้ความร้อนแบบเห็นได้ชัดเจนที่มีความร้อนสำหรับงานชุบ
แม่เหล็กที่มีการควบคุมกำลัง โดยการควบคุมความหนาแน่นของพัลส์
ไปใช้ประโยชน์ในด้าน

- เชิงนโยบาย เชิงสารานะ เชิงผลลัพธ์ ทางอ้อม
 อื่นๆ

ซึ่งผลงานวิจัยดังกล่าวได้ก่อให้เกิดประโยชน์ตามวัตถุประสงค์ของโครงการคือ^{.....}
ได้รับความรู้ และประสบการณ์โดยตรงจากผู้ทรงคุณวุฒิ โครงการฯ ที่มีความร้อนแบบเห็นได้ชัดเจน
สำหรับงานชุบ แม่เหล็กที่มีการควบคุมกำลัง โดยการควบคุมความหนาแน่นของพัลส์ ของสาขาวิชา^{.....}
วิศวกรรมไฟฟ้า มหาวิทยาลัยเทคโนโลยีราชมงคลกรุงเทพ โดยเป็นประโยชน์ต่อนักศึกษาในการทำวิจัย^{.....}
โครงการ^{.....}

* แบบเอกสารหลักฐานที่แสดงการใช้ประโยชน์จากโครงการฯ ท้ายหนังสือรับรองการใช้ประโยชน์ *

ผู้ดำเนินโครงการ

ผู้ใช้ประโยชน์จากโครงการ

ลงชื่อ ๒๖

ลงชื่อ

(นายวินิชัย หทัยรัตน์ศรี)

(นายจรพงษ์ จิตตะโภคร)

ตำแหน่ง อาจารย์ประจำสาขาวิศวกรรมไฟฟ้า

ตำแหน่ง อาจารย์ระดับ 7

* โปรดประทับตราของหน่วยงานตัวย*

รายงานสรุปการเงิน

เลขที่โครงการ 2554A16662006

โครงการส่งเสริมการวิจัยในอุดมศึกษาและพัฒนามหาวิทยาลัยวิจัยแห่งชาติ

สำนักงานคณะกรรมการการอุดมศึกษา

ชื่อมหาวิทยาลัย มหาวิทยาลัยเทคโนโลยีราชมงคลรังสิต

ข้อโครงการ เครื่องให้ความร้อนแบบเหนี่ยวนำความร้อนสำหรับงานชุบแข็งที่มีการควบคุมกำลังโดยการควบคุมความหนาแน่นของพัลล์ส

ชื่อหัวหน้าโครงการวิจัยผู้รับทุน : นายวิเชียร หทัยรัตน์ศิริ

รายงานในช่วงตั้งแต่วันที่ 16 ก.ย. 2554 ถึงวันที่ 31 มี.ค. 2555

ระยะเวลาดำเนินการ-.....ปี6..... เดือน ตั้งแต่วันที่ 16 ก.ย. 2554 ถึงวันที่ 31 มี.ค. 2555

รายจ่าย

หมวด	รายจ่ายสะสม จากรายงาน ครั้งก่อน	ค่าใช้จ่าย งวดปัจจุบัน	รวมรายจ่าย สะสมถึง ปัจจุบัน	งบประมาณ รวมทั้งโครงการ	คงเหลือ (หรือเกิน)
1. ค่าตอบแทน	47,640.00	40,000.00	87,640.00	87,640.00	0.00
2. ค่าจ้าง	0.00	0.00	0.00	0.00	0.00
3. ค่าวัสดุ*	118,208.75	82,725.00	200,933.75	203,242.00	2,308.25
4. ค่าใช้สอย	65,000.00	39,000.00	104,000.00	93,500.00	-10,500.00
5. อื่นๆ (ค่าสาธารณูปโภค)	15,618.00	0.00	15,618.00	15,618.00	0.00
รวม	246,466.75	161,725.00	408,191.75	400,000	-8,191.75

จำนวนเงินที่ได้รับและจำนวนเงินคงเหลือ

จำนวนเงินที่ได้รับ

งวดที่ 1 240,000.00 บาท เมื่อ 27 มกราคม 2554

งวดที่ 2 160,000.00 บาท เมื่อ ยังไม่ได้รับเงิน

พ.ร.บ.

ผู้ลงนาม

ลงนามหัวหน้าโครงการวิจัยผู้รับทุน

ลงนามเจ้าหน้าที่การเงินโครงการ

ประวัติผู้วิจัย

1. ชื่อ และ นามสกุล	นาย วิเชียร หาญรัตน์ศิริ
2. หมายเลขบัตรประชาชน	Mr. Vichian Hatairatsiri
3. ตำแหน่งปัจจุบัน	3-1009-05333-893-18
4. สถานที่ติดต่อ	อาจารย์ 2 ระดับ 7
ที่ทำงานปัจจุบัน	สาขาวิชาวิศวกรรมไฟฟ้า มหาวิทยาลัยเทคโนโลยีราชมงคลกรุงเทพ เลขที่ 2 ถนนนางลินจี แขวงทุ่งมหาเมฆ เขตสาทร กรุงเทพฯ รหัสไปรษณีย์ 10120 โทรศัพท์ 0 2286 9629
ที่อยู่ปัจจุบัน	1/174 ม. 5 หนองแขม ประเวศ กรุงเทพฯ E-mail address: vichen_174@hotmail.com

5. ประวัติการศึกษา

ระดับ การศึกษา	อักษรป่อ บวิญญา	วิชาเอก	สถานศึกษา	ปีที่ สำเร็จ	ประเทศไทย
ปริญญาโท	วศ.ม.	วิศวกรรมไฟฟ้า	มหาวิทยาลัยเทคโนโลยีราชมงคลธัญบุรี	2552	ไทย
ปริญญาตรี	วศ.บ.	วิศวกรรมไฟฟ้า	มหาวิทยาลัยเทคโนโลยีราชมงคลธัญบุรี	2543	ไทย

6. สาขาวิชาการที่มีความชำนาญพิเศษ

Induction Heating

ประวัติผู้ร่วมวิจัย

1. ชื่อ และ นามสกุล

นาย สายชล ชุดเจือจีน

Mr. Saichol Chudjuarjeen

2. หมายเลขอัตรประชาน

3-2501-00418-89-1

3. ตำแหน่งปัจจุบัน

อาจารย์พนักงานมหาวิทยาลัย

สาขาวิชาที่ทำการวิจัย สาขาวิศวกรรมไฟฟ้า

4. สถานที่ติดต่อ

ที่ทำงานปัจจุบัน

สาขาวิศวกรรมไฟฟ้า คณะวิศวกรรมศาสตร์
มหาวิทยาลัยเทคโนโลยีราชมงคลกรุงเทพ
เลขที่ 2 ถนนนangลินจี แขวงทุ่งมหาเมฆ เขตสาทร
กรุงเทพฯ รหัสไปรษณีย์ 10120
โทรศัพท์ 0 2286 9629

ที่อยู่ปัจจุบัน

1/26 พฤษาวิลล์ 17 พุทธบูชา 36
บางนา จอมทอง กรุงเทพฯ

E-mail address c_somchai2@hotmail.com

5. ประวัติการศึกษา

ระดับ การศึกษา	อักษรย่อ ปริญญา	วิชาเอก	สถานศึกษา	ปีที่ สำเร็จ	ประเทศ
ปริญญาโท	วศ.ม.	วิศวกรรมไฟฟ้า	มหาวิทยาลัยเทคโนโลยี พระจอมเกล้าธนบุรี	2547	ไทย
ปริญญาตรี	วศ.บ.	วิศวกรรมไฟฟ้า	มหาวิทยาลัยเทคโนโลยีมหานคร	2543	ไทย

6 สาขาวิชาการที่มีความชำนาญพิเศษ

อิเล็กทรอนิกส์กำลัง Induction Heating

ประวัติผู้ร่วมวิจัย(2)

1. ชื่อ และ นามสกุล

นาย สรรพผล คุ้มทรัพย์

Mr. Santaphon Koomsap

2. หมายเลขบัตรประชาชน

3-1017-01699-82-0

3. ตำแหน่งปัจจุบัน

อาจารย์ระดับ 5

สาขาวิชาที่ทำการวิจัย สาขาวิชาวารกรรมไฟฟ้า

4. สถานที่ติดต่อ

ที่ทำงานปัจจุบัน

สาขาวิชาวารกรรมไฟฟ้า คณะวิชาวารกรรมศาสตร์
มหาวิทยาลัยเทคโนโลยีราชมงคลกรุงเทพ
เลขที่ 2 ถนนนangลีนเจ แขวงทุ่งมหาเมฆ เขตสาทร
กรุงเทพฯ รหัสไปรษณีย์ 10120
โทรศัพท์ 0 2286 9629

ที่อยู่ปัจจุบัน

2-115 ซอยนิมิตใหม่ 6/1 หมู่บ้านพนาสนธ์ 4
แขวงมีนบุรี เขตมีนบุรี กรุงเทพฯ 10510.
E-mail santaphon.k@rmutk.ac.th

5. ประวัติการศึกษา

ระดับ การศึกษา	อักษรย่อ ปริญญา	วิชาเอก	สถานศึกษา	ปีที่ สำเร็จ	ประเทศ
ปริญญาตรี	วศ.บ.	วิชาวารกรรมไฟฟ้า	มหาวิทยาลัยเทคโนโลยีราชมงคล กรุงเทพ	2544	ไทย

6. สาขาวิชาการที่มีความชำนาญพิเศษ

ระบบไฟฟ้ากำลัง พลังงานทดแทน